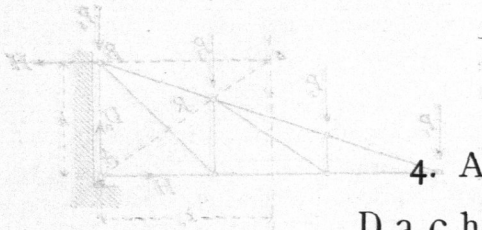


DIE STATIK DER HOCHBAU-CONSTRUCTIONEN.



4. Abschnitt.

Dachstühle.

Der vorliegende Abschnitt wird sich nur mit der Berechnung der Dachbinder beschäftigen. Die Dachbinder bilden den wesentlichsten Theil der Dachstühle; sie sind die Hauptträger der Dach-Constructions und haben die übrigen Theile derselben, wie Pfetten, Sparren etc.²⁶⁾ zu tragen. Sie werden in bestimmten Abständen von einander angeordnet.

201.
Dachbinder.

Was die Querschnittsermittlung der Pfetten, der Sparren, des Windverbandes etc. betrifft, so ist einerseits in den beiden vorhergehenden Abschnitten bereits das Erforderliche vorgeführt worden; andererseits wird im III. Theile dieses »Handbuches« (Band 3, Heft 2, Abschn. 2, E: Dachstuhl-Constructions) nochmals auf diesen Gegenstand zurückgekommen werden.

Bei den meisten Dach-Constructions ist jeder Binder unter dem Einflusse der äußeren Kräfte für sich stabil, so lange die letzteren nur in der Ebene des Binders wirken; eine Ausnahme machen die neueren Kuppeldächer und gewisse Arten von Zeltdächern; bei den beiden letzteren bilden alle Binder zusammen ein im Gleichgewicht befindliches System.

Für die Größe der Belastungen, welche der Berechnung zu Grunde zu legen sind, ist die Stellung der Binder zu einander von großer Wichtigkeit. Die Binder sind entweder einander im Grundriß parallel oder schliessen von Null verschiedene Winkel mit einander ein.

Nach der Art und Weise, wie die Dachbinder unterstützt sind, lassen sich die Dächer unterscheiden als:

1) Balkendächer oder Dächer, deren Binder bei lothrechten Belastungen nur lothrechte Stützendrücke erleiden (Fig. 233);

Fig. 233.

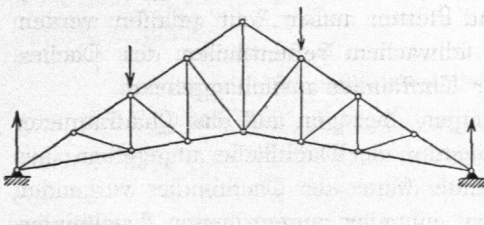
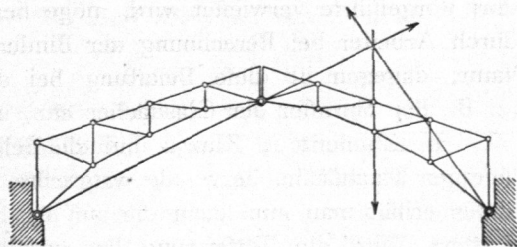


Fig. 234.



²⁶⁾ Es kann hier nicht der Ort sein, die Begriffe »Pfetten, Sparren etc.« zu definiren, eben so wenig als an dieser Stelle auf die Erklärung der verschiedenen Benennungen von Dächern, wie »Sattel-, Walm-, Pult-, Zelt-, Kuppel- etc. Dächer«, eingegangen werden kann. Es sei diesfalls auf Theil III dieses »Handbuches« (Bd. 3, Heft 2, Abschn. 2, D: Dächer und Dachformen) verwiesen.

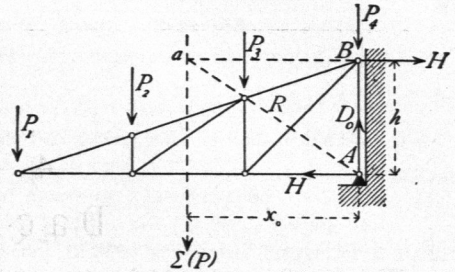
2) Sprengwerksdächer oder Dächer, deren Binder selbst bei nur lothrechten Belastungen schiefe Stützendrücke erhalten (Fig. 234), und

3) Console- oder Kragdächer oder Dächer, auf deren Binder an den Unterstützungsstellen ein Stützendruck und ein Moment wirkt (Fig. 235).

Es sollen im Vorliegenden nur diejenigen Dachbinder behandelt werden, deren Construction eine genaue Berechnung gestattet, also einmal nur solche mit nicht mehr als zwei Auflagern, sodann von diesen nur jene, welche ohne Rücksicht auf den Biegungswiderstand der Verbindungsstellen auch für einseitige und schiefe Belastungen stabil sind. Nicht stabil sind ohne Rücksicht auf den erwähnten Biegungswiderstand die Dächer mit liegendem Dachstuhl und die sog. Hängewerksdächer mit zwei Hängefäulen, falls, wie gewöhnlich, die Diagonale im Mittelfelde fehlt. Verzichtet man bei letzteren auf die Annahme verschieden belasteter Dachflächen, so kann die Berechnung genau so durchgeführt werden, wie in Art. 197 u. 198 (S. 181 u. 182) für den Trapezträger gezeigt ist.

Solche Dachbinder kommen übrigens fast nur in Holz und in solchen Spannweiten vor, für welche eine vielhundertjährige Erfahrung die Querschnittsabmessungen fest gestellt hat. Aufsergewöhnliche Spannweiten mit solchen Dachbindern zu überspannen, ist nicht empfehlenswerth. Eine Berechnung ist wohl unter gewissen Annahmen möglich, die Zuverlässigkeit derselben hängt aber in hohem Mafse davon ab, wie weit die Annahmen zutreffen. Da aber für grofse Dachweiten das Eisen als vorzügliches und durchaus zuverlässiges Material zur Verfügung steht, sollte man dasselbe für solche Dachweiten stets wählen und statisch bestimmte, genau berechenbare Constructions anordnen. Es ist demnach kein Bedürfniss vorhanden, die Berechnung der oben als nicht stabil bezeichneten Dachbinder hier vorzuführen.

Fig. 235.



1. Kapitel.

Belastungen und Auflagerdrücke.

a) Belastungen.

202.
Knotenpunkts-
belastungen.

Die Belastungen, welche auf die Dächer wirken und aus dem Eigengewichte, der Belastung durch Schneedruck und durch Winddruck bestehen, sind in Art. 23, 26, 27 u. 28 (S. 18 bis 22) angegeben und ausführlich besprochen. Indem auf das dort Vorgeführte verwiesen wird, möge bemerkt werden, dass die zufällige Belastung durch Arbeiter bei Berechnung der Binder und Pfetten außer Acht gelassen werden kann; dagegen ist diese Belastung bei den schwachen Nebentheilen des Daches (z. B. den Sprossen der Glasdächer etc.) unter Umständen ausschlaggebend.

In Abschnitt 1, Kap. 2 sind die Belastungen, bezogen auf das Quadratmeter schräger Dachfläche, bezw. die wagrechte Projection der Dachfläche angegeben; aus diesen erhält man nun leicht die auf das laufende Meter der Dachbinder wirkenden Lasten. Wird die Entfernung der parallel zu einander angeordneten Dachbinder gleich b gesetzt, so ergibt sich das Eigengewicht und die Schneelast für das laufende Meter Stützweite der Binder, wenn noch q' das Eigengewicht für 1^{qm} Grundfläche einchl. Bindergewicht bezeichnet, zu

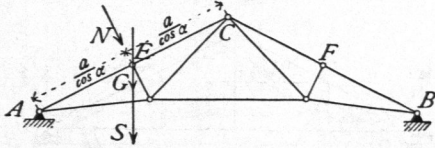
$$g = b q' \text{ und } s = 75 b, \dots \dots \dots 281.$$

ferner der Winddruck für das laufende Meter schräger Dachlinie zu

$$n = b v \dots \dots \dots 282.$$

Sind die Dachbinder einander nicht parallel, so ist die Belaftung für das laufende Meter Binder veränderlich, entsprechend der veränderlichen Dachfläche, welche auf die einzelnen Bindertheile kommt.

Fig. 236.



Die auf die einzelnen Knotenpunkte entfallenden Lasten werden nun erhalten, indem man die Belaftung für das laufende Meter Stützweite, bezw. schräger Dachlinie mit derjenigen Länge multiplicirt, welche auf einen Knotenpunkt entfällt. Für den Knotenpunkt E (Fig. 236) wird demnach

$$G = a b q', \quad S = 75 a b \text{ und } N = \frac{a}{\cos \alpha} b v \dots \dots \dots 283.$$

Man könnte die Werthe für G, S und N auch nach der Theorie der continuirlichen Träger bestimmen, indem man A E C als continuirlichen Träger auf 3 Stützen auffasst; doch dürfte die angegebene einfachere Methode sich mehr empfehlen, da die Annahmen, welche der Berechnung der continuirlichen Träger zu Grunde gelegt werden, hier doch nicht genau erfüllt sind und die verwickeltere Rechnung keine entsprechend genaueren Werthe giebt.

Sämmtliche Lasten werden in den Knotenpunkten der Binder wirkend angenommen. Die Eigengewichte wirken zum allergrößten Theile in den Knotenpunkten derjenigen Gurtung, die in den Dachflächen liegt; nur ein ganz geringer Bruchtheil wirkt in den Knotenpunkten der anderen Gurtung. Meistens kann man annehmen, daß die Eigenlasten ganz in den ersteren Knotenpunkten angreifen.

Die Windbelaftung kann nur einseitig wirken; denn da die Windrichtung einen Winkel $\beta = 10$ Grad mit der wagrechten Ebene einschließt, so kann der Wind beide Dachflächen nur dann treffen, wenn diese einen kleineren Winkel mit der Wagrechten bilden, als 10 Grad. Für so flache Dächer ist aber der Winddruck so gering, daß er ungefährlich ist. Der Winddruck ist also stets einseitig zu rechnen.

Der Schnee endlich kann das ganze Dach oder einen Theil desselben belasten. Wenn nun auch für manche Stäbe unter Umständen eine Schneebehaftung über einen bestimmten Bruchtheil des Daches die ungünstigste Beanspruchung ergeben sollte, so werden wir doch diese der Berechnung nicht zu Grunde legen, weil dieselbe nur in den aller seltensten Fällen einmal vorkommen kann; vielmehr werden wir nur volle Behaftung des Daches und Behaftung der einen Dachhälfte durch Schnee in das Auge fassen. Wir werden später zeigen, daß die zweite Behaftungsart zu Ergebnissen führt, aus denen die Spannungen für volle Schneebehaftung ohne Schwierigkeit abgelesen werden können.

b) Auflagerdrücke bei Balkendächern.

Die durch lothrechte Belaftungen (Eigengewicht und Schneedruck) erzeugten Stützdrücke sind, da die Dachbinder genau wie Träger auf zwei Stützen wirken, eben so zu ermitteln, wie bei den »Trägern« (Kap. 2 des vorhergehenden Abschnittes) gezeigt worden ist.

Sind die Auflagerdrücke zu ermitteln, welche durch die schiefen Winddruckbelaftungen erzeugt werden, so haben wir zwei Fälle zu unterscheiden: entweder sind alle Winddrücke einander parallel, welcher Fall eintritt, wenn die vom Winde

203.
Belastungs-
annahmen.

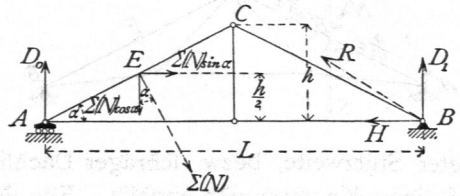
204.
Lothrechte
Belastungen.

205.
Schiefe
Belastungen.

getroffene Dachfläche eine Ebene ist, oder die Winddrücke sind nicht parallel, welcher Fall eintritt, wenn die vom Winde getroffene Dachfläche sich aus mehreren Ebenen zusammensetzt.

Für beide Fälle ist zunächst klar, daß der Dachbinder nicht einfach frei auf die Stützpunkte gelagert werden darf. Denn ist $\Sigma(N)$ die Mittelkraft aller Winddrücke (Fig. 237), so hat $\Sigma(N)$ eine wagrechte Seitenkraft $\Sigma(N) \sin \alpha$. Gleichgewicht ist also nur möglich, wenn Seitens des einen der beiden Auflager eine wagrechte Kraft $H = \Sigma(N) \sin \alpha$ auf den Binder wirkt; es muß also das Dach in A oder B unverschieblich mit dem Auflager verbunden werden.

Fig. 237.



Wollte man ein eisernes Dach in beiden Punkten A und B fest mit dem Auflager verbinden, so würde dasselbe bei Aenderung der Temperatur nicht im Stande sein, sich auszudehnen, bzw. zusammenzuziehen; es würden demnach durch die Temperaturveränderungen wesentliche Spannungen im Dache entstehen, bzw. es würden die stützenden Wände gelockert werden. Man construirt deshalb bei eisernen Dachstühlen das eine Auflager so, daß dasselbe eine freie Ausdehnung und Zusammenziehung gestattet; das andere stellt eine feste Verbindung zwischen Träger und stützender Wand her. Wir wollen in der Folge stets ein festes und ein bewegliches Auflager, und zwar das Auflager bei A als das bewegliche, dasjenige bei B als das feste annehmen. Nehmen wir ferner an, daß das Auflager bei A eine Bewegung ohne Reibung gestattet, so kann der Stützendruck bei A nur lothrecht wirken. Diese Annahme ist nicht genau richtig, aber für die Praxis ausreichend. Der Auflagerdruck bei B dagegen kann beliebige Richtung annehmen.

Es ergeben sich hier verschiedene Auflagerdrücke, je nachdem die Windbelastung auf derjenigen Dachseite stattfindet, an welcher das bewegliche Auflager A ist, oder auf derjenigen, an welcher das feste Auflager B liegt.

206.
Parallele
Winddrücke.

1) Die Winddrücke sind parallel. a) Diejenige Dachhälfte ist belastet, an welcher das bewegliche Auflager liegt (Fig. 237). Die Mittelkraft $\Sigma(N)$ sämtlicher Winddrücke greife in der Mitte von AC , etwa in E , an und sei gleich der Summe aller Einzeldrücke. $\Sigma(N)$ zerlegt sich im Punkte E in eine wagrechte und eine lothrechte Seitenkraft $\Sigma(N) \sin \alpha$ und $\Sigma(N) \cos \alpha$; in A wirkt der lothrechte Stützendruck D_0 , in B der schiefe Auflagerdruck R , welcher gleichfalls in eine wagrechte Seitenkraft H und in eine lothrechte Seitenkraft D_1 zerlegt wird. Die drei Unbekannten D_0 , D_1 und H erhält man durch die drei Gleichgewichtsbedingungen. Es ist

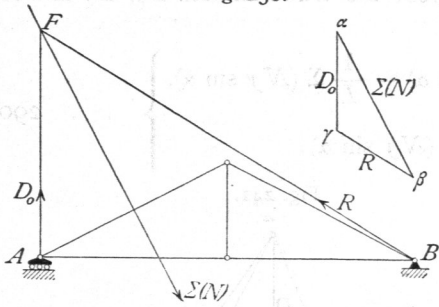
$$0 = \Sigma(N) \sin \alpha - H, \text{ woraus } H = \Sigma(N) \sin \alpha; \dots \dots \dots 284.$$

$$D_0 L + \Sigma(N) \sin \alpha \frac{h}{2} - \Sigma(N) \cos \alpha \frac{3}{4} L = 0, \text{ woraus, da } \operatorname{tg} \alpha = \frac{2h}{L},$$

$$D_0 = \Sigma(N) \frac{\cos \alpha}{4} (3 - \operatorname{tg}^2 \alpha); \dots \dots \dots 285.$$

$$D_1 L - \Sigma(N) \sin \alpha \frac{h}{2} - \Sigma(N) \cos \alpha \frac{L}{4} = 0, \text{ woraus } D_1 = \frac{\Sigma(N)}{4 \cos \alpha}. \dots \dots \dots 286.$$

Fig. 238.



Auf graphischem Wege geschieht die Ermittlung der Auflagerdrücke in der durch Fig. 238 veranschaulichten Weise.

Die drei auf das Dach wirkenden Kräfte \$D_0\$, \$R\$ und \$\Sigma(N)\$ halten dasselbe im Gleichgewicht, schneiden sich also in einem Punkte: die Kraft \$R\$ geht sonach durch den Schnittpunkt \$F\$ der Kräfte \$D_0\$ und \$\Sigma(N)\$. \$R\$ geht auch durch \$B\$; also ist \$BF\$ die Richtung der Kraft \$R\$. Das Kräfte-dreieck für diese drei Kräfte ergibt, wenn \$\alpha\beta = \Sigma(N)\$ ist, \$R = \beta\gamma\$ und \$D_0 = \gamma\alpha\$.

β) Diejenige Dachhälfte ist belastet, an welcher das feste Auflager liegt (Fig. 239). Die Mittelkraft \$\Sigma(N)\$ greift in der Mitte der rechtsseitigen Dachfläche, in \$E'\$, an und zerlegt sich in eine lothrechte und eine wagrechte Seitenkraft. Wir erhalten durch Aufstellung der Gleichgewichtsbedingungen:

$$0 = H' - \Sigma(N) \sin \alpha, \text{ woraus } H' = \Sigma(N) \sin \alpha; \dots \dots \dots 287.$$

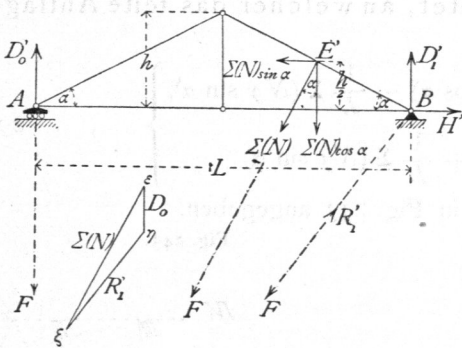
$$0 = D'_0 L - \Sigma(N) \sin \alpha \frac{h}{2} - \Sigma(N) \cos \alpha \frac{L}{4}, \text{ woraus } D'_0 = \frac{\Sigma(N)}{4 \cos \alpha}; \dots \dots \dots 288.$$

$$0 = D'_1 L + \Sigma(N) \sin \alpha \frac{h}{2} - \Sigma(N) \cos \alpha \frac{3}{4} L,$$

woraus

$$D'_1 = \frac{\Sigma(N) \cos \alpha}{4} (3 - \text{tg}^2 \alpha) \dots \dots \dots 289.$$

Fig. 239.



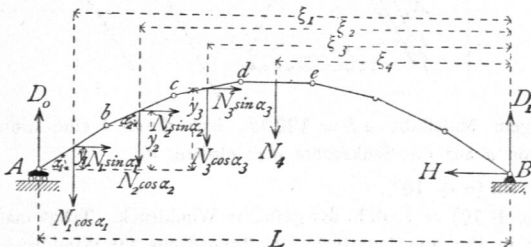
Man sieht, es ist \$D_0 = D'_0\$, \$D_1 = D'_0\$ und \$H = H'\$; nur ist bei \$H'\$ der Sinn demjenigen von \$H\$ entgegengesetzt.

Durch Construction lassen sich die Auflagerdrücke im vorliegenden Falle, wie in Fig. 239 gezeigt, ermitteln.

Die drei Kräfte \$D'_0\$, \$\Sigma(N)\$ und die Mittelkraft \$R'_1\$ von \$H'\$ und \$D'_1\$ find im Gleichgewichte, schneiden sich daher in einem Punkte, und zwar in demjenigen Punkte, in welchem die Richtungen von \$D'_0\$ und \$\Sigma(N)\$ sich schneiden, also in \$F\$. Die Verbindungslinie der beiden Punkte \$B\$ und \$F\$ ergibt demnach die Richtung der Kraft \$R'_1\$. Ist \$\Sigma(N) = \epsilon\xi\$, so wird \$\xi\eta = R'_1\$ und \$\eta\epsilon = D'_0\$.

2) Die Winddrücke haben nicht parallele Richtungen. α) Diejenige Dachhälfte ist belastet, an welcher das bewegliche Auflager liegt. Bei gebrochener Dachfläche werden die Winddrücke, welche auf die einzelnen Flächen wirken, nach den Angaben in Art. 28 (S. 22) ermittelt. Bei einer cylindrischen

Fig. 240.



Dachfläche genügt es, einzelne Dachtheile zusammenzufassen und für jeden dieser Theile den Winddruck unter Zugrundelegung eines mittleren Neigungswinkels \$\alpha\$ zu bestimmen. Man erhält etwa \$N_1\$ für die Strecke \$Ab\$ (Fig. 240), \$N_2\$ für \$bc\$ etc. Die Zerlegung jeden Winddruckes in eine wagrechte und eine lothrechte Seitenkraft und die

207.
Nicht
parallele
Winddrücke.

Aufstellung der Gleichgewichtsbedingungen ergibt die Unbekannten D_0 , D_1 und H . Es wird

$$\left. \begin{aligned} H &= \Sigma (N \sin \alpha), \quad D_0 = \frac{1}{L} \Sigma (N \xi \cos \alpha) - \frac{1}{L} \Sigma (N y \sin \alpha), \\ D_1 &= \frac{1}{L} \Sigma [N (L - \xi) \cos \alpha] + \frac{1}{L} \Sigma (N y \sin \alpha). \end{aligned} \right\} \dots 290.$$

Die graphische Ermittlung der Auflagerdrücke zeigt Fig. 241.

Die einzelnen Winddrücke ($N_1, N_2, N_3 \dots$) werden mittels eines Kraftpolygons $\alpha \beta \gamma \delta \varepsilon$ zu einer Mittelkraft vereinigt; hierauf wird für einen beliebigen Pol O das Seilpolygon $O I II III IV$ construirt. Alsdann geht die Mittelkraft durch den Schnittpunkt a der äußersten Seilpolygonseiten und ist parallel zu $\alpha \varepsilon$. Jetzt ersetzt $\Sigma(N)$ alle Winddrücke, und es wirken nur noch die drei Kräfte D_0 , $\Sigma(N)$ und R , so daß die graphische Ermittlung von D_0 und R in der foeben gezeigten Weise erfolgen kann. Es ergibt sich $\varepsilon \xi = R$ und $\xi \alpha = D_0$.

Wenn die Dachfläche aus einzelnen ebenen Dach- und Laternenflächen sich zusammensetzt, so ist das Verfahren genau so, wie eben angegeben.

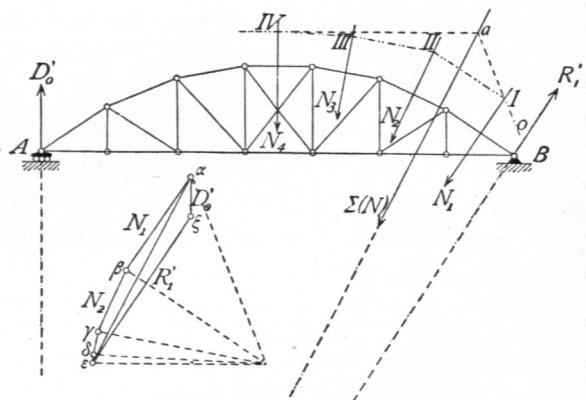
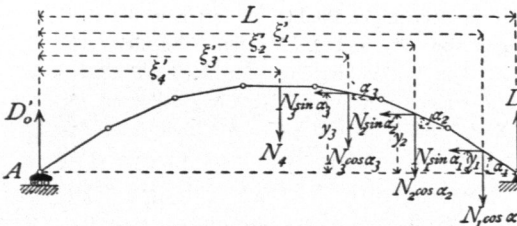
β) Diejenige Dachhälfte ist belastet, an welcher das feste Auflager liegt (Fig. 242). Die Berechnung ergibt

$$\left. \begin{aligned} H' &= \Sigma (N \sin \alpha), \quad D'_1 = \frac{1}{L} \Sigma (N \xi' \cos \alpha) - \frac{1}{L} \Sigma (N y \sin \alpha), \\ D'_0 &= \frac{1}{L} \Sigma [N (L - \xi') \cos \alpha] + \frac{1}{L} \Sigma (N y \sin \alpha). \end{aligned} \right\} \dots 291.$$

Die Construction von D'_0 und R'_1 ist in Fig. 243 angegeben.

Fig. 242.

Fig. 243.



Die Ermittlung der Werthe für N_1, N_2, N_3 kann bequem graphisch vorgenommen werden. Nach Art. 28 (S. 22) ist der Winddruck $v = 120 \sin (\alpha + 10^\circ)$ für 1 qm. Diefes v ist nach Fig. 244 leicht für irgend einen Winkel α zu construiren.

Man mache in der Dachfläche nach beliebigem Maßstabe $ab = 120 \text{ kg}$, lege durch b eine Linie parallel zur Windrichtung und fälle auf dieselbe von a aus die Senkrechte ac ; alsdann ist

$$\overline{ac} = \overline{ab} \sin (\alpha + 10^\circ).$$

Da $\overline{ab} = 120 \text{ kg}$ ist, so ist $\overline{ac} = 120 \sin (\alpha + 10^\circ) = v$, d. h. der gefuchte Winddruck. Trägt man $a c$ fenkrecht zur Dachfläche ab, so erhält man die in Fig. 244 schraffierte Belastungsfläche für Winddruck.

Fig. 244.

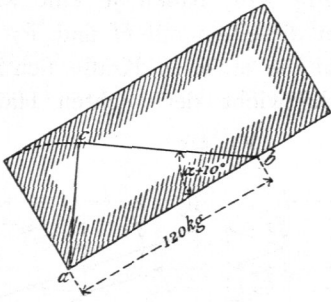


Fig. 245.

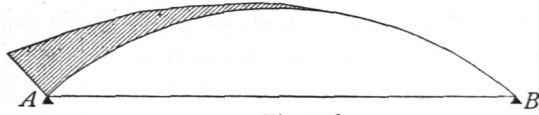
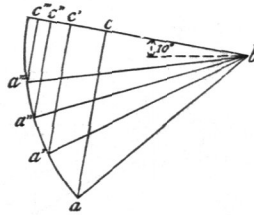


Fig. 246.



Bildet die Dachfläche eine Cylinderfläche, so wähle man eine genügend große Anzahl von Punkten aus, für welche man die gezeigte Construction vornimmt. Man erhält die in Fig. 245 gezeichnete Belastungsfläche und kann daraus leicht die Größe des Winddruckes ermitteln, welcher auf die einzelnen Stützpunkte (Knotenpunkte der Construction) entfällt.

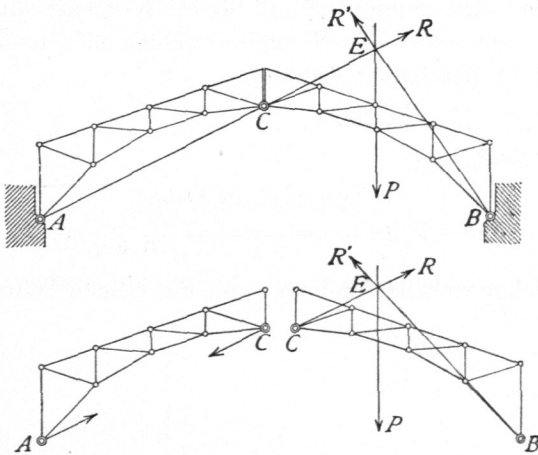
Bequemer macht man die Construction der Winddrücke in einer besonderen Zeichnung (Fig. 246) und erhält a, c , bzw. $a', c', a'', c'' \dots$

c) Auflagerdrücke bei Sprengwerksdächern.

Von den Sprengwerksdächern sollen hier nur diejenigen behandelt werden, deren Binder mit drei Gelenken construiert sind (Fig. 247). Zwei Gelenke befinden sich an den Auflagerpunkten A und B , ein drittes C gewöhnlich in der Bindermitte. Betrachtet man zunächst den Träger selbst als gewichtslos, so ergibt sich folgendes allgemeine Gesetz: Jede Belastung der einen Hälfte, etwa CB , erzeugt im Auflagerpunkt der nicht belasteten Hälfte eine Kraft, deren Richtung durch den betreffenden Auflagerpunkt, hier A , und das Mittelgelenk C bestimmt ist.

208.
Allgemeines.

Fig. 247.



Eine Last P auf der Hälfte BC erzeugt also in A einen Stützendruck R mit der Richtung AC , und da auf das System nur drei Kräfte, nämlich die Last P und die Drücke der Auflager A und B , wirken, so müssen sich dieselben in einem Punkte schneiden.

Daraus folgt, dass der Stützendruck R' von B aus durch den Schnittpunkt E der Richtungen AC und P geht.

Der Beweis obigen Satzes ergibt sich folgendermaßen. Auf die rechte Hälfte BC wirken P, R und R' , auf die linke Hälfte eine Kraft in A , eine zweite in C . Beide sind vor der Hand unbekannt; doch wissen wir, dass nach dem Gesetze von Wirkung und Gegenwirkung die in C vom Theile rechts auf den Theil links übertragene Kraft genau so groß ist, wie die Kraft, welche in C vom linken Theile auf den rechten Theil ausgeübt wird, d. h. wie R ; nur ist der Sinn beider entgegengesetzt. Die beiden auf die unbelastete linke Hälfte wirkenden Kräfte halten diesen Theil im Gleichgewicht; dies ist aber nur möglich, wenn beide in dieselbe Richtung fallen, d. h. in diejenige, welche durch die beiden Angriffspunkte A und C gegeben ist, entgegengesetzten Sinn und gleiche Größe haben; der Stützendruck von A geht also durch C . Damit ist obiger Satz allgemein bewiesen.

209.
Lothrechte
Belastungen.

Es kommen zunächst die lothrechten Belastungen (Eigengewicht und Schneeedruck) in Frage. Die Auflagerdrücke in A und B (Fig. 248) haben je eine wagrechte und eine lothrechte Seitenkraft. Wir bezeichnen dieselben mit H und V , H_1 und V_1 . Sind diese 4 Werthe bekannt, so ist alles auf die äusseren Kräfte sich Beziehende bekannt. Wir betrachten zuerst das Gleichgewicht der rechten Hälfte

Fig. 248.

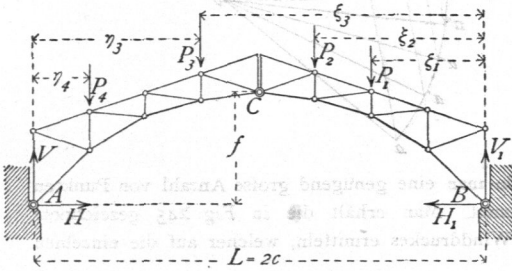
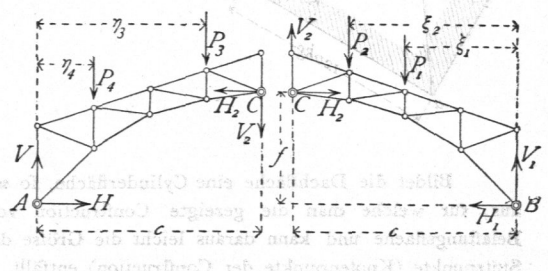


Fig. 249.



(Fig. 249). In C wirkt auf dieselbe eine Kraft, deren Seitenkräfte H_2 und V_2 sein mögen. Alsdann ist die Summe der statischen Momente für B als Drehpunkt gleich Null, mithin

$$H_2 f + V_2 c - \sum (P \xi) = 0.$$

Betrachtet man nun die linke Hälfte (Fig. 249), so wirkt auf diese in C eine genau so grosse Kraft, wie in C auf die rechte Hälfte wirkt; nur ist der Sinn entgegengesetzt. Es werden demnach die Seitenkräfte derselben wiederum H_2 und V_2 , aber mit entgegengesetztem Sinne sein. Die Summe der statischen Momente für A als Drehpunkt ist gleich Null; mithin, wenn stets die Summen, welche sich auf die linke Hälfte beziehen, mit dem Zeiger 1 bezeichnet werden,

$$H_2 f - V_2 c - \sum_1 (P \eta) = 0.$$

Aus diesen beiden Gleichungen erhält man

$$H_2 = \frac{\sum (P \xi) + \sum_1 (P \eta)}{2f} \quad \text{und} \quad V_2 = \frac{\sum (P \xi) - \sum_1 (P \eta)}{L} \dots 292.$$

Die Anwendung der übrigen Gleichgewichtsbedingungen auf die beiden Hälften ergibt nun leicht

$$\left. \begin{aligned} H = H_2 = H_1 &= \frac{\sum (P \xi) + \sum_1 (P \eta)}{2f}, \\ V = V_2 + \sum_1 (P) &= \frac{\sum (P \xi) + \sum_1 (P \eta)}{L}, \\ V_1 = \sum (P) - V_2 &= \frac{\sum [P(L - \xi)] + \sum_1 [P(L - \eta)]}{L}. \end{aligned} \right\} \dots 293.$$

Die lothrechten Seitenkräfte der Lagerdrücke sind demnach genau so gross, wie bei gleicher Belastung an einem Balkenträger von der Spannweite L . Jetzt sind auch die Kräfte R und R_1 , so wie deren Winkel α und α_1 mit der Wagrechten gefunden. Es werden

$$R = \sqrt{H^2 + V^2} \quad \text{und} \quad \text{tg } \alpha = \frac{V}{H}; \quad R_1 = \sqrt{H_1^2 + V_1^2} \quad \text{und} \quad \text{tg } \alpha_1 = \frac{V_1}{H_1} \quad 294.$$

Beispiel. 1) Die beiden Dachhälften seien gleich belastet, je mit g auf die Längeneinheit der wagrechten Projection (Fig. 250). Dann ist

$$\Sigma(P) = \Sigma_1(P) = g c; \quad \Sigma(P \xi) = \Sigma_1(P \eta) = \frac{g c^2}{2};$$

$$H = \frac{g c^2}{2f}; \quad V_2 = 0; \quad V = V_2 + \Sigma_1(P) = g c; \quad V_1 = \Sigma(P) - V_2 = g c \dots 295.$$

Fig. 250.

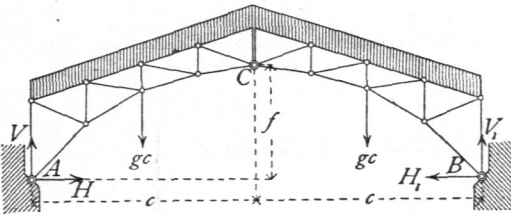
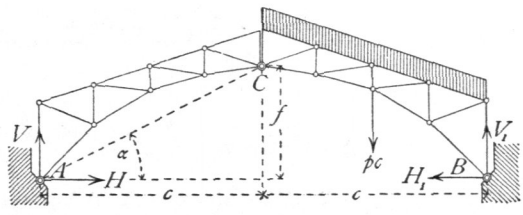


Fig. 251.



2) Die eine (rechte) Hälfte sei mit p für die Längeneinheit der wagrechten Projection belastet, die andere (linke) Hälfte sei unbelastet (Fig. 251). Alsdann ist

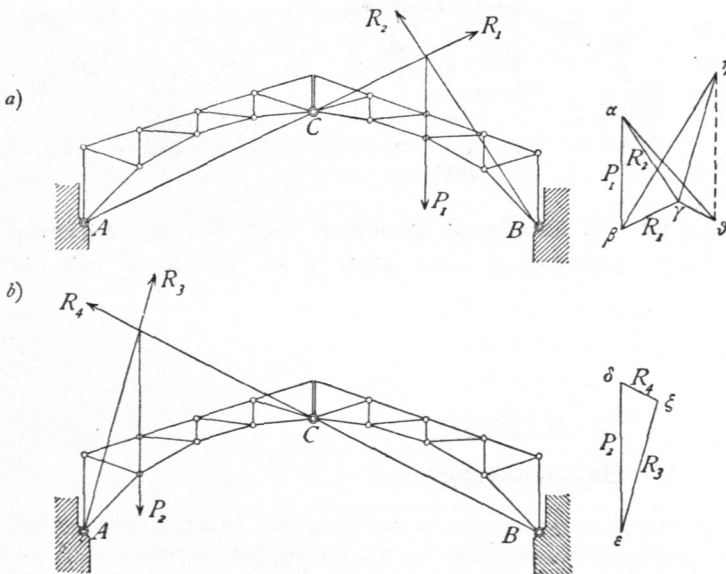
$$\Sigma(P) = p c; \quad \Sigma_1(P) = 0; \quad \Sigma(P \xi) = \frac{p c^2}{2}; \quad \Sigma_1(P \eta) = 0;$$

$$H_2 = H = H_1 = \frac{p c^2}{4f}; \quad V_2 = \frac{p c^2}{2 \cdot 2c} = \frac{p c}{4}; \quad V = \frac{p c}{4}; \quad V_1 = \frac{3 p c}{4} \dots 296$$

Hier ist nach Gleichung 294: $\text{tg } \alpha = \frac{p c \cdot 4f}{4 p c^2} = \frac{f}{c}$, d. h. die Richtung von R geht durch A und C , wie oben bereits auf anderem Wege bewiesen ist.

Die graphische Ermittlung der in Rede stehenden Auflagerdrücke ist in Fig. 252 dargestellt.

Fig. 252.



Es empfiehlt sich für beliebige Belastung zuerst nur die eine Hälfte belastet anzunehmen und für diese Belastung die Auflagerdrücke zu ermitteln, darauf die Auflagerkräfte für die Belastung nur der anderen Hälfte aufzufuchen. Die Zusammensetzung der für die einzelnen Belastungen gefundenen Kräfte ergibt alsdann die wirklichen Auflagerdrücke.

Es sei zunächst nur die rechte Hälfte belastet und die Mittelkraft dieser Lasten gleich P_1 ; alsdann haben R_1 und R_2 die in Fig. 252 a gezeichneten Richtungen, und es ergibt sich die Größe beider durch das Kraftpolygon zu $\beta \gamma = R_1$ und $\gamma \alpha = R_2$. In gleicher

Weise erhält man für Belastung der linken Hälfte mit P_2 : $\varepsilon \xi = R_3$ und $\xi \delta = R_4$.

Wenn nun beide Hälften mit P_1 , bzw. P_2 belastet sind, so wirken in A : R_1 und R_3 , in B : R_2 und R_4 . Die Größe und Richtung der gesammten Auflagerdrücke R und R' erhält man durch Construction der Kraftpolygone aus den bezüglichen Kräften. Ist $\gamma \eta = R_3$, so wird $\beta \eta = R$; ist $\delta \gamma \# \xi \delta = R$, so wird $\delta \alpha = R'$.

Als Controle diene, daß die wagrechten Projectionen von R und R' gleich sein müßten, da ja H im ganzen Sprengwerksträger constant ist.

210.
Schiefe
Belastungen.

Uebergehen wir nunmehr zu den vom Winddruck (durch schiefe Belastung) erzeugten Stützendrücken, so sei $\Sigma(N)$ die Mittelkraft aller Winddrücke (Fig. 253). Wir zerlegen diese Kraft in $\Sigma(N) \cos \alpha$ und $\Sigma(N) \sin \alpha$ und erhalten, wie im vorhergehenden Artikel, die Gleichgewichtsbedingungen:

$$H_2 f + V_2 c = \Sigma(N) y \sin \alpha + \Sigma(N) \xi \cos \alpha \quad \text{und} \quad H_2 f - V_2 c = 0, \quad \text{woraus}$$

$$H_2 = \frac{\Sigma(N) y \sin \alpha + \Sigma(N) \xi \cos \alpha}{2 f} \quad \text{und} \quad V_2 = \frac{\Sigma(N) y \sin \alpha + \Sigma(N) \xi \cos \alpha}{2 c} \quad 297.$$

Es ist ferner

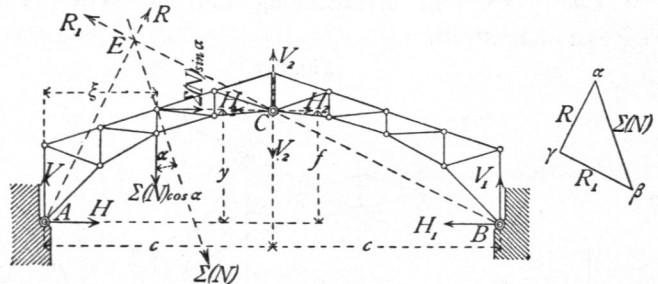
$$\left. \begin{aligned} H = H_2 - \Sigma(N) \sin \alpha &= \frac{\Sigma(N) y \sin \alpha + \Sigma(N) \xi \cos \alpha}{2 f} - \Sigma(N) \sin \alpha, \\ H_1 = H_2 &= \frac{\Sigma(N) y \sin \alpha + \Sigma(N) \xi \cos \alpha}{2 f}, \end{aligned} \right\} \quad 298.$$

$$\left. \begin{aligned} V = \Sigma(N) \cos \alpha - V_2 &= \Sigma(N) \cos \alpha - \frac{\Sigma(N) y \sin \alpha + \Sigma(N) \xi \cos \alpha}{2 c}, \\ V_1 = V_2 &= \frac{\Sigma(N) y \sin \alpha + \Sigma(N) \xi \cos \alpha}{2 c}. \end{aligned} \right\} \quad 299$$

Wenn die schiefen Belastungen einander nicht parallel sind, so bleibt das Verfahren das gleiche; nur sind statt $\Sigma(N) y \sin \alpha$ und $\Sigma(N) \xi \cos \alpha$ bzw. $\Sigma(N) y \sin \alpha$ und $\Sigma(N) \xi \cos \alpha$ in die Rechnung einzuführen.

Fig. 253.

Für die graphische Ermittlung der fraglichen Auflagerdrücke ist die in Fig. 253 angegebene Construction ohne Weiteres verständlich, und es ergibt sich $\beta \gamma = R_1$, $\gamma \alpha = R$.



Bei nicht parallelen Winddrücken ist für die graphische Behandlung zunächst die Mittelkraft derselben nach Größe, Richtung und Lage in bekannter Weise aufzufuchen und alsdann zu verfahren, wie in Fig. 253 dargestellt.

2. Kapitel.

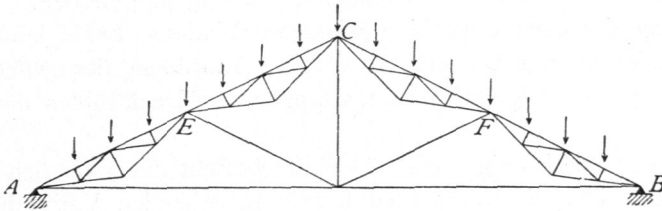
Balkendächer.

211.
Allgemeines.

Indem wir nunmehr zur Ermittlung der Spannungen in den wichtigsten Dachstuhl-Constructionen übergehen, werden wir bei den diesfälligen Untersuchungen für jede Gattung von Dachbindern die verschiedenen Belastungsfälle gefondert betrachten. Wir bestimmen demnach die Spannungen, welche erzeugt werden: 1) durch das Eigengewicht, 2) durch einseitige, bzw. volle Schneebelastung, 3) durch Windbelastung, sowohl von der Seite, an der das bewegliche, wie von der Seite, an welcher das feste Auflager liegt. Indem dann diese Spannungen in einer Tabelle zusammengestellt werden, ist es leicht, für jeden Stab die ungünstigste Belastungsart und die ungünstigsten Spannungen zu bestimmen, ferner für die Querschnittsbestimmung (siehe Art. 77, S. 51) die Werthe P_0 , P_1 und P_2 zu ermitteln. Da die Dachbinder

meist Gitterträger sind, so werden die im Kapitel »Träger« gezeigten Verfahren für die Spannungsermittlung hier genau, wie dort, Anwendung finden. Auch hier machen wir die Annahmen: 1) daß die Stäbe in den Knotenpunkten durch Gelenke mit einander verbunden sind, 2) daß die Lasten nur in den Knotenpunkten der Construction wirken. Die berechneten Spannungen werden desto mehr mit den wirklichen übereinstimmen, je mehr die Construction diesen Annahmen entspricht. Die zweite Annahme (Belastung nur in den Knotenpunkten) ist häufig nicht erfüllt; in diesem Falle kann man dennoch die in den folgenden Artikeln zu zeigenden Methoden anwenden, indem man annimmt, daß die zwischen je zwei Knotenpunkten befindlichen Lasten durch besondere Träger auf die Knotenpunkte übertragen werden. Die Berechnung dieser Träger hat, wie im Kapitel »Träger« gezeigt ist, zu erfolgen. Die Belastung, welche im Hauptsystem auf die Knotenpunkte übertragen wird, ist dann der Größe und Richtung nach gleich den auf die Zwischenträger wirkenden Auflagerdrücken. Der Sinn ist entgegengesetzt. In Fig. 254 z. B. sind zwischen je zwei Knotenpunkten des Hauptsystems Pfetten, demnach Lastpunkte. Das Stück CE

Fig. 254.



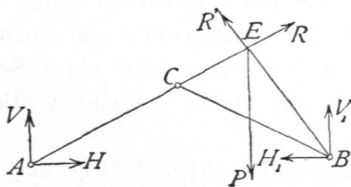
kann wie ein besonderer, in C und E frei aufliegender Träger aufgefaßt und berechnet werden; eben so verhält es sich mit dem Stück AE . Im Punkte E des Hauptsystems wirken dann der linke Auflagerdruck des Balkens CE und der rechte Auflagerdruck des Balkens AE nach unten, außerdem noch die Belastung der Pfette in E .

Demnach sind die Spannungen im Hauptsystem auch hier zunächst genau so zu berechnen, als wenn die Gesamtlasten nur in den Hauptknotenpunkten A , C , E , F und B angriffen; zu diesen Spannungen im Hauptsystem kommen alsdann noch die in den kleinen Trägern AE , EC etc. stattfindenden Spannungen hinzu. Die Spannungen derjenigen Stäbe der kleinen Träger, welche mit den Linien AE , EC etc. zusammenfallen, addiren sich einfach zu den Spannungen in diesen Stäben.

Die erste Annahme (Anordnung von Gelenken in den Knotenpunkten) ist bei den hölzernen Dachbindern niemals, allein auch bei den eisernen Dachstuhl häufig nicht erfüllt; in neuester Zeit tritt aber bei letzteren immer mehr das Bestreben in den Vordergrund, auch in dieser Richtung die praktische Construction in Uebereinstimmung mit der gedachten Annahme zu bringen, und es sind bereits eine Anzahl von Bauwerken in dieser Weise ausgeführt worden.

Das einfachste Dach entsteht dadurch, daß sich zwei Sparren AC und BC gegen einander lehnen (Fig. 255). Jede Belastung desselben, etwa des Sparrens BC , durch eine Last P , erzeugt nach Art. 208 in A eine Kraft R , deren Richtung mit AC zusammenfällt, in B eine Kraft R' in der Richtung BE . Die Auflagerkräfte R und R' haben die wagrechten Seitenkräfte H und H_1 , und da außerdem hier keine wagrechten Kräfte auf das System wirken, so ist $H = H_1$. Diese Kräfte H werden von den Seitenmauern des Gebäudes oder von den sonstigen stützenden Constructionen geleistet; umgekehrt wirken Seitens des Daches die Kräfte H auf die Seitenmauern des Gebäudes oder auf die sonstigen Stützen nach außen.

Fig. 255.



212.
Princip
der
Balkendächer.

Die Stabilität der das Dach tragenden Wände, Stützen etc. macht es in den meisten Fällen wünschenswerth, daß diese wagrechten Kräfte nicht auf dieselben übertragen werden; man verbindet deshalb die beiden Punkte A und B durch einen Stab oder eine Anzahl von Stangen, welche die Kräfte H und H_1 nach einem Punkte übertragen, in welchem sie alsdann einander aufheben. Dadurch erhält man, wenigstens für lothrechte Belastungen des Daches, nur lothrechte Auflagerdrücke

und lothrechten Druck auf die Wände, Stützen etc. Im einfachsten Falle besteht die Stangenverbindung aus einem einfachen Holzbalken oder einer einfachen eisernen Zugstange AB ; statt dessen werden auch zwei Stangen AE und EB (Fig. 256) angeordnet, die fowohl nach oben, wie nach unten von der wagrechten Linie abweichen können.

Als dann ist im Eckpunkte E eine weitere lothrechte Stange anzuordnen. Auch eine mehrfach gebrochene Stangenverbindung, so wie eine krumme Linie kann zur Verbindung der Punkte A und B gewählt werden. Beim Balkendach werden demnach stets die wagrechten Seitenkräfte der Auflagerdrücke, welche durch die lothrechten Belastungen entstehen, mittels der Stangenverbindung aufgehoben.

213.
Eintheilung.

Je nach der Anordnung der eben erwähnten Stangenverbindung, bezw. je nach der Form der oberen und der unteren Gurtung, so wie der Anordnung der zwischen beiden gelegenen Stäbe kann man folgende Hauptgattungen von Dachstuhl unterscheiden:

a) Einfaches Dreieckdach (Fig. 256). Dasselbe besteht aus zwei sich im First stützenden Sparren und einer die wagrechten Kräfte aufhebenden Verbindung von zwei Stangen, welche sich in der Lothrechten des Firstes schneiden. Diese beiden Stangen sind wagrecht oder nach oben, bezw. nach unten geneigt. Zur Verbindung des Firstpunktes mit dem Schnittpunkt der Stangen, welche den wagrechten Schub aufnehmen, ist eine lothrechte Stange CE angeordnet.

b) Deutscher Dachstuhl (Fig. 257). Die obere Gurtung hat jederseits einen Knotenpunkt, welcher durch einen Stab mit E verbunden ist.

Fig. 256

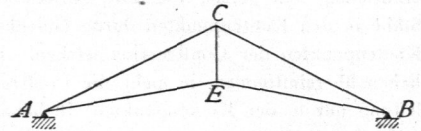


Fig. 257.

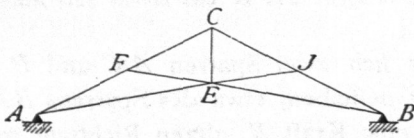
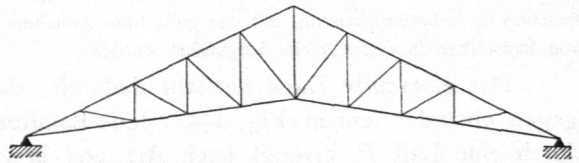


Fig. 258.



c) Englischer Dachstuhl (Fig. 258). Die obere Gurtung hat jederseits eine Anzahl von Knotenpunkten; die obere Gurtung und die den wagrechten Schub aufhebende Stangenverbindung (die untere Gurtung) sind durch Gitterwerk mit einander verbunden. Das Gitterwerk besteht aus einer Schar Verticalen und einer Schar Diagonalen oder aus zwei Scharen von Diagonalen, von denen die eine vortheilhaft senkrecht zur Dachneigung steht.

d) Französischer oder belgischer oder *Polonceau*-Dachstuhl (Fig. 259 bis 262). Er entsteht aus dem einfachen Dreieckdach, wenn in Fig. 255 die einfachen

Fig 259.

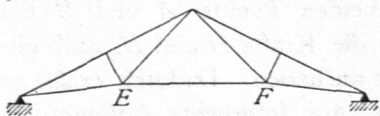


Fig. 260.

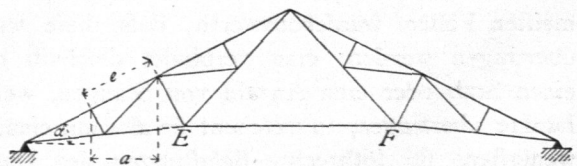


Fig. 261.

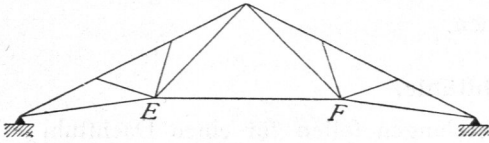
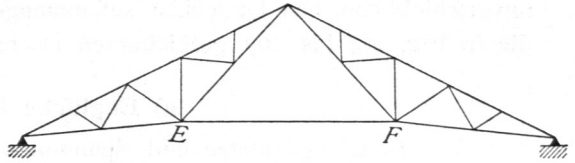


Fig. 262.



Sparren durch Dreieck-Träger ersetzt werden. Die Form der letzteren richtet sich nach der Anzahl von Stützpunkten (Knotenpunkten), welche jederseits nöthig werden. Der wagrechte Schub wird durch eine Stange EF aufgehoben, welche die unteren Eckpunkte der beiden Dreiecksträger verbindet. In Fig. 259 bis 261 sind *Polonceau*-Dachstühle für 1, 2, 3 und 4 Lastpunkte an jeder Seite des Firftes dargestellt.

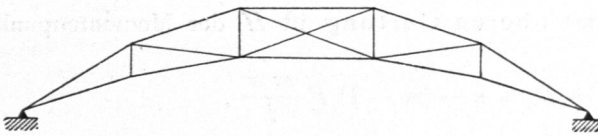
Man unterscheidet:

- 1) den einfachen *Polonceau*-Dachstuhl; bei demselben hat der Dreiecksträger jederseits nur einen Knotenpunkt in der unteren Gurtung (Fig. 259 u. 261);
- 2) den zusammengesetzten *Polonceau*-Dachstuhl; bei diesem sind in den Hauptträger noch weitere Constructionen eingeschaltet, so dass der Dreiecksträger in der unteren Gurtung jederseits mehrere Knotenpunkte hat (Fig. 260 u. 262).

Die Anzahl der Lastpunkte bestimmt sich nach der Tragweite, welche man den Sparren geben kann. Es sei letztere e , also die wagrechte Projection derselben $e \cos \alpha = a$, die Gefammtstützweite des Daches L ; alsdann ergibt sich die Anzahl der Lastpunkte zu $n = \frac{L}{e \cos \alpha} - 1 = \frac{L}{a} - 1$; e ist nach der Stärke der Sparren verschieden; n muss eine ganze gerade Zahl sein.

e) Sicheldach (Fig. 263). Die obere und die untere Gurtung sind nach einer krummen Linie oder nach einem der krummen Linie eingeschriebenen Vieleck gebildet;

Fig. 263.



das Gitterwerk ist verschieden. Man kann hierher auch die Träger mit gekrümmter oberer und geradliniger unterer Gurtung rechnen.

Bei den vorstehend aufgeführten Dächern ist stets angenommen, dass die beiden

Gurtungen sich über dem Auflager schneiden; die Formen sind aber auch möglich, ohne dass die Schnittpunkte der Gurtungen in den Auflager-Lothrechten liegen.

Fig. 264.

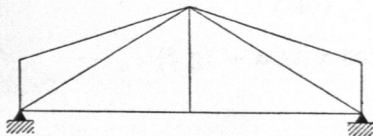


Fig. 265.

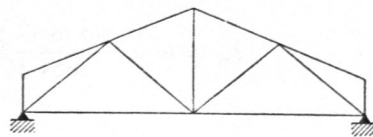


Fig. 266.

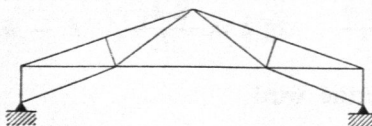
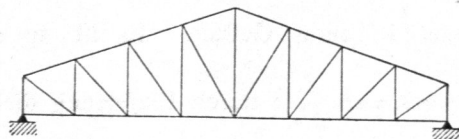


Fig. 267.



Alsdann find allerdings unter Umfänden noch Diagonalen anzuordnen, damit man unverfchiebliche, aus Dreiecken zusammengesetzte Figuren erhalte. Es ergeben sich die in Fig. 264 bis 267 gezeichneten Dachformen.

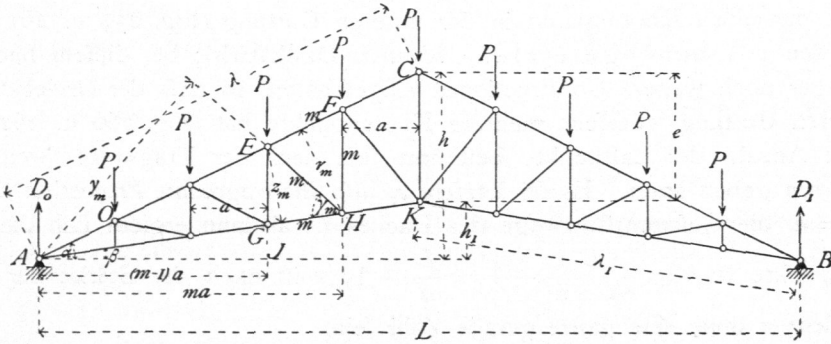
a) Englische Dachftühle.

214.
Berechnung
d. Spannungen
durch lothrechte
Belastung.

Die Belastungsgefetze und Spannungsermittelungen sollen für einen Dachstuhl mit Verticalen und nach der Mitte zu fallenden Diagonalen gezeigt werden; für andere Anordnungen des Gitterwerkes ergeben sich aus dem Nachstehenden die Aenderungen ohne Schwierigkeit.

1) Berechnung der Spannungen. α) Belastung durch das Eigengewicht, bezw. volle Schneebelastung (Fig. 268). Die Belastung für den Knotenpunkt sei P , die Stützweite L , die Entfernung der Knotenpunkte, wagrecht

Fig. 268.



gemessen, a . Der Dachstuhl habe $2n$ Felder; mithin ist $L = 2na$. Die Winkel der oberen, bezw. unteren Gurtung mit der wagrechten Linie seien α und β . Die Auflagerdrücke sind $D_0 = D_1 = \frac{(2n-1)P}{2}$.

215.
Spannungen
in den
Gurtungen.

Für die m -te Stange EF der oberen Gurtung ist H der Momentenpunkt, also

$$0 = X_m r_m + D_0 m a - (m-1) P \frac{m a}{2},$$

woraus

$$X_m = \frac{-\frac{(2n-1)}{2} P m a + (m-1) P \frac{m a}{2}}{r_m}.$$

Nun ist $r_m = \overline{AH} \sin(\alpha - \beta)$ und $\overline{AH} = \frac{m a}{\cos \beta}$; sonach

$$r_m = m a \frac{\sin(\alpha - \beta)}{\cos \beta} = m a \cos \alpha (\operatorname{tg} \alpha - \operatorname{tg} \beta)$$

und

$$X_m = -\frac{P(2n-m)}{2 \cos \alpha (\operatorname{tg} \alpha - \operatorname{tg} \beta)} \dots \dots \dots 300.$$

Oft ist es unbequem, mit den Winkelwerthen zu rechnen; dann giebt man der Formel folgende Gestalt. Es ist $\operatorname{tg} \alpha = \frac{2h}{L}$, $\operatorname{tg} \beta = \frac{2h_1}{L}$, $h - h_1 = e$ und $\cos \alpha = \frac{L}{2\lambda}$; durch Einsetzung dieser Werthe wird

$$X_m = - \frac{P \lambda (2n - m)}{2e} \dots \dots \dots 301.$$

Für die m -te Stange GH der unteren Gurtung ist E der Momentenpunkt, mithin

$$0 = D_0 (m - 1) a - P (m - 2) \frac{(m - 1) a}{2} - Z_m z_m,$$

woraus

$$Z_m = \frac{\frac{(2n - 1)}{2} P (m - 1) a - P (m - 2) (m - 1) \frac{a}{2}}{z_m}.$$

Nun ist $z_m = \overline{AE} \sin(\alpha - \beta)$ und $\overline{AE} = \frac{(m - 1) a}{\cos \alpha}$, demnach

$$Z_m = \frac{P (2n - m + 1)}{2 \cos \beta (\operatorname{tg} \alpha - \operatorname{tg} \beta)} \dots \dots \dots 302.$$

Da $\cos \beta = \frac{L}{2 \lambda_1}$ ist und $\operatorname{tg} \alpha$, so wie $\operatorname{tg} \beta$ die oben angegebenen Werthe haben, so wird auch

$$Z_m = \frac{P \lambda_1 (2n - m + 1)}{2e} \dots \dots \dots 303.$$

Die Gleichungen 302 u. 303 gelten nicht für die erste Stange der unteren Gurtung am Auflager; denn die Formel ist unter der Annahme entwickelt, daß als Drehpunkt für die Gleichung der statischen Momente derjenige Punkt der oberen Gurtung gewählt wird, welcher in die

$(m - 1)$ -te Verticale fällt; dies würde für $m = 1$ der Punkt A sein, und es wäre für diesen Fall die Gleichung der statischen Momente für A als Drehpunkt nicht verwendbar, weil alle Kräfte am Bruchstück dann durch A gehen, also das statische Moment Null haben. Man erhält Z_1 durch Aufstellung der Gleichung der statischen Momente für irgend einen beliebigen Punkt, etwa O (Fig. 269). Es wird, wenn der Hebelsarm von Z_1 in Bezug auf den Drehpunkt O gleich z_2 ist,

$$Z_1 = \frac{D_0 a}{z_2} = \frac{(2n - 1) P a}{2a \cos \beta (\operatorname{tg} \alpha - \operatorname{tg} \beta)} = \frac{(2n - 1) P \lambda_1}{2e} \dots \dots \dots 304.$$

Derselbe Werth ergibt sich für $m = 2$, d. h. für den zweiten Stab der unteren Gurtung.

Für die m -te Diagonale EH , wie für alle Diagonalen der linken Dachhälfte ist A der Momentenpunkt, mithin

$$0 = Y_m y_m + (m - 1) \frac{P m a}{2}, \quad \text{woraus} \quad Y_m = - \frac{P m a (m - 1)}{2 y_m}.$$

Da nun $y_m = \frac{m a \sin \gamma_m}{\cos \beta}$ ist, wird $Y_m = - \frac{P}{2} (m - 1) \frac{\cos \beta}{\sin \gamma_m}$.

Durch einfache Umformungen erhält man

$$Y_m = - \frac{P \sqrt{1 + [(m - 1) \operatorname{tg} \alpha - m \operatorname{tg} \beta]^2}}{2 (\operatorname{tg} \alpha - \operatorname{tg} \beta)} \dots \dots \dots 305.$$

und durch Fortschaffung der Winkelwerthe

$$Y_m = - \frac{P}{4e} \sqrt{L^2 + 4(m e - h)^2} \dots \dots \dots 306.$$

Für die m -te Verticale FH ist der Schnitt schräg zu legen; als Momentenpunkt ergibt sich A ; mithin heißt die Gleichung der statischen Momente für A als Drehpunkt

$$0 = V_m m a - (m - 1) \frac{P m a}{2}, \quad \text{woraus} \quad V_m = \frac{P (m - 1)}{2} \dots \dots 307.$$

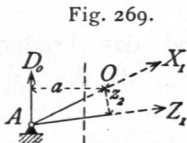


Fig. 269.

216.
Spannungen
in den
Diagonalen.

217.
Spannungen
in den
Verticalen.

Für $m = 1$ ergibt diese Gleichung $V_m = 0$; die erste Verticale ist also überflüssig und kann fortbleiben.

Die Gleichung gilt nicht für die mittelfte Verticale; denn wenn bei dieser der Schnitt eben so gelegt wird, wie bei den anderen Verticalen, so werden vier Stäbe getroffen; A ist also hier nicht der conjugirte Punkt. Man bestimmt die Spannung in dieser Mittelverticalen durch Aufstellung der Gleichgewichtsbedingungen für den Firstknotenpunkt (Fig. 270). Für diesen ist, wenn die Summe der lothrechten Kräfte gleich Null gesetzt wird,

$$0 = V_n + P + 2 X_n \sin \alpha, \text{ woraus } V_n = -P - 2 X_n \sin \alpha,$$

und da nach Gleichung 300: $X_n = -\frac{P n}{2 \cos \alpha (\operatorname{tg} \alpha - \operatorname{tg} \beta)}$ ist, so wird

$$V_n = P \left(\frac{n \operatorname{tg} \alpha}{\operatorname{tg} \alpha - \operatorname{tg} \beta} - 1 \right) \dots \dots \dots 308.$$

Die Gleichungen 300 bis 307 gelten für die Stäbe links von der Mitte; die zur Mitte symmetrisch liegenden Stäbe der anderen Dachhälfte werden in genau gleicher Weise beansprucht; die Gleichungen können sofort auch für die rechte Dachhälfte angewendet werden, wenn die m von B aus gerechnet werden.

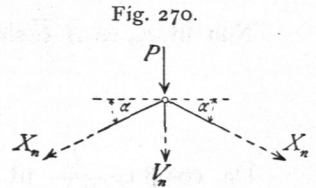


Fig. 270.

Die Betrachtung der Gleichungen 300 bis 307 ergibt Folgendes:

a) Durch das Eigengewicht, bezw. durch gleichmäßige Belastung des ganzen Dachbinders erhalten alle Stäbe der oberen Gurtung Druck, alle Stäbe der unteren Gurtung Zug. Wenn die Diagonalen nach der Mitte zu fallen, erhalten dieselben bei der erwähnten Belastung Druck, die Verticalen Zug. Man sieht leicht, dass, wenn die Diagonalen nach der Mitte zu steigen, dieselben bei der gleichen Belastung gezogen, die Verticalen gedrückt werden.

b) Je größer β wird, desto kleiner wird $(\operatorname{tg} \alpha - \operatorname{tg} \beta)$ und das Product $\cos \beta (\operatorname{tg} \alpha - \operatorname{tg} \beta)$; desto größer werden daher sowohl X_m , wie Z_m , da die Ausdrücke, sowohl für X , wie für Z die erwähnten Werthe im Nenner haben. Für negative Werthe von β , d. h. wenn die Zuggurtung nach unten von der Wagrechten abweicht, wird

$$X'_m = -\frac{P(2n - m)}{2 \cos \alpha (\operatorname{tg} \alpha + \operatorname{tg} \beta)} \text{ und } Z'_m = \frac{P(2n - m + 1)}{2 \cos \beta (\operatorname{tg} \alpha + \operatorname{tg} \beta)} \dots 309.$$

Je größer (absolut genommen) die negativen Werthe von β werden, desto größer werden die Nenner in den beiden Gleichungen 309, desto kleiner also X'_m und Z'_m . Für den Materialaufwand zu den Gurtungen ist es also günstig, das positive β möglichst klein, das negative β möglichst groß zu nehmen.

c) Für $\beta = 0$, d. h. wenn die untere Gurtung eine gerade Linie bildet, ist

$$X_m = -\frac{P(2n - m)}{2 \sin \alpha} \text{ und } Z_m = \frac{P(2n - m + 1)}{2 \operatorname{tg} \alpha} \dots \dots 310.$$

$$Y_m = -\frac{P \sqrt{1 + (m - 1)^2 \operatorname{tg}^2 \alpha}}{2 \operatorname{tg} \alpha}, \quad V_m = \frac{P(m - 1)}{2} \text{ und } V_n = P(n - 1) \quad 311.$$

β) Ungünstigste lothrechte Belastung. Jede lothrechte Belastung des Trägers erzeugt (nach Art. 154, S. 134) ein positives Moment in allen Querschnitten. Sind nun (Fig. 268) die in den Stäben EF , bezw. GH durch eine beliebige lothrechte Belastung erzeugten Spannungen X_m , bezw. Z_m und die Momente für die bezüglichen Momentenpunkte H und E gleich M_m und M_{m-1} , so wird

$$X_m = -\frac{M_m}{r_m} \text{ und } Z_m = \frac{M_{m-1}}{z_m}.$$

218.
Ungünstigste
Belastung.

X_m und Z_m erreichen ihre Größtwerthe gleichzeitig mit M_m , bzw. M_{m-1} , d. h. bei voller Belastung des Trägers. Die Belastung des ganzen Daches durch Schneedruck wird also für die Gurtungsstäbe die ungünstigste sein. Die dann sich ergebenden Spannungen folgen aus den Gleichungen 300 bis 304, indem dort statt P die Knotenpunktsbelastung durch Schnee- und Eigengewicht eingesetzt wird.

Man erhält, wenn b der Binderabstand ist, q' die Bedeutung, wie in Art. 202 (S. 186) hat,

$$P = G + S = a b (q' + 75) \text{ Kilogr.}$$

und daraus leicht X_m und Z_m .

a) Wenn die Diagonalen nach der Mitte zu fallen, so erzeugt eine Last P rechts von dem durch die Diagonalenmitte gelegten lothrechten Schnitt II (Fig. 271) in A den Auflagerdruck D_0 . Auf das Bruchstück links vom Schnitt wirken jetzt D_0 und die drei Stabspannungen X , Y und Z . Für Y ist A der Momentenpunkt, und die Gleichung der statischen Momente für A als Drehpunkt lautet $0 = Yy$, d. h. $Y = 0$.

Liegt eine Last P links vom Schnitt II und betrachtet man das Bruchstück

Fig. 271.

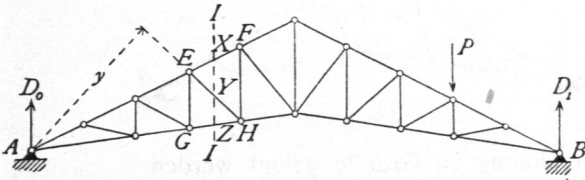
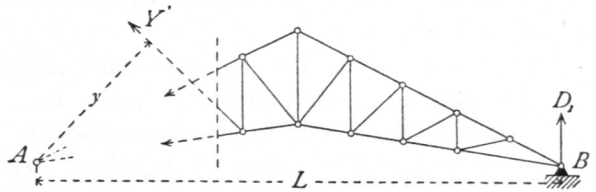


Fig. 272.



rechts vom Schnitt (Fig. 272), so heißt die Gleichung der statischen Momente in Bezug auf den Punkt A als Drehpunkt

$$0 = Y' y + D_1 L, \text{ woraus } Y' = - \frac{D_1 L}{y}.$$

Steigen die Diagonalen nach der Mitte zu, so ergibt sich, wenn die Last rechts vom Schnitt liegt, genau wie vorhin, dass in den Diagonalen die Spannung Null entsteht. Liegt dagegen die Last links vom Schnitt, so folgt

$$Y'_1 = + \frac{D_1 L}{y'}.$$

Die für die Diagonalen gefundenen Ergebnisse gelten, so lange A der Momentenpunkt der Diagonalen ist, d. h. für alle Diagonalen links der Mitte. Für die Diagonalen rechts der Mitte ist B der Momentenpunkt, und es ergibt sich in gleicher Weise, wie eben gezeigt, dass in diesen jede Belastung rechts vom Schnitt eine Druck-, bzw. Zugspannung erzeugt, je nachdem sie nach der Mitte zu fallen oder steigen; jede Belastung links vom Schnitt ruft dagegen in denselben die Spannung Null hervor.

Allgemein folgt hieraus: Jede Belastung zwischen dem durch die Diagonale gelegten lothrechten Schnitt und demjenigen Auflager, welches für die Diagonale nicht den Momentenpunkt bildet, hat auf die Spannung in der Diagonalen gar keinen Einfluss. Jede Belastung zwischen dem lothrechten Schnitt und dem Auflager, welches für die Diagonale den Momentenpunkt bildet, erzeugt in den nach der Mitte zu fallenden Diagonalen Druck, in den nach der Mitte zu steigenden Diagonalen Zug. Die ungünstigsten Belastungsarten würden also diejenigen sein, bei denen die ganze Zug-, bzw. Druckabtheilung belastet wäre. Da aber die Belastung des übrigen

Trägertheiles ohne Einfluss auf die Diagonalspannung ist, so kann man auch sagen: Die ungünstigste Beanspruchung aller Diagonalen durch lothrechte Lasten findet bei voller Belastung statt, und zwar werden die nach der Mitte zu steigenden Diagonalen gezogen, die nach der Mitte zu fallenden Diagonalen gedrückt.

h) Für die ungünstigste Belastung der Verticalen ergibt sich durch die gleiche Beweisführung, wie bei den Diagonalen, wenn die Schnitte schräg gelegt werden: Jede Belastung zwischen dem durch eine Verticale gelegten schrägen Schnitt und dem Auflager, welches für die Verticalen nicht den Momentenpunkt bildet, erzeugt in der Verticalen die Spannung Null; jede Belastung zwischen dem Schnitte und demjenigen Auflager, welches den conjugirten Punkt bildet, erzeugt in der Verticalen Zug, wenn die Diagonalen nach der Mitte zu fallen, Druck, wenn die Diagonalen nach der Mitte zu steigen. Auch hier findet demnach Maximaldruck, bezw. -Zug bei voller Belastung des Trägers statt.

Das hier gefundene Gesetz gilt, so lange die geradlinigen Gurtungen sich in den Auflager-Lothrechten schneiden, also auch, wie man leicht sieht, für die Anordnung von zwei Scharen Diagonalen nach Fig. 273.

Es kann also für alle Stäbe des englischen Dachstuhles die volle Belastung durch Schnee und Eigengewicht als ungünstigste lothrechte Belastung der Berechnung zu Grunde gelegt werden.

Die bezüglichen Größtwerthe sind in Art. 214 bis 217 entwickelt.

γ) Belastung durch Winddruck. Es sind die sämmtlichen Stabspannungen sowohl für den Fall zu ermitteln, dass der Winddruck jene Seite belastet, an welcher das bewegliche Auflager liegt, als dass er diejenige Seite belastet, an welcher sich das feste Auflager befindet.

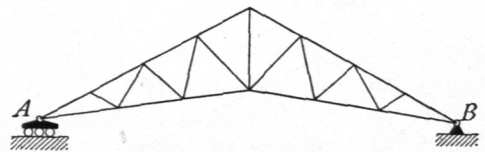
Man ermittelt bei diesen beiden Belastungsarten für jeden Stab den Momentenpunkt, das Biegemoment der äußeren Kräfte für diesen Punkt und daraus in bekannter Weise die Stabspannungen. Es empfiehlt sich dabei, für die Auffuchung des Biegemomentes jede Knotenpunktsbelastung in eine wagrechte und eine lothrechte Seitenkraft zu zerlegen; die Ermittlung der Hebelsarme wird dadurch wesentlich vereinfacht. In Fig. 280 u. 282 sind die wagrechten und lothrechten Seitenkräfte der Winddrücke sowohl für den Fall, dass der Wind von der Seite des beweglichen Auflagers, als auch für den Fall, dass er von der Seite des festen Auflagers kommt, angegeben.

2) Graphische Ermittlung der Spannungen. Hier empfiehlt sich die *Cremona'sche Methode* am meisten, weil für die Spannungen aller Stäbe die gleichen Belastungsarten zu Grunde gelegt werden.

α) Belastung durch das Eigengewicht und Schneedruck. Man nimmt entweder die sämmtlichen Eigenlasten in den oberen Knotenpunkten vereinigt an oder berechnet die Eigengewichte, welche in den Knotenpunkten der unteren Gurtung angreifen, besonders. In beiden Fällen ist das Verfahren genau wie im Kapitel »Träger« (Art. 175, S. 152) gezeigt ist.

Bei der graphischen Ermittlung in Fig. 274 u. 275 ist die zweite Annahme gemacht worden; die Eigengewichte, welche auf die Auflagerpunkte *A* und *B* kommen, sind fortgelassen, weil sie unmittelbar von den Auflagern aufgenommen werden, demnach das System nicht belasten. Alsdann sind die am

Fig. 273.



219.
Berechnung
d. Spannungen
durch
Winddruck.

220.
Graphische
Ermittlung
der
Spannungen.

Fig. 274.

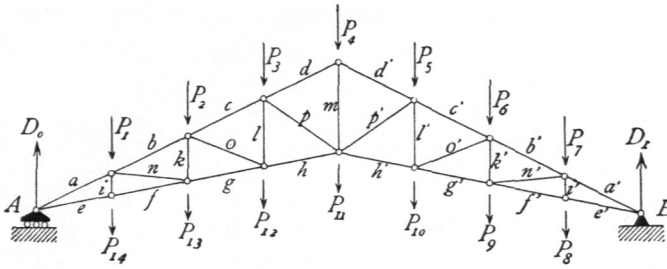
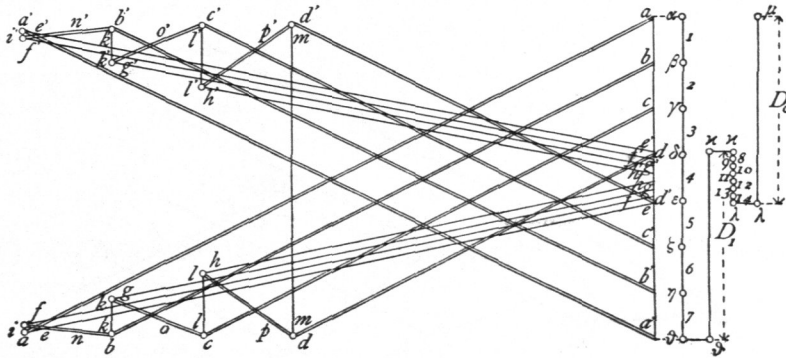


Fig. 275.



System wirkenden äußeren Kräfte in der Reihenfolge der Knotenpunkte aufgetragen: zuerst die Lasten der oberen Gurtung 1, 2, 3... 7; an den Endpunkt von 7 ist D_1 getragen; letzteres fällt mit der Kraftlinie 1, 2, 3... 7 zusammen, wie überhaupt alle äußeren Kräfte hier in dieselbe Kraftlinie fallen. Der größeren Deutlichkeit halber sind aber die Lasten 1 bis 7, D_1 , ferner die Lasten der unteren Gurtung und D_0 je etwas feitwärts verschoben aufgetragen. Wir erhalten $D_1 = \vartheta \kappa$; δ bis $14 = \kappa \lambda$; $D_0 = \lambda \mu$; μ fällt demnach eigentlich auf α , wonach sich also das Kraftpolygon schließt.

Für die Construction des Kräfteplanes sind selbstverständlich als Grenzpunkte der einzelnen äußeren Kräfte die Punkte auf der Linie $a a'$ einzuführen, welche mit den gezeichneten auf gleicher Höhe liegen. Der Kräfteplan ist nun genau, wie früher angegeben, in Fig. 275 construirt, worüber keine weiteren Bemerkungen nöthig sind.

Die Construction der Spannungen durch volle Schneebelastung ist in gleicher Weise vorzunehmen.

β) Belastung durch Winddruck. In Fig. 277 u. 278 sind die Kräftepläne sowohl für den von der Seite des beweglichen, wie für den von der Seite des festen Auflagers kommenden Winddruck construirt. Auf den Auflagerpunkt und den Firstpunkt kommen bei gleicher Entfernung aller Knotenpunkte die Hälften der auf die anderen Knotenpunkte entfallenden Belastungen; bei anderen Entfernungen der Knotenpunkte sind die Belastungen dieser Punkte aus den auf sie kommenden Dachflächen gleichfalls leicht zu ermitteln.

Zunächst sind nun die Auflagerdrücke, wie in Art. 206 (S. 188) gezeigt, construirt, worauf sich der Kräfteplan in bekannter Weise ergibt. In Fig. 276 sind die äußeren Kräfte für die Belastung der linken Dachhälfte ausgezogen, für die Belastung der rechten Dachhälfte punktiert.

Es möge hier darauf aufmerksam gemacht werden, daß auf der nicht belasteten Seite sämtliche Diagonalen die Spannung Null, die oberen, so wie die unteren Gurtungsstäbe sämtlich je gleiche Spannungen erhalten. Die Richtigkeit ergibt sich leicht aus folgender Betrachtung.

Wenn sich in einem unbelasteten Knotenpunkte (Fig. 279) drei Stäbe schneiden, von denen zwei in eine gerade Linie fallen, so ist, wenn Gleichgewicht stattfindet, $X - X_1 + Y \cos \varphi = 0$ und $Y \sin \varphi = 0$,

Fig. 276.

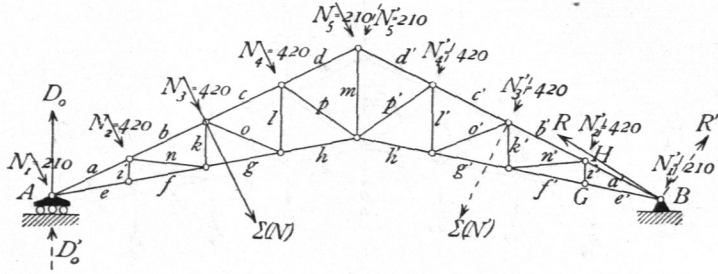


Fig. 277.

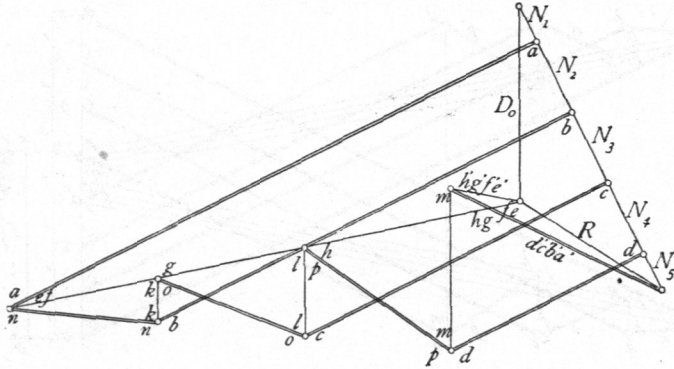
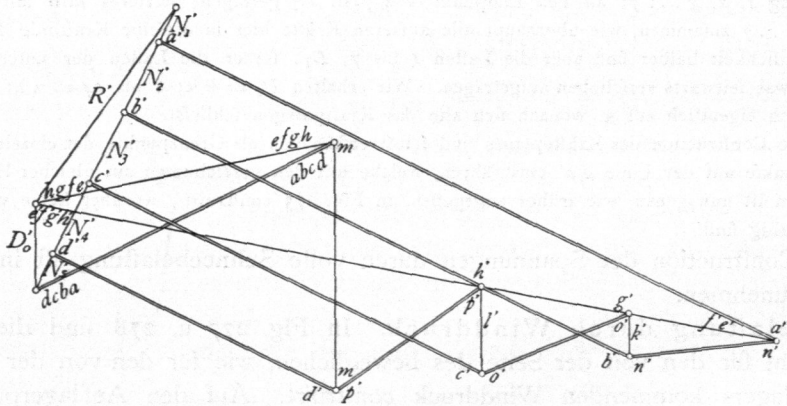


Fig. 278.



d. h. $Y = 0$, also auch $X - X_1 = 0$, d. h. $X = X_1$. Die Spannungen in den beiden in eine gerade Linie fallenden Stäben sind also einander gleich; die Spannung im dritten Stabe ist gleich Null.

Falls der Wind, wie in Fig. 276 durch die ausgezogenen Pfeile angedeutet ist, die linke Seite belastet, so wirkt auf den Knotenpunkt G keine äußere Kraft; mithin wird $e' = f'$ und $i' = 0$. Auch auf H wirkt keine äußere Kraft; da nun $i' = 0$ ist, also als nicht vorhanden zu betrachten ist, so folgt auch $n' = 0$ und $a' = b'$. Eben so ergibt sich weiter $a' = b' = c' = d'$; $e' = f' = g' = h'$; $i' = n' = k' = o' = l' = p' = 0$.

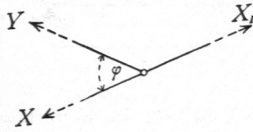
221.
Beispiel.

Beispiel. Berechnung eines englischen Dachstuhles (Fig. 280) von nachfolgenden Hauptmaßen: Stützweite $L = 16$ m; Firrhöhe $h = 4$ m; $\frac{h}{L} = \frac{1}{4}$; $a = 2$ m; $2n = 8$; $\text{tg } \alpha = \frac{4}{8} = 0,5$; $h_1 = 1,6$ m; $\text{tg } \beta = \frac{1,6}{8} = 0,2$; $e = h - h_1 = 2,4$ m; $\lambda = \sqrt{4^2 + 8^2} = 8,94$ m; $\lambda_1 = \sqrt{1,6^2 + 8^2}$

$$= 8,16 \text{ m}; \quad \sin \alpha = \frac{h}{\lambda} = \frac{4}{8,94} = 0,447 \text{ m}; \quad \cos \alpha = \frac{8}{\lambda} = \frac{8}{8,94} = 0,895; \quad \sin \beta = \frac{h_1}{\lambda_1} = \frac{1,6}{8,16} = 0,196; \quad \cos \beta = \frac{8}{\lambda_1} = \frac{8}{8,16} = 0,98; \text{ die Binderweite ist } 4,3 \text{ m}; \text{ die Dachdeckung ist Eifenwellblech auf Winkeleifen}; \text{ das Gitterwerk besteht aus Verticalen und nach der Mitte zu fallenden Diagonalen.}$$

Die Belastungen ergeben sich wie folgt. Auf einen Knotenpunkt kommt eine Grundfläche von

Fig. 279. $2 \cdot 4,3 = 8,6 \text{ qm}$, eine schräge Dachfläche von $4,3 \frac{\lambda}{4} = \frac{4,3 \cdot 8,94}{4} = 9,61 \text{ qm}$.



Mithin ist nach der Tabelle auf S. 19 das Eigengewicht für 1 qm Grundfläche, auschl. des Bindergewichtes, gleich 23 kg. Rechnet man das Gewicht des Binders für 1 qm Grundfläche mit 17 kg, so wird das Eigengewicht für 1 qm Grundfläche = 23 + 17 = 40 kg. Demnach ist die Knotenpunktsbelastung durch das Eigengewicht = 8,6 · 40 = 344 kg, durch Schneedruck = 8,6 · 75 = 645 kg, die senkrechte Knotenpunktsbelastung durch Winddruck = 9,61 · 72 = 692 kg,

wofür abgerundet $N = 700 \text{ kg}$ gesetzt werden soll. Der Firstknotenpunkt und der Auflagerknotenpunkt erhalten nur je 350 kg senkrechte Windbelastung.

a) Spannungen durch die lothrechten Lasten. Für die obere Gurtung ergeben sich die Spannungen durch das Eigengewicht, bezw. volle Schneebelastung aus Gleichung 301 zu

$$X_m = - \frac{P \cdot 8,94}{2 \cdot 2,4} (8 - m) = - 1,8625 P (8 - m).$$

Wir erhalten: für Eigengewicht $P = 344 \text{ kg}$, fönach $X_m^g = - 1,8625 \cdot 344 (8 - m) = - 640 (8 - m)$;

für Schneebelastung $P = 645 \text{ kg}$, mithin $X_m^p = - 1,8625 \cdot 645 (8 - m) = - 1200 (8 - m)$.

| | | | | |
|--------------|--------|--------|--------|------------|
| Für $m =$ | 1 | 2 | 3 | 4 |
| wird $X^g =$ | - 4480 | - 3840 | - 3200 | - 2560 kg; |
| $X^p =$ | - 8400 | - 7200 | - 6000 | - 4800 kg. |

Für die untere Gurtung ist nach Gleichung 303: $Z_m = \frac{P \cdot 8,16}{2 \cdot 2,4} (9 - m) = 1,7 P (9 - m)$.

Für Eigengewicht ist $Z_m^g = 1,7 \cdot 344 (9 - m) = 585 (9 - m)$;

für Schneelast ist $Z_m^p = 1,7 \cdot 645 (9 - m) = 1096,5 (9 - m)$.

| | | | | |
|-----------------------|------|------|----------|---|
| Sonach wird für $m =$ | 1 | 2 | 3 | 4 |
| $Z^g =$ | 4095 | 3510 | 2925 kg; | |
| $Z^p =$ | 7677 | 6579 | 5481 kg. | |

Z_1 ist nicht nach der Formel berechnet (vergl. darüber die Bemerkung in Art. 215, S. 198).

Für die Diagonalen ist nach Gleichung 306

$$Y = - \frac{P}{9,6} \sqrt{16^2 + 4(m \cdot 2,4 - 4)^2} = - 0,104 P \sqrt{256 + 4(2,4m - 4)^2}.$$

Wir erhalten für $m = 2$: $Y_2 = - 0,104 P \sqrt{256 + 4(0,8)^2} = - 1,672 P$;

Eigengewicht: $Y_2^g = - 575 \text{ kg}$; Schneelast: $Y_2^p = - 1079 \text{ kg}$;

für $m = 3$: $Y_3 = - 0,104 P \sqrt{256 + 4(7,2 - 4)^2} = - 1,79 P$;

Eigengewicht: $Y_3^g = - 616 \text{ kg}$; Schneelast: $Y_3^p = - 1155 \text{ kg}$;

für $m = 4$: $Y_4 = - 0,104 P \sqrt{256 + 4(9,6 - 4)^2} = - 2,03 P$;

Eigengewicht: $Y_4^g = - 698 \text{ kg}$; Schneelast: $Y_4^p = - 1310 \text{ kg}$.

Die Spannungen in den Verticalen ergeben sich aus Gleichung 307.

| | | |
|---------------|----------------------------|----------------------------|
| | Eigengewicht: | Schneelast: |
| für $m = 2$: | $V_2^g = 172 \text{ kg}$; | $V_2^p = 323 \text{ kg}$; |
| » $m = 3$: | $V_3^g = 344 \text{ kg}$; | $V_3^p = 645 \text{ kg}$. |

Die Spannungen in der Mittelverticalen (für $m = 4$) sind nach Gleichung 308 $V_4^g = 1950 \text{ kg}$, $V_4^p = 3657 \text{ kg}$.

β) Spannungen durch Windbelastung an der Seite des beweglichen Auflagers (Fig. 280). Die lothrechte Seitenkraft der Knotenpunktsbelastung ist bei den mittleren Knotenpunkten gleich

$700 \cos \alpha = 700 \cdot 0,895 = 626 \text{ kg}$, beim Firft- und Auflagerknotenpunkt je gleich 313 kg ; die wagrechten Seitenkräfte sind bezw. $700 \sin \alpha = 700 \cdot 0,447 = 312 \text{ kg}$ und 156 kg . Die lothrechten Höhen der oberen Gurtungsknotenpunkte über AB sind bezw. 1 m , 2 m , 3 m und 4 m ; die Knotenpunkte der unteren Gurtung liegen bezw. um $0,4 \text{ m}$, $0,8 \text{ m}$, $1,2 \text{ m}$ und $1,6 \text{ m}$ über der wagrechten Linie AB . Es ist

$$D_0 = \frac{(3 \cdot 626 + 2 \cdot 313) 12 - (3 \cdot 312 + 2 \cdot 156) 2}{16} = 1722 \text{ kg},$$

$$D_1 = \frac{(3 \cdot 626 + 2 \cdot 313) 4 + (3 \cdot 312 + 2 \cdot 156) 2}{16} = 782 \text{ kg},$$

$$H = 3 \cdot 312 + 2 \cdot 156 = 1248 \text{ kg}.$$

Für die Stäbe der oberen Gurtung ergeben sich die Gleichungen der statischen Momente: wenn E der Momentenpunkt ist,

$$0 = X_1 \cdot 0,6 \cos \alpha + (D_0 - 313) \cdot 2 - 156 \cdot 0,4, \text{ woraus } X_1 = -5132 \text{ kg};$$

für den Momentenpunkt F

$$0 = X_2 \cdot 1,2 \cos \alpha + (D_0 - 313) \cdot 4 - 156 \cdot 0,8 + 312 \cdot 0,2 - 626 \cdot 2, \text{ woraus } X_2 = -4023 \text{ kg};$$

weilers eben so für die Momentenpunkte G und \mathcal{F}

$$0 = X_3 \cdot 1,8 \cos \alpha + (D_0 - 313) \cdot 6 - 156 \cdot 1,2 + 2 \cdot 312 \cdot 0,3 - 2 \cdot 626 \cdot 3, \text{ woraus } X_3 = -2916 \text{ kg};$$

$$0 = X_4 \cdot 2,4 \cos \alpha + (D_0 - 313) \cdot 8 - 156 \cdot 1,6 + 3 \cdot 312 \cdot 0,4 - 3 \cdot 626 \cdot 4, \text{ woraus } X_4 = -1806 \text{ kg}.$$

Die Momentengleichung für den Punkt \mathcal{F} heißt, wenn das Bruchstück rechts von dem durch den Stab $\mathcal{F}K$ gelegten lothrechten Schnitte betrachtet wird,

$$0 = H \cdot 1,6 - D_1 \cdot 8 - X_5 \cdot 2,4 \cos \alpha, \text{ woraus } X_5 = -1982 \text{ kg}.$$

Dieselbe Spannung findet in sämtlichen Stäben der oberen Gurtung rechts der Mitte statt (vergl. Art. 220, S. 202).

In ähnlicher Weise erhält man für die untere Gurtung:

$$0 = (D_0 - 313) 2 - 156 \cdot 1 - Z_1 \cdot 0,6 \cos \beta, \text{ woraus } Z_1 = 4527 \text{ kg} = Z_2;$$

$$0 = (D_0 - 313) 4 - 156 \cdot 2 - 626 \cdot 2 - 312 \cdot 1 - Z_3 \cdot 1,2 \cos \beta, \text{ woraus } Z_3 = 3197 \text{ kg};$$

$$0 = (D_0 - 313) 6 - 156 \cdot 3 - 2 \cdot 626 \cdot 3 - 2 \cdot 312 \cdot 1,5 - Z_4 \cdot 1,8 \cos \beta, \text{ woraus } Z_4 = 1857 \text{ kg}.$$

Betrachtet man wieder das Bruchstück rechts von dem durch den Stab $\mathcal{F}K$ gelegten lothrechten Schnitte, so heißt die Momentengleichung für Punkt K

$$0 = H \cdot 3 - D_1 \cdot 6 + Z_5 \cdot 1,8 \cos \beta, \text{ woraus } Z_5 = 537 \text{ kg}.$$

Eben so groß ist die Spannung in sämtlichen Stäben der unteren Gurtung rechts der Mitte (vergl. Art. 220, S. 202).

Um die Spannungen in den Diagonalen zu bestimmen, sind die Hebelsarme dieser Spannungen für den Punkt A , welcher für alle Diagonalen links der Mitte Momentenpunkt ist, konstruiert. Man erhält $y_2 = 1,17 \text{ m}$, $y_3 = 3,3 \text{ m}$ und $y_4 = 5,8 \text{ m}$.

Die Spannungen ergeben sich aus den Momentengleichungen, wie folgt:

$$0 = Y_2 \cdot 1,17 + 626 \cdot 2 + 312 \cdot 1, \text{ woraus } Y_2 = -1337 \text{ kg};$$

$$0 = Y_3 \cdot 3,3 + 2 \cdot 626 \cdot 3 + 2 \cdot 312 \cdot 1,5, \text{ woraus } Y_3 = -1422 \text{ kg};$$

$$0 = Y_4 \cdot 5,8 + 626 \cdot 3 \cdot 4 + 3 \cdot 312 \cdot 2, \text{ woraus } Y_4 = -1618 \text{ kg}.$$

Die Spannungen in den Diagonalen rechts der Mitte sind gleich Null (vergl. Art. 220, S. 202).

Für die Spannungen aller Verticalen links der Mitte ist A der Momentenpunkt; man erhält:

$$0 = 626 \cdot 2 + 312 \cdot 1 - V_2 \cdot 4, \text{ woraus } V_2 = +391 \text{ kg};$$

$$0 = 2 \cdot 626 \cdot 3 + 2 \cdot 312 \cdot 1,5 - V_3 \cdot 6, \text{ woraus } V_3 = +782 \text{ kg}.$$

Fig. 280.

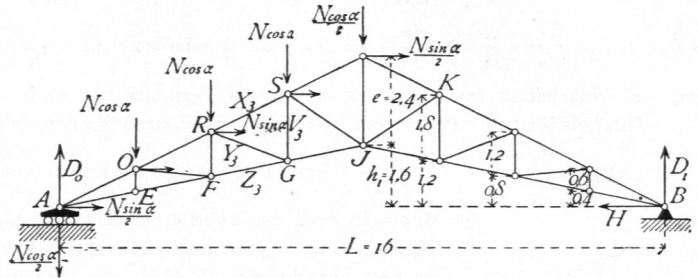
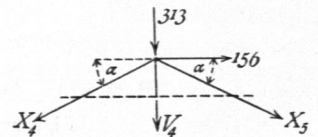


Fig. 281.



Für die Ermittlung der Spannung in der Mittelverticalen (Fig. 281) ist die Summe der lothrechten Kräfte im Fünftknotenpunkt gleich Null zu setzen; sonach

$$0 = V_4 + 313 + (X_4 + X_5) \sin \alpha = V_4 + 313 - (1806 + 1982) 0,447, \text{ woraus } V_4 = 1380 \text{ kg.}$$

Die Spannungen in den Verticalen rechts der Mitte sind gleich Null (vergl. Art. 220, S. 202).

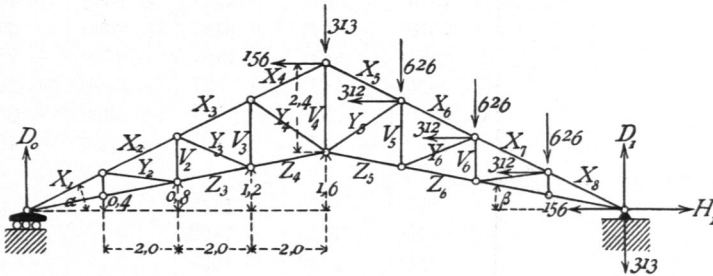
γ) Spannungen durch Windbelastung von der Seite des festen Auflagers (Fig. 282). Die Belastungen der einzelnen Knotenpunkte der rechten Hälfte sind eben so groß, wie diejenigen der linken Knotenpunkte unter β waren. Wir erhalten

$$D_0 = \frac{(3 \cdot 626 + 2 \cdot 313) 4 + (3 \cdot 312 + 2 \cdot 156) 2}{16} = 782 \text{ kg,}$$

$$D_1 = \frac{(3 \cdot 626 + 2 \cdot 313) 12 - (3 \cdot 312 + 2 \cdot 156) 2}{16} = 1722 \text{ kg,}$$

$$H_1 = 3 \cdot 312 + 2 \cdot 156 = 1248 \text{ kg.}$$

Fig. 282.



In der oberen Gurtung findet man

$$0 = X_1 \cdot 0,6 \cos \alpha + D_0 \cdot 2, \text{ woraus } X_1 = -\frac{782 \cdot 2}{0,537} = -2912 \text{ kg.}$$

Derselbe Werth ergibt sich nach Art. 220 (S. 202) für X_2 , X_3 und X_4 . Weiters ist

$$0 = X_5 \cdot 2,4 \cos \alpha + D_0 \cdot 8 - 156 \cdot 2,4, \text{ woraus } X_5 = -2738 \text{ kg;}$$

$$0 = X_6 \cdot 1,8 \cos \alpha + (D_1 - 313) 6 + (H_1 - 156) 1,2 + 2 \cdot 312 \cdot 0,3 - 2 \cdot 626 \cdot 3, \text{ woraus } X_6 = -3845 \text{ kg}$$

$$0 = X_7 \cdot 1,2 \cos \alpha + (D_1 - 313) 4 + (H_1 - 156) 0,8 + 312 \cdot 0,2 - 626 \cdot 2, \text{ woraus } X_7 = -4953 \text{ kg}$$

$$0 = X_8 \cdot 0,6 \cos \alpha + (D_1 - 313) 2 + (H_1 - 156) 0,4, \text{ woraus } X_8 = -6061 \text{ kg.}$$

In der unteren Gurtung ergibt sich

$$0 = Z_1 \cdot 0,6 \cos \beta - D_0 \cdot 2, \text{ woraus } Z_1 = 2660 \text{ kg.}$$

Dieselbe Größe haben Z_2 , Z_3 und Z_4 . Weiters findet man

$$0 = (D_1 - 313) 6 + (H_1 - 156) 3 - 2 \cdot 626 \cdot 3 - 2 \cdot 312 \cdot 1,5 - Z_5 \cdot 1,8 \cos \beta, \text{ woraus } Z_5 = +3990 \text{ kg;}$$

$$0 = (D_1 - 313) 4 + (H_1 - 156) 2 - 626 \cdot 2 - 312 \cdot 1 - Z_6 \cdot 1,2 \cos \beta, \text{ woraus } Z_6 = +5320 \text{ kg;}$$

$$0 = (D_1 - 313) 2 + (H_1 - 156) 1 - Z_7 \cdot 0,6 \cos \beta, \text{ woraus } Z_7 = +6650 \text{ kg.}$$

Die Hebelsarme für die Ermittlung der Spannungen in den Diagonalen sind oben angegeben; hiernach findet statt

$$0 = Y_7 \cdot y_2 + 312 \cdot 1 + 626 \cdot 2, \text{ woraus } Y_7 = -1337 \text{ kg;}$$

$$0 = Y_6 \cdot y_3 + 2 \cdot 312 \cdot 1,5 + 2 \cdot 626 \cdot 3, \text{ woraus } Y_6 = -1422 \text{ kg;}$$

$$0 = Y_5 \cdot y_4 + 3 \cdot 312 \cdot 2 + 3 \cdot 626 \cdot 4, \text{ woraus } Y_5 = -1618 \text{ kg.}$$

Die Spannungen in den übrigen Diagonalen sind gleich Null.

In den Verticalen sind die Spannungen V_1 , V_2 und V_3 gleich Null; V_4 wird durch die Aufstellung der Gleichgewichtsbedingung erhalten, welche besagt, daß die algebraische Summe der lothrechten, am Fünftknotenpunkte wirkenden Kräfte gleich Null sein muß, d. h. aus

$$0 = V_4 + 313 + X_4 \sin \alpha + X_5 \sin \alpha = V_4 + 313 - (2912 + 2738) \cdot 0,447 \text{ wird } V_4 = 2212 \text{ kg.}$$

Ferner ist

$$0 = V_5 \cdot 6 - 2 \cdot 626 \cdot 3 - 2 \cdot 312 \cdot 1,5, \text{ woraus } V_5 = 782 \text{ kg;}$$

$$0 = V_6 \cdot 4 - 626 \cdot 2 - 312 \cdot 1, \text{ woraus } V_6 = 391 \text{ kg.}$$

δ) Zusammenstellung der Stabspannungen. Für die Querschnittsbestimmungen sind die gefundenen Spannungen in umstehender Tabelle zusammengestellt.

| Bezeichnung des Stabes | Spannung durch | | | | P ₀ | P ₁ |
|--------------------------------|----------------|-----------------------------|------------|-------------|----------------|----------------|
| | Eigen-gewicht | Schneelast (voll be-lastet) | Wind links | Wind rechts | | |
| Obere Gurtung: | | | | | | |
| Stab Nr. 1 | - 4480 | - 8400 | - 5132 | - 2912 | - 4480 | - 13522 |
| » » 2 | - 3840 | - 7200 | - 4023 | - 2912 | - 3840 | - 11223 |
| » » 3 | - 3200 | - 6000 | - 2916 | - 2912 | - 3200 | - 8916 |
| » » 4 | - 2560 | - 4800 | - 1806 | - 2912 | - 2560 | - 7712 |
| » » 5 | - 2560 | - 4800 | - 1982 | - 2738 | - 2560 | - 7538 |
| » » 6 | - 3200 | - 6000 | - 1982 | - 3845 | - 3200 | - 9845 |
| » » 7 | - 3840 | - 7200 | - 1982 | - 4953 | - 3840 | - 12153 |
| » » 8 | - 4480 | - 8400 | - 1982 | - 6061 | - 4480 | - 14461 |
| Untere Gurtung: | | | | | | |
| Stab Nr. 1 u. 2 | + 4095 | + 7677 | + 4527 | + 2660 | + 4095 | + 12204 |
| » » 3 | + 3510 | + 6579 | + 3197 | + 2660 | + 3510 | + 9776 |
| » » 4 | + 2925 | + 5481 | + 1857 | + 2660 | + 2925 | + 8141 |
| » » 5 | + 2925 | + 5481 | + 537 | + 3990 | + 2925 | + 9471 |
| » » 6 | + 3510 | + 6579 | + 537 | + 5320 | + 3510 | + 11899 |
| » » 7 u. 8 | + 4095 | + 7677 | + 537 | + 6650 | + 4095 | + 14327 |
| Diagonalen: | | | | | | |
| im Felde 2 | - 575 | - 1079 | - 1337 | 0 | - 575 | - 2416 |
| » » 3 | - 616 | - 1155 | - 1422 | 0 | - 616 | - 2577 |
| » » 4 | - 698 | - 1310 | - 1618 | 0 | - 698 | - 2928 |
| » » 5 | - 698 | - 1310 | 0 | - 1618 | - 698 | - 2928 |
| » » 6 | - 616 | - 1155 | 0 | - 1422 | - 616 | - 2577 |
| » » 7 | - 575 | - 1079 | 0 | - 1337 | - 575 | - 2416 |
| Verticalen: | | | | | | |
| zwischen Feld 2 u. 3 | + 172 | + 323 | + 391 | 0 | + 172 | + 714 |
| » » 3 u. 4 | + 344 | + 645 | + 782 | 0 | + 344 | + 1427 |
| Mittelverticale | + 1950 | + 3657 | + 1380 | + 2212 | + 1950 | + 5869 |
| zwischen Feld 5 u. 6 | + 344 | + 645 | 0 | + 782 | + 344 | + 1427 |
| » » 6 u. 7 | + 172 | + 323 | 0 | + 391 | + 172 | + 714 |

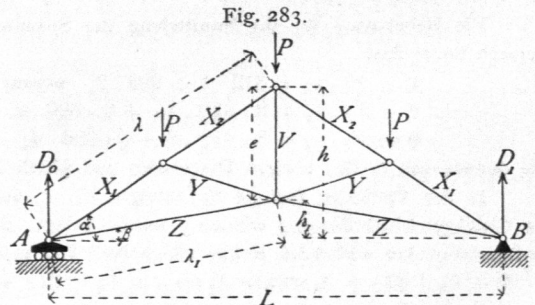
Kilogramm

b) Deutsche Dachstuhl.

222.
Ermittlung
der
Spannungen.

Der deutsche Dachstuhl ist ein englischer Dachstuhl mit nur einem Knotenpunkt in jeder Dachhälfte; man wird demnach die in demselben durch Eigenlast und volle Schneelast entstehenden Spannungen aus den Formeln für den englischen Dachstuhl ableiten können (Fig. 283).

Für die obere Gurtung ist in die Gleichungen 300 u. 301 statt 2 n die Zahl 4 einzufetzen und für m der Reihe nach 1 und 2; alsdann erhält man



$$\left. \begin{aligned} X_1 &= -\frac{3 P}{2 \cos \alpha (\operatorname{tg} \alpha - \operatorname{tg} \beta)} = -\frac{3 P \lambda}{2 e} \\ X_2 &= -\frac{P}{\cos \alpha (\operatorname{tg} \alpha - \operatorname{tg} \beta)} = -\frac{P \lambda}{e} \end{aligned} \right\} \dots \dots \dots 312.$$

Die allgemeine Gleichung 302, bzw. 303 für die untere Gurtung gilt nicht für $m = 1$ (siehe Art. 215, S. 198). Für $m = 2$ und $2n = 4$ übergeht Gleichung 302, bzw. 303 in

$$Z = \frac{3P}{2 \cos \beta (\operatorname{tg} \alpha - \operatorname{tg} \beta)} \quad \text{und} \quad Z = \frac{3P \lambda_1}{2e} \dots \dots \dots 313.$$

Für die Diagonalen giebt die Gleichung 306 für $m = 2$

$$Y = -\frac{P}{4e} \sqrt{L^2 + 4(2e - h)^2} \dots \dots \dots 314.$$

Für die Verticale ist Gleichung 308 anzuwenden, und es ergibt sich für $n = 2$

$$V = P \left(\frac{2 \operatorname{tg} \alpha}{\operatorname{tg} \alpha - \operatorname{tg} \beta} - 1 \right) = P \left(2 \frac{2h}{2h - 2h_1} - 1 \right) = P \frac{h + h_1}{e} \dots \dots \dots 315.$$

Fig. 284.

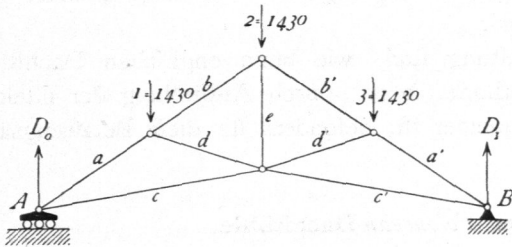


Fig. 285.

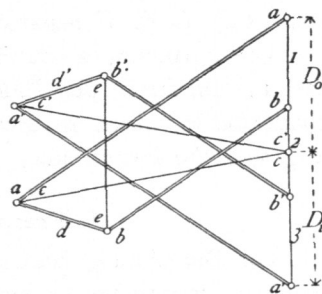


Fig. 286.

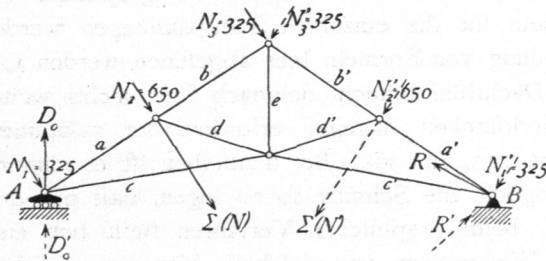


Fig. 287.

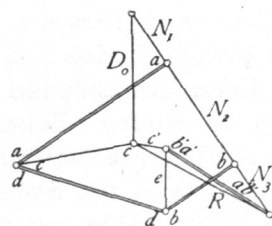
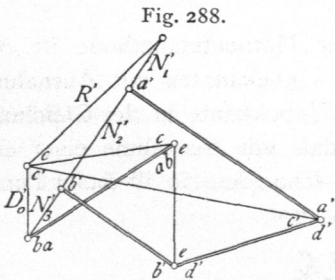


Fig. 288.



Für schiefe Belastungen durch Winddruck sind die Spannungen, wie beim englischen Dachstuhl gezeigt, zu ermitteln.

Die graphische Ermittlung der Spannungen im deutschen Dachstuhl für die Belastungen durch Eigengewicht und Winddruck von der einen, bzw. der anderen Seite zeigen Fig. 284 bis 288.

c) Dreieckdächer.

Die Aufstellung der Gleichgewichtsbedingungen für die einzelnen Knotenpunkte ergibt (Fig. 289), da $D_0 = D_1 = \frac{P}{2}$ ist, die Werthe der Stabspannungen.

Es ist $0 = X \cos \alpha + Z \cos \beta$ und $0 = D_0 + X \sin \alpha + Z \sin \beta$, woraus

$$\left. \begin{aligned} X &= -\frac{P}{2 \cos \alpha (\operatorname{tg} \alpha - \operatorname{tg} \beta)} = -\frac{P \lambda}{2 e} \\ Z &= +\frac{P}{2 \cos \beta (\operatorname{tg} \alpha - \operatorname{tg} \beta)} = \frac{P \lambda_1}{2 e} \end{aligned} \right\} \cdot 316.$$

Sowohl X , wie Z nehmen mit wachsendem e ab; für den Materialverbrauch ist also ein möglichst großes e günstig.

Ferner ist $P + V + 2 X \sin \alpha = 0$, woraus

$$V = P \frac{\operatorname{tg} \beta}{\operatorname{tg} \alpha - \operatorname{tg} \beta} = \frac{P h_1}{h - h_1} = \frac{P h_1}{e} \dots \dots \dots 317.$$

So lange h_1 positiv ist, d. h. E über der Wagrechten AB liegt, ist auch V positiv, d. h. Zug; für $h_1 = 0$ ist auch $V = 0$, d. h. wenn AEB eine gerade Linie ist, hat die Stange CE keine Spannung; wird h_1 negativ, d. h. liegt E unter der Linie AB , so ist V negativ, d. h. Druck.

Die Spannungen durch Windbelastung sind, wie beim englischen Dachstuhl gezeigt, vermittels der Ritter'schen Methode, bzw. durch Aufstellung der Gleichgewichtsbedingungen zu ermitteln. Bequemer ist, besonders für diese Belastungsart, die graphische Ermittlung.

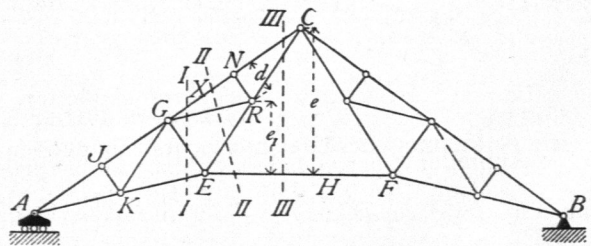
d) Französische oder Polonceau-Dachstühle.

Die Berechnung und die Construction der Stabspannungen ist hier nach Ermittlung sämtlicher äußerer Kräfte für die verschiedenen Belastungsarten in der allgemein gezeigten Weise (siehe Art. 169, S. 149) vorzunehmen; die Berechnung geschieht meistens bequem vermittels der Momentenmethode, die graphische Ermittlung nach Cremona. Die Formeln für die einzelnen Stabspannungen werden nicht einfach, so daß von der Aufstellung von Formeln hier abgesehen werden soll.

Ueber den einfachen Polonceau-Dachstuhl braucht demnach hier nichts weiter gesagt zu werden. Besondere Aufmerksamkeit dagegen erfordert der zusammengesetzte Polonceau-Dachstuhl (siehe Art. 213, S. 196). Bei demselben ist es nämlich für eine Anzahl von Stäben nicht möglich, die Schnitte so zu legen, daß nur drei Stäbe vom Schnitte getroffen werden; beim graphischen Verfahren stellt sich eine entsprechende Schwierigkeit heraus. Wir werden uns deshalb hier nur mit dem zusammengesetzten Polonceau-Dachstuhl beschäftigen.

1) Berechnung der Spannungen. Bei der Momentenmethode ist der Momentenpunkt so zu wählen, daß für denselben alle Unbekannten mit Ausnahme einer einzigen das Moment Null haben, mithin nur eine Unbekannte in der Gleichung verbleibt. Ist es möglich, den Schnitt so zu legen, daß mit Ausnahme einer einzigen sämtliche Stabrichtungen sich in einem Punkte schneiden, so ist dieser Punkt als Momentenpunkt für die

Fig. 290.



224.
Einfacher
Polonceau-
Dachstuhl.

225.
Zusammen-
gesetzter
Polonceau-
Dachstuhl.

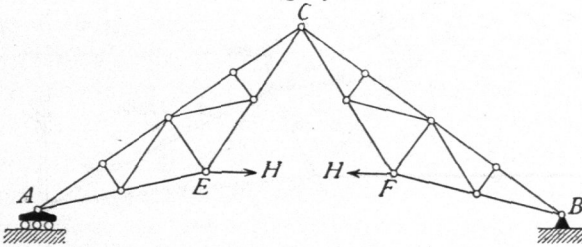
Ermittlung der Spannungen in demjenigen Stabe zu wählen, welcher nicht durch diesen Punkt geht. Trifft aber der Schnitt vier oder mehr Stäbe, von welchen sich nicht alle mit Ausnahme eines einzigen in einem

Punkte schneiden, so bleibt nichts übrig, als eine Reihe von Stabspannungen vorher zu bestimmen, um diese nicht mehr als Unbekannte in der Momentengleichung zu haben. Man bestimme also zunächst die Spannungen jener Stäbe, bei denen Schnitte möglich sind, die nur drei Stäbe treffen; diese Spannungen werden dann als Bekannte eingeführt, und es bleiben in den Momentengleichungen nur noch die gefuchten Unbekannten. Um z. B. die Spannungen in GN , GR , RE und EF , welche Stäbe durch den Schnitt $IIII$ getroffen werden, zu finden, ermittle man zunächst diejenige in EF . Man schneide nach $III III$; alsdann ist für EF der Firstpunkt C der Momenten-

punkt und demnach die Spannung H in EF leicht zu finden. Es ist $H = \frac{M}{e}$, wenn M das Biegemoment der äußeren Kräfte für C ist. Nun sind für den Schnitt $II II$ nur noch drei Unbekannte vorhanden. Um die Spannung X in GN zu bestimmen, dient die Momentengleichung für Punkt R , in welcher nur X als Unbekannte verbleibt; für die Spannung in GR ist C , für diejenige in RE ist G der conjugirte Punkt. Nachdem diese Spannungen ermittelt sind, ist für Schnitt $I I$ nur noch die Spannung in GE unbekannt, da auch diejenige in KE leicht gefunden wird; man kann demnach einen beliebigen, nicht auf der Richtungslinie von GE liegenden Punkt als Momentenpunkt annehmen.

Es empfiehlt sich, stets zuerst die Spannung H im Stabe EF zu ermitteln und dann diesen Stab durch die beiden äußeren Kräfte H in E und F (nach Fig. 291)

Fig. 291.



zu ersetzen. Natürlich sind für jede geänderte Belastung andere Werthe für H auszurechnen und einzuführen; alsdann werden, da ja EF nicht mehr als Stab vorhanden ist, meistens nur drei Stäbe getroffen werden, so dass sich die Momenten-

punkte leicht ergeben. Bemerkt werden möge noch, dass die Schnitte beliebig krumm sein können, das allgemeine Gesetz (vergl. Art. 4, S. 6) bleibt dabei gültig und damit auch das Verfahren.

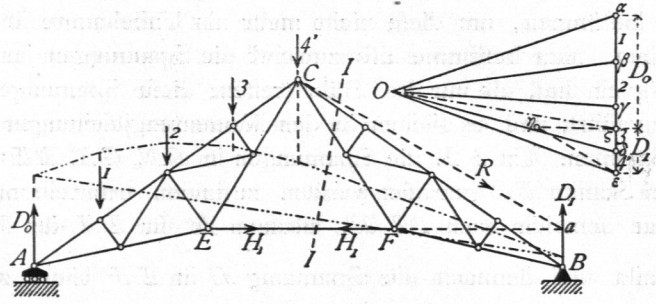
Die vorstehenden Entwicklungen gelten sowohl für lothrechte, wie für schiefe Belastungen.

Bei lothrechten Belastungen ergeben sich ferner die vollen Belastungen des ganzen Binders wiederum als die ungünstigsten; für die Diagonalen allerdings in demselben Sinne, wie oben beim englischen Dache nachgewiesen, nämlich dass bei voller Belastung auch diejenigen Punkte belastet sind, deren Belastung in den Diagonalen die Spannung Null erzeugt. Der Nachweis ist unschwer zu führen, soll aber hier, um den verfügbaren Raum nicht zu überschreiten, fortbleiben.

2) Graphische Ermittlung der Spannungen. Bei der Construction des *Cremona'schen* Kräfteplanes ergeben sich ähnliche Schwierigkeiten, wie bei der Berechnung. Wenn man nämlich beim Aneinanderreihen der kleinen Kraftpolygone bis zum Knotenpunkt E (Fig. 292) gekommen ist, so sind an diesem drei Stäbe mit nicht bekannten Spannungen; das Verfahren ist also nicht ohne Weiteres anwendbar. Die Schwierigkeit wird, ganz wie oben, dadurch beseitigt, dass man zuerst die Spannung H des Stabes EF bestimmt und dieselbe als in E , bzw. F wirkende äußere Kraft einführt. Dadurch erreicht man auch, dass die Stäbe zwischen E und C , so

wie zwischen C und F zu Randstäben werden. Bevor demnach für den zusammengefügten *Polonceau*-Dachstuhl der Kräfteplan gezeichnet werden kann, ist H zu ermitteln. Diese Ermittlung erfolgt entweder auf dem Wege der Rechnung, wie so eben gezeigt, oder besser, wenn doch alles Uebrige construirt wird, mittels Zeichnung. Wir werden das einzuschlagende Verfahren für die verschiedenen Belastungsarten zeigen.

Fig. 292.



a) Belastung durch das Eigengewicht, bzw. volle Schneelast. Man kann H vermittle der Schnittmethode bestimmen, indem man das Seilpolygon der äusseren Kräfte für einen beliebigen Pol construirt, einen Schnitt so durch den Träger legt, das aufser EF nur noch zwei Stäbe getroffen werden, den Angriffspunkt der Querkraft für diesen Schnitt sucht und nun, wie oben in Art. 174 (S. 151) gezeigt, zerlegt. Die Kraft Q wird dann sehr weit seitwärts fallen, weil der Schnitt nahe der Mitte liegt, und wenn man sich auch durch Hilfsconstructions helfen kann, so dürfte doch die folgende Construction empfehlenswerther sein.

Fig. 293.

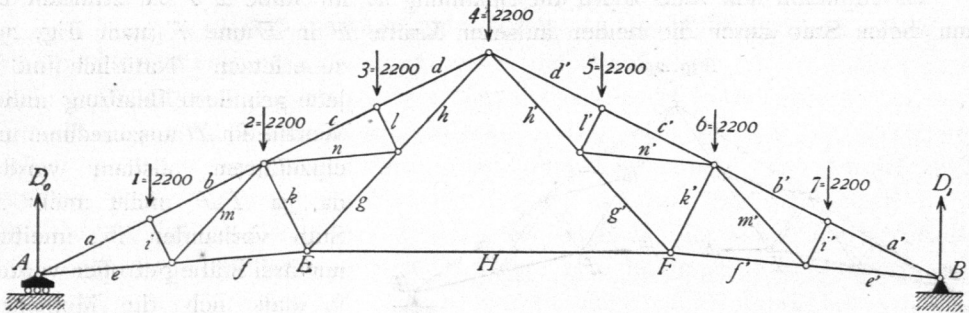


Fig. 294.

Die Spannung H im Stabe EF (Fig. 292) ist bei voller Belastung (und der hier vorausgesetzten zur Mitte symmetrischen Dachform) offenbar genau doppelt so groß, als die Spannung H_1 , welche in EF bei Belastung nur der einen Dachhälfte stattfindet. Die Größe dieser Spannung H_1 wird nun folgendermaßen ermittelt. Man legt einen Schnitt II durch das Dach derart, dass an der einen (hier der rechten) Seite desselben gar keine Lasten liegen; alsdann wirken

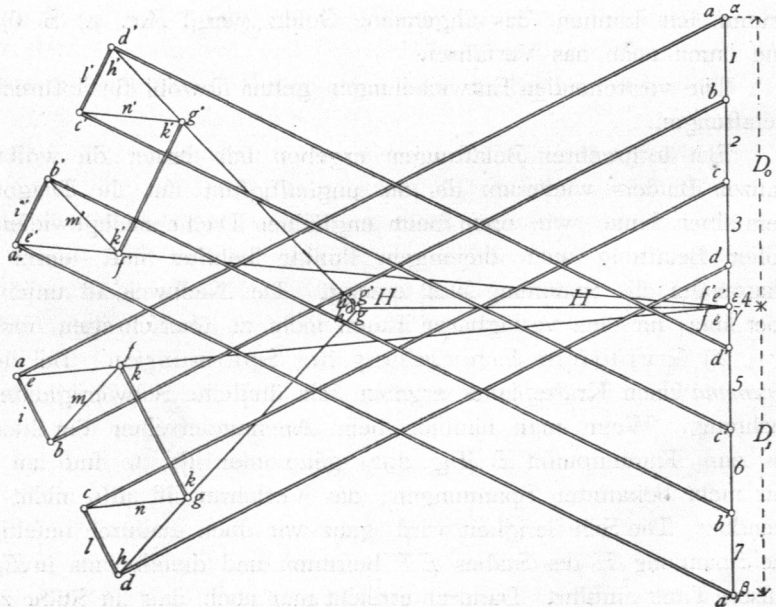


Fig. 295.

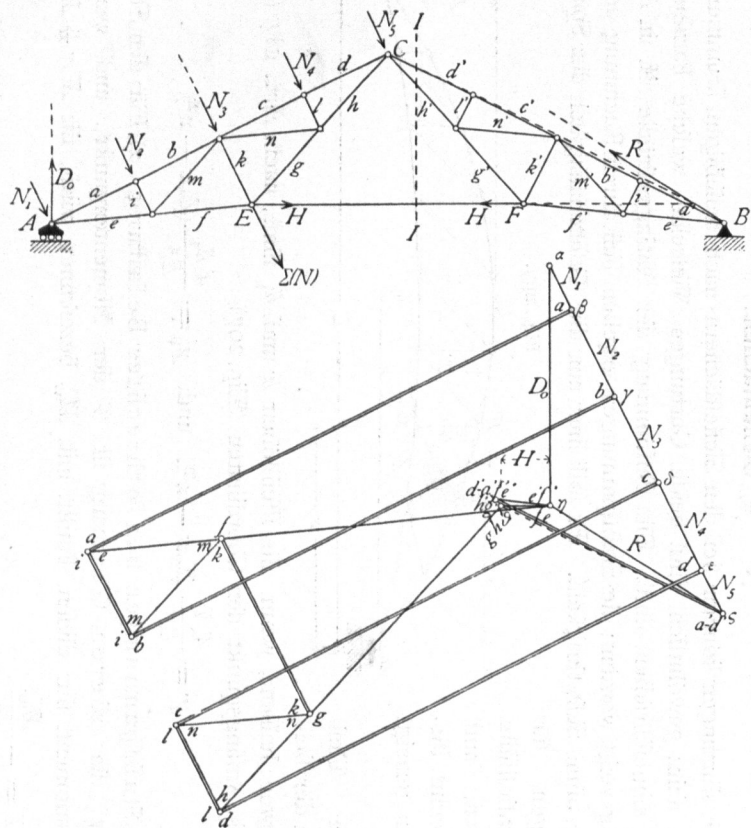
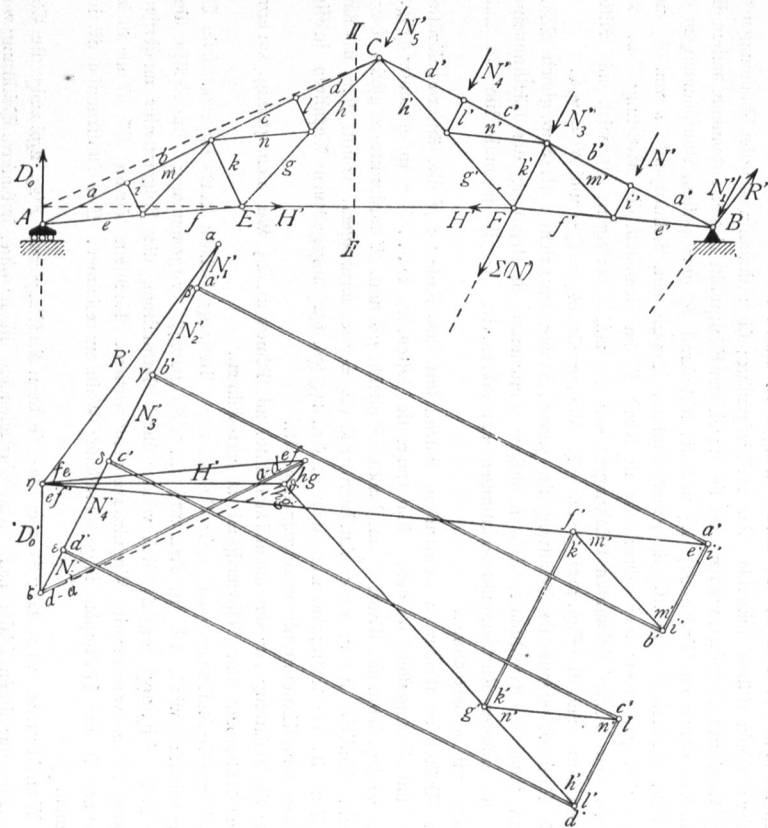


Fig. 296.



auf den Theil rechts vom Schnitte nur die Spannungen der drei durchschnittenen Stäbe und der Auflagerdruck D_1 . Zwei von diesen Stäben schneiden sich im Firstpunkte; die in ihnen wirkenden Spannungen können also durch eine Mittelkraft R ersetzt werden, welche durch den Firstpunkt C geht; demnach halten die drei auf das Bruchstück wirkenden Kräfte D_1 , H_1 und die Mittelkraft R der beiden Stabspannungen dasselbe im Gleichgewicht, schneiden sich also in einem Punkte. Durch den Schnittpunkt a von H_1 und D_1 geht also auch R ; R geht aber auch durch C ; die Kraft R hat demnach die Richtung Ca . Nun können wir D_1 nach den beiden bekannten Richtungen von H_1 und R zerlegen; D_1 wird mit Hilfe des Seilpolygons construirt und ist (Fig. 292) gleich $\varepsilon \zeta$. Man erhält $H_1 = \zeta \eta$ und $R = \eta \varepsilon$.

Die Kraft H , welche der Belastung des ganzen Daches entspricht, ist dann gleich $2 \times \zeta \eta$. Es bedarf wohl kaum der Erwähnung, daß in obiger Construction als Belastung des Firstknotenpunktes nur die Hälfte der anderen Knotenpunktsbelastungen einzuführen ist. Es ist deshalb hier die Last im Firstknotenpunkte mit ζ' bezeichnet.

Der Kräfteplan ist nun zu construiren, indem statt des Stabes EF die äußeren Kräfte H in den Punkten E und F eingeführt werden. Man trage die Lasten $\iota, \varepsilon \dots \delta, \gamma$ an einander (Fig. 294); auf γ folgt $D_1 = \beta \gamma$, dann die Kraft H im Punkte F gleich $\gamma \delta$ und H im Punkte E gleich $\delta \varepsilon$; ε fällt mit γ zusammen. Endlich ist an ε der Auflagerdruck $D_0 = \gamma \alpha$ anzutragen, womit sich das Kraftpolygon schließt. Nun ist der Kräfteplan nach dem in Art. 175 (S. 152) angegebenen Verfahren in Fig. 294 construirt, wobei vom Knotenpunkt A ausgegangen ist.

Für die Belastung nur der einen Dachhälfte mit Schnee ist H_1 , wie oben gezeigt, zu ermitteln und alsdann der Kräfteplan ohne Schwierigkeit zu verzeichnen.

β) Windbelastung von der Seite des beweglichen Auflagers. Die Ermittlung der Auflagerdrücke wird, wie in Art. 206 (S. 188) gezeigt, vorgenommen; die Größe der Kraft H (im Stabe EF , Fig. 295) ergibt sich wieder durch Betrachtung des Trägertheiles an derjenigen Seite des Schnittes II , an welcher die Winddrücke nicht wirken. Nachdem sodann die H als äußere Kräfte eingeführt sind, ist der Kräfteplan in gewöhnlicher Weise zu zeichnen. Die Construction ist in Fig. 295 vorgenommen.

γ) Winddruck von der Seite des festen Auflagers. Fig. 296 zeigt die Construction des Kräfteplanes für diesen Fall; nach dem Vorstehenden ist er ohne besondere Erklärung verständlich.

e) Sicheldächer.

Die Gurtungen können bei den Sicheldächern nach beliebigen krummen Linien geformt sein; gewöhnlich sind beide Gurtungen Vielecke, welche Parabeln oder Kreisen eingeschrieben sind. Die Bestimmung der Auflagerdrücke ist in Art. 207 (S. 189) gezeigt worden; die Stabspannungen ergeben sich durch Rechnung oder Construction ohne Schwierigkeit. Es soll hier nur die Gefetzmäßigkeit der Spannungsänderungen für das parabolische Sicheldach und für lothrechte Belastungen gezeigt werden.

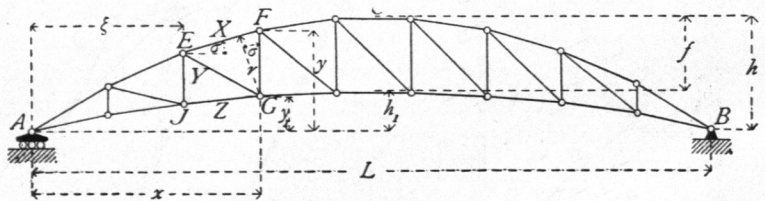
Die Gleichungen der beiden Curven heißen, wenn die Pfeilhöhen h und h_1 sind, nach Art. 187 (S. 171) für A als Anfangspunkt der Coordinaten (Fig. 297)

$$y = \frac{4h}{L^2} (Lx - x^2) \quad \text{und} \quad y_1 = \frac{4h_1}{L^2} (Lx - x^2) \quad \dots \quad 318.$$

1) Stabspannungen bei lothrechter Belastung. α) Für den Stab EF (Fig. 297) der oberen Gurtung ist G der Momentenpunkt, und wenn das Biegemoment für diesen Punkt mit M_x bezeichnet wird, ist $Xr + M_x = 0$,

woraus $X = -\frac{M_x}{r}$.

Fig. 297.



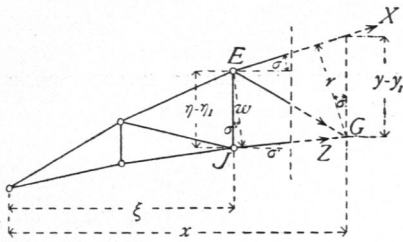
226.
Form
der
Dachbinder.

227.
Ermittlung
d. Spannungen
durch lothrechte
Belastung.

Nun ist $r = (y - y_1) \cos \sigma = \frac{4}{L^2} (h - h_1) (Lx - x^2) \cos \sigma = \frac{4}{L^2} f (Lx - x^2) \cos \sigma$;

Fig. 298.

also



$$X \cos \sigma = - \frac{M_x L^2}{4 f (Lx - x^2)} \dots 319.$$

Für den Stab $\mathcal{F}G$ der unteren Gurtung ist E der Momentenpunkt, und wenn das Biegemoment für diesen Punkt mit M_ξ

bezeichnet wird, so ist (Fig. 298) $Z = \frac{M_\xi}{w}$.

Nun ist

$$w = (\eta - \eta_1) \cos \sigma' = \frac{4}{L^2} f (L\xi - \xi^2) \cos \sigma',$$

d. h.

$$Z \cos \sigma' = \frac{M_\xi L^2}{4 f (L\xi - \xi^2)} \dots 320.$$

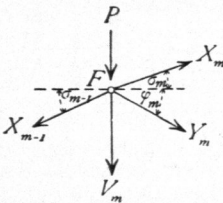
Aus den Gleichungen 319 u. 320 folgt:

a) Für volle gleichmäßige über die wagrechte Projection vertheilte Belastung p auf die Längeneinheit ist $M_x = \frac{p}{2} (Lx - x^2)$ und $M_\xi = \frac{p}{2} (L\xi - \xi^2)$, also

$$X \cos \sigma = - \frac{p L^2}{8 f} \quad \text{und} \quad Z \cos \sigma' = \frac{p L^2}{8 f}, \dots 321.$$

d. h. die wagrechten Seitenkräfte der Gurtungsspannungen sind bei der angegebenen Belastungsart in beiden Gurtungen constant, und zwar gleich dem Maximalmomente, dividirt durch die Mittenhöhe der Sichel. Bei der Parabel ist innerhalb der Grenzen, welche bei den Dächern vorkommen, $\cos \sigma$ und $\cos \sigma'$ nahezu constant. Das soeben gefundene Ergebniss stimmt mit dem in Art. 188 (S. 171) für die Parabelträger Ermittelten überein. Durch Aufstellung der Gleichgewichtsbedingung für einen Knotenpunkt der oberen Gurtung, etwa F , ergibt sich ferner (Fig. 299)

Fig. 299.



$$0 = X_m \cos \sigma_m - X_{m-1} \cos \sigma_{m-1} + Y_m \cos \varphi_m,$$

d. h.

$$0 = - \frac{p L^2}{8 f} + \frac{p L^2}{8 f} + Y_m \cos \varphi_m \quad \text{oder} \quad Y_m = 0 \dots 322.$$

Für die angegebene Belastung sind daher die Spannungen fämmtlicher Diagonalen bei den parabolischen Sieldächern gleich Null.

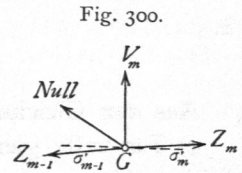
b) Alle zu den Gurtungsstäben gehörigen Momentenpunkte liegen zwischen den lothrechten Linien der Auflager A und B (Fig. 297); für alle diese Punkte sind die Biegemomente bei lothrechter Belastung positiv (siehe Art. 154, S. 134); mithin erzeugt jede lothrechte Belastung in den Stäben der oberen Gurtung Druck, in denjenigen der unteren Gurtung Zug. Maximaldruck, bzw. -Zug für lothrechte Belastung wird demnach in allen Stäben bei voller Belastung des ganzen Dachbinders stattfinden.

β) Für die Spannungen in den Diagonalen ergibt sich nach demselben Verfahren, welches in Art. 189 (S. 173) angewendet ist, um die Beanspruchungsart der Diagonalen des Parabelträgers zu ermitteln: Jede Belastung zwischen dem durch eine Diagonale gelegten lothrechten Schnitte und jenem Auflager, nach welchem die Diagonale zu fällt, erzeugt Zug in derselben; jede Belastung zwischen dem Schnitte und dem

jenigen Auflager, nach welchem die Diagonale steigt, erzeugt in derselben Druck. Maximaldruck, bezw. -Zug finden demnach statt, wenn nur die Druck-, bezw. Zugabtheilung der betreffenden Diagonalen belastet ist. Ob bei einem Dache diese verschiedenen, jedenfalls für die meisten Diagonalen überhaupt wohl nicht vorkommenden Belastungsarten der Berechnung zu Grunde gelegt werden sollen, ist fraglich; meistens dürfte es genügen, eine Belastung nur der einen Dachhälfte durch Schnee als ungünstigste lothrechte Belastung einzuführen. Die hierbei sich ergebenden Spannungen sind mittels der Ritter'schen Methode leicht zu finden.

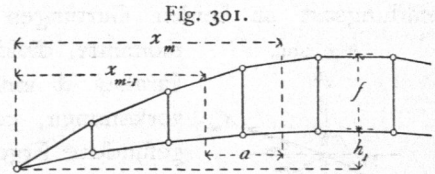
γ) Bezüglich der Spannungen in den Verticalen ergibt sich, wie oben, folgendes Gesetz: Maximaldruck, bezw. -Zug findet in einer Verticalen bei der Belastung statt, welche in derjenigen Diagonalen den größten Zug, bezw. Druck erzeugt, die mit der Verticalen in einem Knotenpunkt der nicht belasteten Gurtung zusammentrifft. Auch hier dürfte es genügen, als zufällige lothrechte Belastungen nur die Belastung des ganzen Daches und diejenige der einen Dachhälfte anzunehmen.

Bei Belastung des ganzen Dachbinders mit der gleichmäÙig über die wagrechte Projection vertheilten Belastung p ergibt sich die Spannung aller Verticalen durch Aufstellung der Gleichgewichtsbedingung für einen Knotenpunkt der unteren Gurtung. Es ist (Fig. 300), da die Spannung in der Diagonalen alsdann gleich Null ist,



$$0 = V_m + Z_m \sin \sigma'_m - Z_{m-1} \sin \sigma'_{m-1} \quad \text{und} \quad 0 = V + \frac{p L^2}{8 f} (\operatorname{tg} \sigma'_m - \operatorname{tg} \sigma'_{m-1}).$$

Wird (mit geringem Fehler) die Curve als stetig gekrümmt angesehen und werden die Richtungen der Stäbe als parallel zu den in den Mitten der unteren Gurtungsstäbe an die Parabel gelegten Tangenten eingeführt, so ist



$$\operatorname{tg} \sigma'_m = \frac{4 h_1}{L^2} (L - 2 x_m) \quad \text{und} \quad \operatorname{tg} \sigma'_{(m-1)} = \frac{4 h_1}{L^2} (L - 2 x_{m-1}),$$

folglich

$$0 = V + \frac{p L^2}{8 f} \frac{4 h_1}{L^2} 2 (x_{m-1} - x_m) = V - \frac{p h_1}{f} a, \quad \text{woraus} \quad V = \frac{p h_1 a}{f} \quad 323.$$

V nimmt ab, wenn h_1 abnimmt; für $h_1 = 0$ ist $V = 0$.

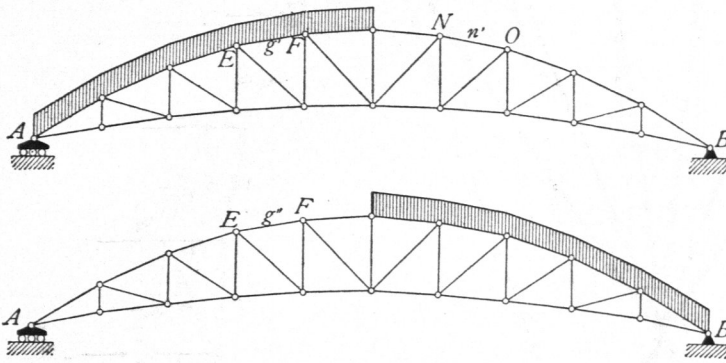
228.
Ermittlung
d. Spannungen
durch einseitige
Schneelast.

2) Stabspannungen bei einseitiger Schneebelastung. Bezüglich der Belastung durch einseitige Schneelast ist Folgendes zu beachten. Man braucht nicht für beide Belastungsarten, diejenige des ganzen Daches und diejenige der einen Dachhälfte, die Spannungen zu berechnen; vielmehr genügt für symmetrisch zur Mittelverticalen angeordnete Construction die Kenntniß der Spannungen bei einseitiger Belastung, um diejenigen zu erhalten, welche bei voller Belastung stattfinden, und gleichzeitig zu ermitteln, welche Belastungsart die gefährlichere ist. Die Belastung der linken Dachhälfte erzeugt etwa (Fig. 302) im Stabe EF die Spannung g' ; die Belastung der rechten Dachhälfte erzeugt in demselben Stabe die Spannung g'' . Die volle Belastung hat offenbar im Stabe EF die Spannung $g' + g''$ zur Folge. Liegt nun NO genau symmetrisch mit EF , so wird die Spannung n' in NO bei der ersteren Belastungsart genau so groß sein, wie g'' . Es ist aber

$$g_{total} = g' + g'' = g' + n'.$$

Die durch die Belastung des ganzen Daches in einem Stabe entstehende Spannung ist also gleich der Summe derjenigen Spannungen, die durch Belastung der einen Dachhälfte in dem betrachteten Stabe und in dem symmetrisch zur Mitte liegenden Stabe entstehen. Wenn die symmetrisch zur Mitte liegenden Stäbe bei der Belastung einer Dachhälfte in gleichem Sinne beansprucht werden, also beide Zug oder beide Druck erhalten, so ist die Summe dieser Spannungen größer, als jede einzelne,

Fig. 302.



d. h. die volle Belastung des Daches ist ungünstiger, als die einseitige. Werden beide Stäbe in entgegengesetztem Sinne beansprucht, so ist die Summe beider kleiner, als die grössere von beiden, demnach die einseitige Belastung als ungünstigere einzuführen. Dabei ist zu beachten, dass in letzterem Falle beide Stabspannungen als un-

günstige einzuführen sind, da nicht nur die Maximal-, sondern auch die Minimalspannungen von Wichtigkeit sind. Wenn ein Mittelfeld mit zwei sich kreuzenden Zugdiagonalen vorhanden ist, so gilt die vorstehende Entwicklung ebenfalls; jedoch ist stets nur diejenige Diagonale des Mittelfeldes als vorhanden zu betrachten, welche bei der betreffenden Belastung Zug erleidet.

Was soeben vom Sieldach angegeben wurde, gilt selbstverständlich von jedem aus zwei symmetrischen Hälften zusammengesetzten Dachstuhl.

3) Stabspannungen bei Belastung durch Winddruck. Die durch Windbelastung entstehenden Stabspannungen sind sowohl für den Fall, dass der Wind von der Seite des beweglichen Auflagers kommt, wie für den Fall zu ermitteln, dass der Wind von der Seite kommt, an welcher das feste Auflager liegt. Die Berechnung ist nach Früherem leicht durchzuführen.

4) Gegendiagonalen. Aus dem Belastungsgesetz für die Diagonalen geht hervor, dass jede Diagonale sowohl Zug, wie Druck erhalten kann; will man dies vermeiden, so sind Gegendiagonalen anzuwenden, worüber das im Kapitel »Träger« (Art. 184, S. 167) Gefagte auch hier gilt.

Beispiel. Für das nachstehend näher beschriebene Sieldach sind in Fig. 303 bis 305 die Stabspannungen ermittelt, und zwar zeigt Fig. 303 den Binder und die Spannungsermittlung für Belastung durch das Eigengewicht, Fig. 304 die Spannungen für einseitige Schneelast, Fig. 305 diejenigen für Windbelastung von der Seite des beweglichen, bezw. festen Auflagers.

Die Hauptmaße und Belastungen des Dachstuhles sind: Stützweite $L = 24$ m; Anzahl der Felder gleich 6; Feldweite gleich 4 m; Pfeilhöhe der oberen Parabel $h = 4,8$ m, der unteren Parabel $h_1 = 2,4$ m; die Binderweite ist 4,2 m; die Dachdeckung Eisenwellblech auf Eisenpfetten.

Die Ordinaten der beiden Parabeln ergeben sich aus den Gleichungen 318:

| | | | | | |
|-----------|------|------|-----|------|---------|
| für $x =$ | 4 | 8 | 12 | 16 | 20 m |
| ist $y =$ | 2,67 | 4,27 | 4,8 | 4,27 | 2,67 m, |
| $y_1 =$ | 1,33 | 2,13 | 2,4 | 2,13 | 1,33 m. |

Ferner ist $\operatorname{tg} \alpha_1 = \frac{2,67}{4} = 0,6675, \operatorname{tg} \alpha_2 = \frac{4,27 - 2,67}{4} = 0,4, \operatorname{tg} \alpha_3 = \frac{4,8 - 4,27}{4} = 0,1325;$

$\alpha_1 = \infty 33^{\circ} 40', \alpha_2 = \infty 22^{\circ}, \alpha_3 = \infty 7^{\circ} 30';$

$\lambda_1 = \sqrt{4^2 + 2,67^2} = 4,81 \text{ m}, \lambda_2 = \sqrt{4^2 + 1,6^2} = 4,31 \text{ m}, \lambda_3 = \sqrt{4^2 + 0,53^2} = 4,04 \text{ m}.$

Die Belastung durch das Eigengewicht beträgt für 1 qm wagrechter Projection der Dachfläche 42 kg, demnach für den Knotenpunkt $G = 4,0 \cdot 4,2 \cdot 42 = 705,6 = \infty 700$ kg; die Belastung durch Schnee für den Knotenpunkt $S = 4 \cdot 4,2 \cdot 75 = 1260$ kg; die Belastung durch Winddruck ergibt sich nach Gleichung 7 folgendermassen:

für $\alpha_1 = 33^{\circ} 40', \alpha_2 = 22^{\circ}, \alpha_3 = 7^{\circ} 30'$
 $v = 83 \text{ kg}, v = 64 \text{ kg}, v = 36 \text{ kg},$
 $N = 4,2 \lambda_1 \cdot 83 = \infty 1680 \text{ kg}, N_2 = 4,2 \lambda_2 \cdot 64 = \infty 1160 \text{ kg}, N_3 = 4,2 \lambda_3 \cdot 36 = \infty 610 \text{ kg}.$

229. Ermittlung d. Spannungen durch Winddruck.

230. Gegendiagonalen.

231. Beispiel.

Fig. 303.

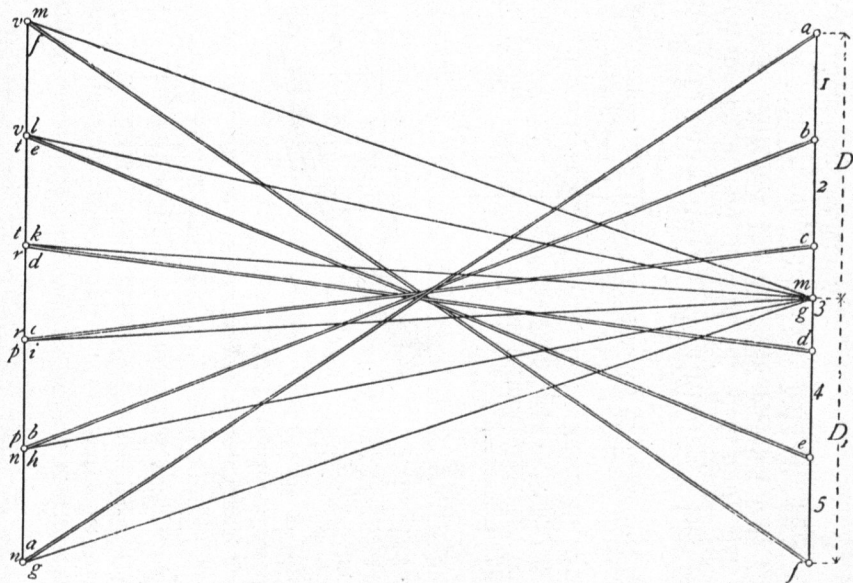
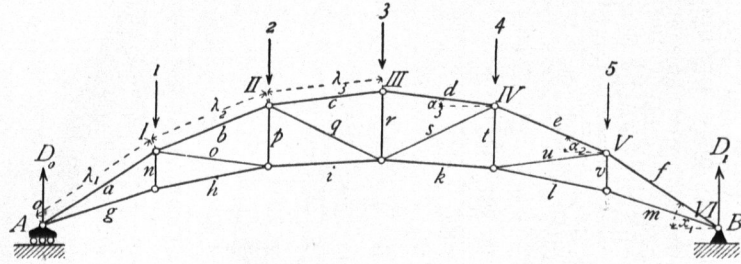


Fig. 304.

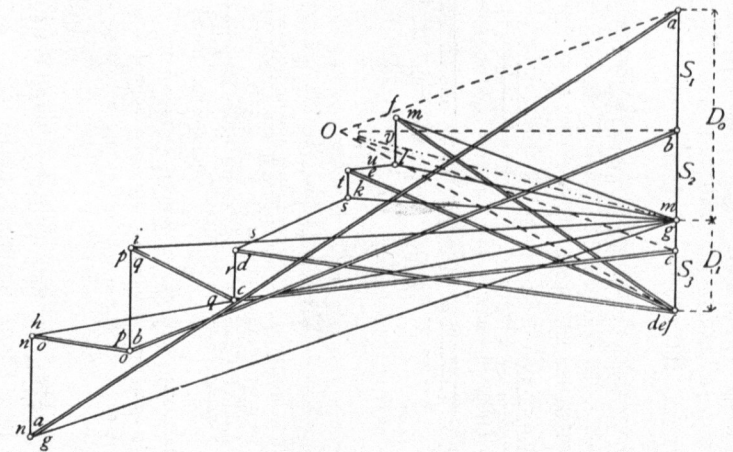
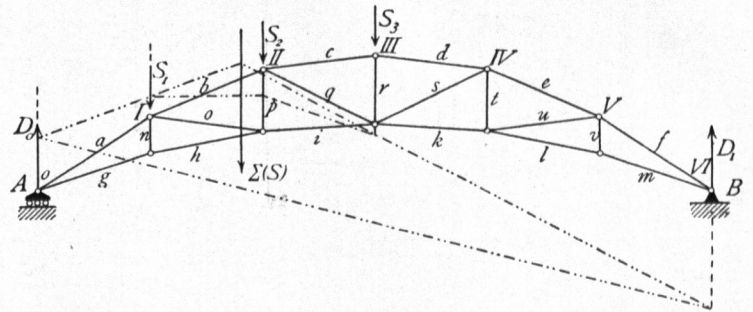
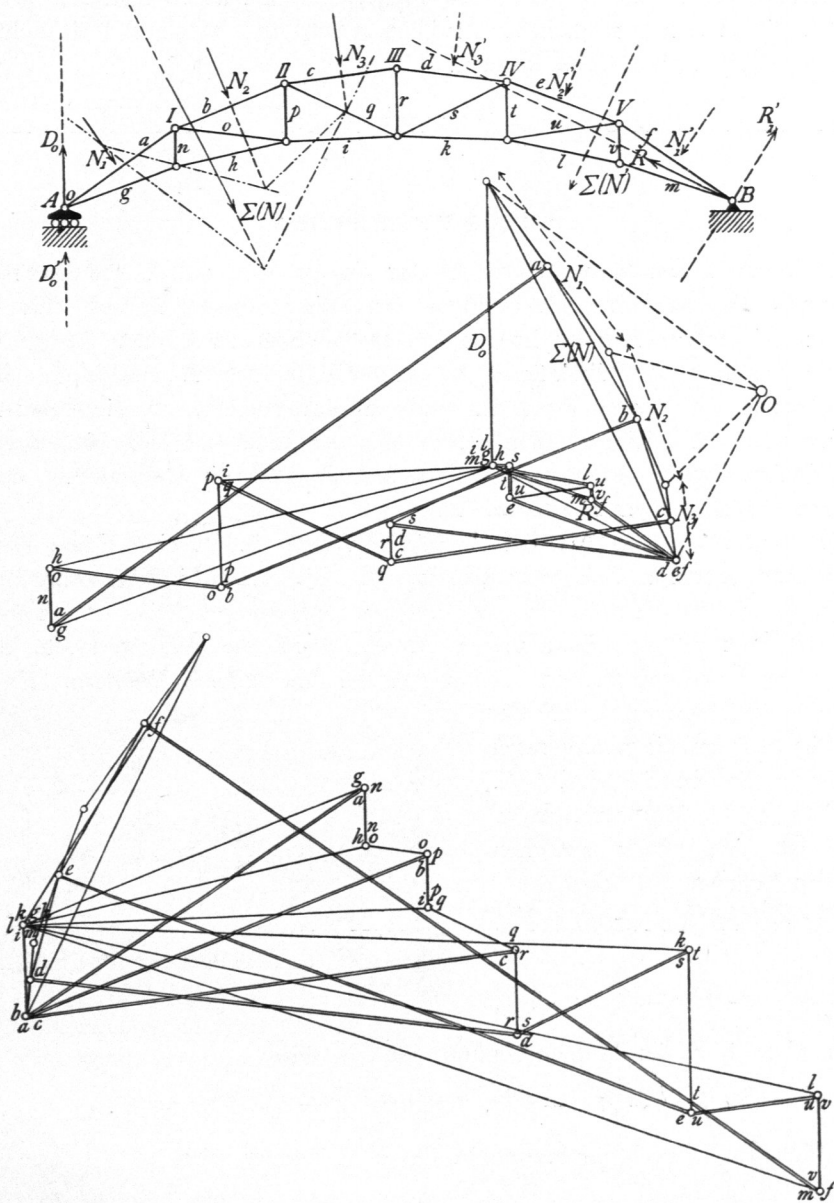


Fig. 305.



Aus den Werthen von N_1 , N_2 und N_3 ergeben sich leicht die Knotenpunktsbelastungen. Von N_1 kommt die Hälfte auf den Knotenpunkt o , die andere Hälfte auf den Knotenpunkt I ; ähnlich verhält es sich mit II und III . Die beiden in einem Knotenpunkte (I , bzw. II) wirkenden Lasten sind alsdann leicht zu einer Mittelkraft zu vereinigen, wie in Fig. 305 geschehen.

f) Pultdächer.

Die Pultdächer sind Balkendächer, welche man sich aus den Satteldächern, bzw. Tonnendächern dadurch entstanden denken kann, daß die Hälfte an der einen Seite der lothrechten Mittelaxe fortgelassen ist. Die Ermittlung der Be-

lastungen, der Auflagerdrücke und der inneren Spannungen, sei es auf dem Wege der Rechnung, sei es auf dem der Construction, ist genau in derselben Weise vorzunehmen, die in den vorstehenden Artikeln gezeigt ist, weshalb hier nicht weiter darauf eingegangen zu werden braucht.

3. Kapitel.

Sprengwerksdächer.

233.
Ungünstigste
Belastung.

Entsprechend den Bemerkungen in Art. 203 (S. 187) u. Art. 228 (S. 216) sollen als ungünstigste lothrechte Belastungen nur die Schneebelastung des ganzen Daches und diejenige einer Dachhälfte der Berechnung zu Grunde gelegt werden, ferner die einseitige Windbelastung als ungünstigste schiefe Belastung. Bei der Schneebelastung ist sodann für jeden Stab zu untersuchen, ob die Belastung des ganzen Daches oder diejenige der einen oder der anderen Hälfte die ungünstigere ist. Zu diesem Zwecke genügt nach Art. 228 (S. 216) die Bestimmung der Stabspannungen bei einseitiger Schneebelastung.

Aus der Größe und Art der Beanspruchungen sämtlicher Stäbe bei dieser Belastung sind alsdann, wie dort gezeigt ist, die ungünstigsten lothrechten Belastungen, so wie die Größen der ungünstigsten Spannungen leicht zu ermitteln.

234.
Berechnung
der
Spannungen.

Die Berechnung der Spannungen erfolgt, wenn die Auflagerkräfte ermittelt sind, nach der Momentenmethode genau, wie bei den anderen Dächern. Es handle

sich für eine beliebige lothrechte Belastung (Fig. 306) um die Spannungen X, Y, Z in den Stäben EF, EK, GK . Für EF ist K der Momentenpunkt, und für das Trägerstück zwischen A und dem Schnitte II wird $0 = Vx - Hu - P_4(x - \eta_4) + Xr$, woraus

$$X = -\frac{1}{r} [Vx - Hu - P_4(x - \eta_4)].$$

Für GK ist E der Momentenpunkt, und es wird

$$0 = Vx' - Hv - Zz, \text{ woraus } Z = \frac{1}{z} (Vx' - Hv).$$

Endlich ist \mathcal{F} der Momentenpunkt für EK , und es wird

$$0 = Vw - Hd - P_4(w - \eta_4) - Yy, \text{ woraus } Y = \frac{1}{y} [Vw - Hd - P_4(w - \eta_4)].$$

Man kann auch, was oft einfacher ist, die Gleichgewichtsbedingung für das Trägerstück zwischen C und dem Schnitte II aufstellen; selbstverständlich ergeben sich dieselben Resultate.

Für schiefe Belastungen ist das Verfahren genau das gleiche.

235.
Graphische
Ermittlung
der
Spannungen.

Sollen die Spannungen auf graphischem Wege ermittelt werden, so wird, nachdem für die angenommenen Belastungen die Lagerkräfte der Punkte A und B ermittelt sind, für jede Hälfte der Kräfteplan nach *Cremona* in mehrfach erörterter Weise construirt. In Fig. 307, 308 u. 309 sind diese Kräftepläne für Belastung durch Eigengewicht, einseitige Schneelast und Winddruck construirt.

Fig. 306.

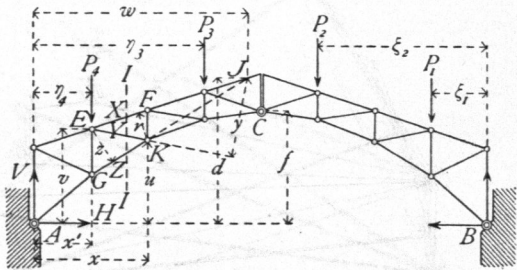


Fig. 307.

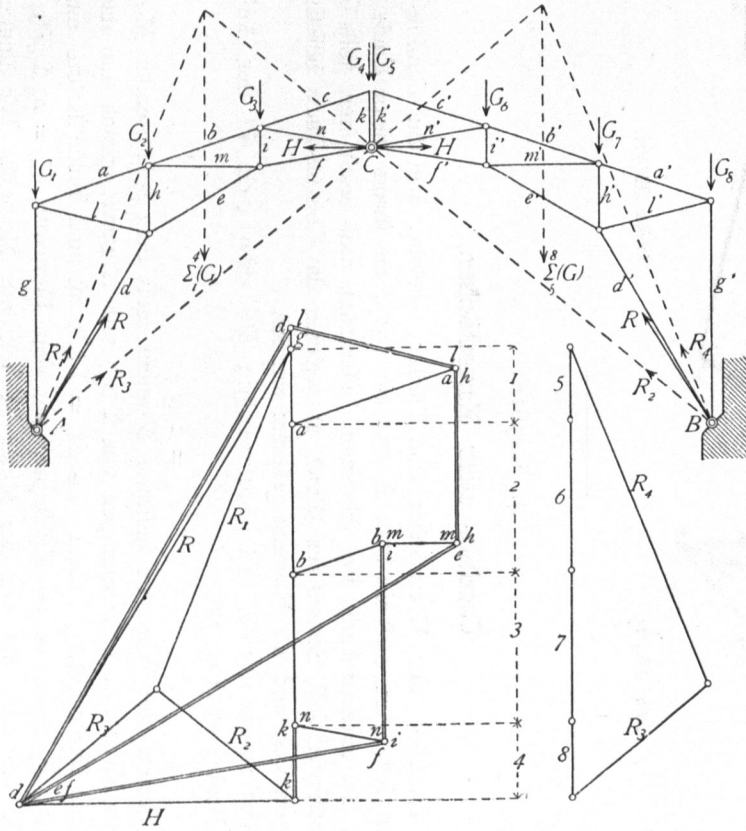


Fig. 308.

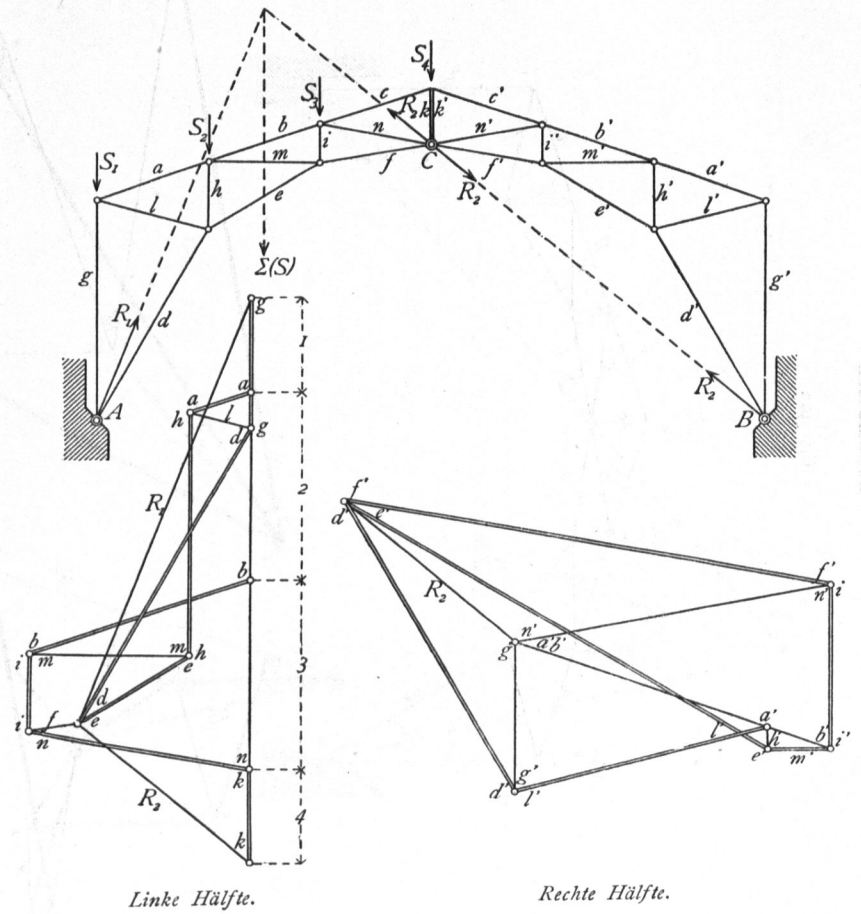
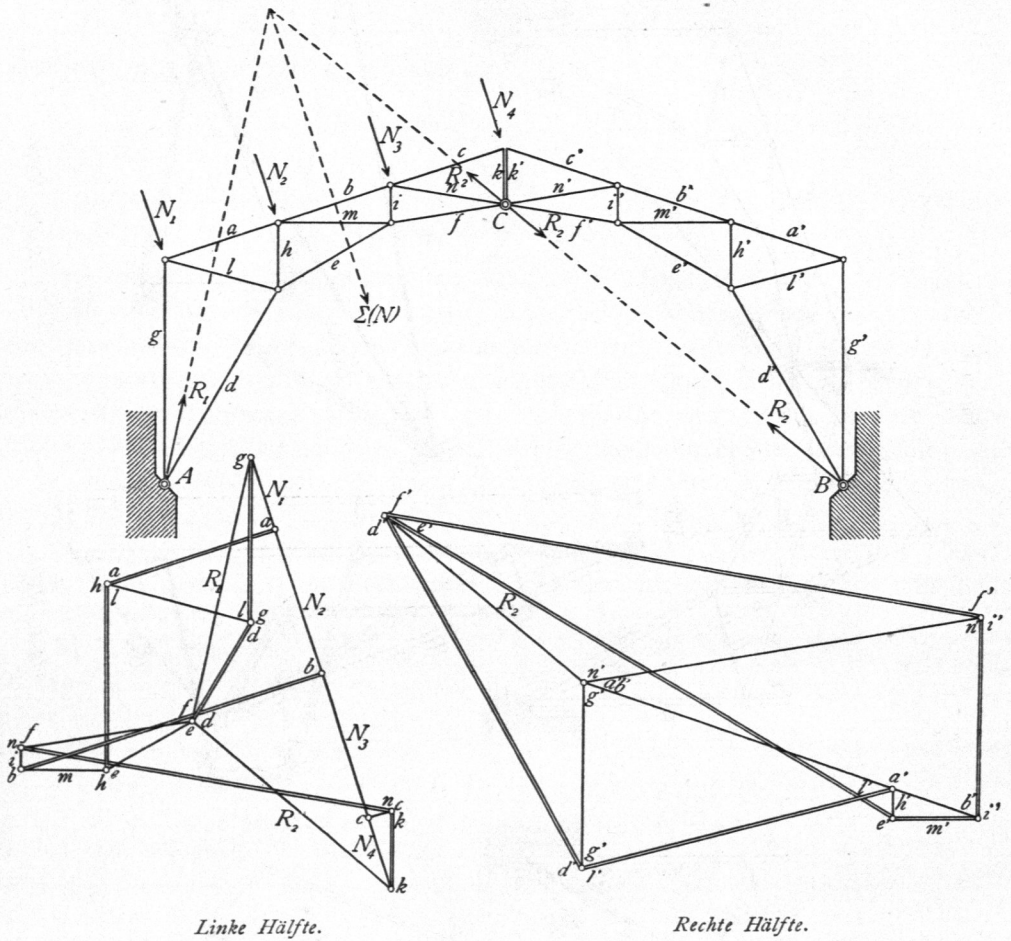


Fig. 309.



4. Kapitel.

Console- oder Kragdächer.

236.
Auflager-
drücke.

Die Console- oder Kragdächer sind Dächer, welche, wie die Console- oder Kragträger (siehe Art. 156 bis 159, S. 135 bis 137), an ihrem einen Ende unterstützt sind, am anderen Ende frei schweben. Demnach muss auch hier, falls Gleichgewicht stattfinden soll, Seitens der Wand, an welcher das Console-Dach befestigt ist, ein Auflagerdruck und ein Moment geleistet werden.

1) Auflagerdrücke. Für lothrechte Belastungen ist der Auflagerdruck im Punkte A (Fig. 310)

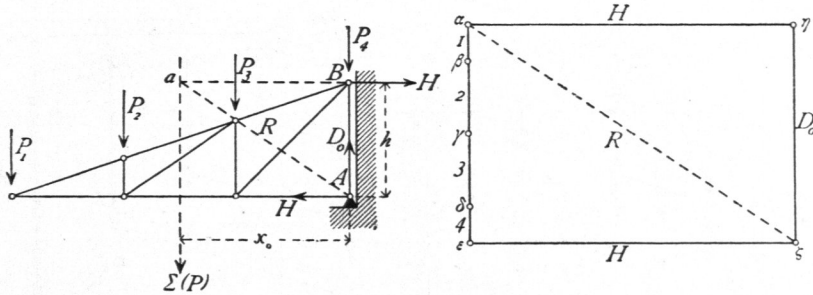
$$D_0 = \Sigma (P) \dots \dots \dots 324.$$

Das Seitens der Wand zu leistende Moment muss dem resultirenden Momente der äusseren Kräfte, d. h. demjenigen von $\Sigma (P)$ und A genau gleich sein und entgegengesetzte Drehrichtung haben. Da $D_0 = \Sigma (P)$ ist und beide Kräfte einander parallel sind, so bilden sie ein Kräftepaar mit dem Momente $M_0 = x_0 \Sigma (P)$. Dieselbe Grösse hat also das von der Mauer zu leistende Moment. Wir denken uns

diefes Moment durch zwei gleiche, parallele und entgegengesetzt gerichtete Kräfte H in den Punkten A und B gebildet; alsdann ist $H h = M_0 = x_0 \Sigma (P)$ und daraus

$$H = \frac{\Sigma (P) x_0}{h} \dots \dots \dots 325.$$

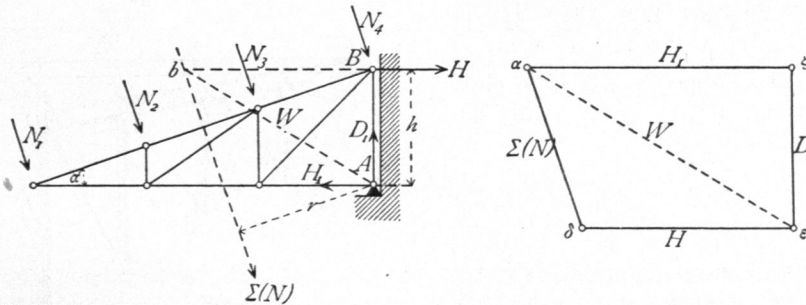
Fig. 310.



Ueber die Ermittlung von D_0 auf graphischem Wege braucht nichts weiter gefagt zu werden. Um H zu construiren, suche man die Mittelkraft von $P_1, P_2, P_3 \dots$ auf bekannte Weise; alsdann wirken auf das Dach 4 Kräfte: $\Sigma (P), D_0, H$ im Punkte A und H im Punkte B . Fassen wir je zwei von diesen vier Kräfte zu einer Mittelkraft zusammen, so geht die Mittelkraft von H und D_0 durch A , diejenige von $\Sigma (P)$ und der in B wirkenden Kraft H durch a ; beide halten das Dach im Gleichgewicht; ihre Richtungen fallen also in eine gerade Linie, in die Linie $a A$. Man trage fonach die Lasten $1, 2, 3 \dots$ an einander zu $\alpha \varepsilon$, ziehe durch α eine Linie parallel zur Richtung von R , durch ε eine Linie parallel zur Richtung von H ; alsdann ist $\varepsilon \zeta = H$ und $\zeta \alpha = R$. Um nun das Kraftpolygon der äußeren Kräfte zu vervollständigen, trage man an ζ die Kraft $D_0 = \zeta \eta = \alpha \varepsilon$ und an η das in A angreifende $H = \eta \alpha$. Damit schließt sich das Kraftpolygon.

Bei der Belastung durch Winddruck (Fig. 311) entsteht im Punkte A ein schiefer Stützendruck, welcher in eine lothrechte Seitenkraft D_1 und eine wagrechte

Fig. 311.



Seitenkraft H_1 zerlegt werden kann. Auferdem muß von der Wand ein Moment geleistet werden, welches in Bezug auf A als Momentenpunkt demjenigen der Windlasten gleich, der Drehrichtung nach entgegengesetzt ist. Um dieses Moment zu erzeugen, bringen wir in B eine Kraft H an, welche sich aus der Bedingung bestimmt

$$0 = H h - \Sigma (N) r, \text{ woraus } H = \frac{r}{h} \Sigma (N).$$

Es wird ferner

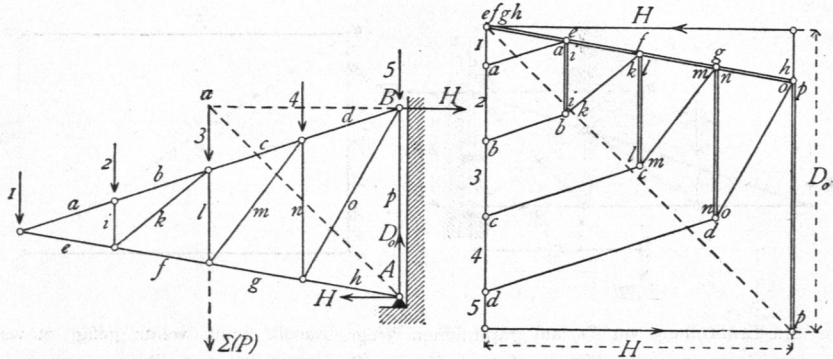
$$D_1 = \Sigma (N) \cos \alpha \quad \text{und} \quad H_1 = H + \Sigma (N) \sin \alpha = \Sigma (N) \left(\frac{r}{h} + \sin \alpha \right)$$

} . 326.

Die Construction der Kräfte H_1 , D_1 und H erfolgt in ähnlicher Weise, wie bei lothrechter Belastung. Man vereinigt $\Sigma(N)$ und die in B angreifende Kraft H zu einer Mittelkraft, welche durch b geht, und H_1 mit D_1 zu einer zweiten Mittelkraft, welche durch A geht. Beide Kräfte halten das Dach im Gleichgewicht, haben also die Richtung bA , bzw. Ab .

Ist $\alpha \delta = \Sigma(N)$, so ziehe man durch δ eine Parallele zur Richtung von H , durch α eine Parallele

Fig. 312.



zur Richtung von W ; man erhält als Schnittpunkt ε , und es ist $\delta \varepsilon = H$, $\varepsilon \alpha = W$. Nun zerlege man $\varepsilon \alpha$ in D_1 und H_1 , so wird $\varepsilon \zeta = D_1$, $\zeta \alpha = H_1$.

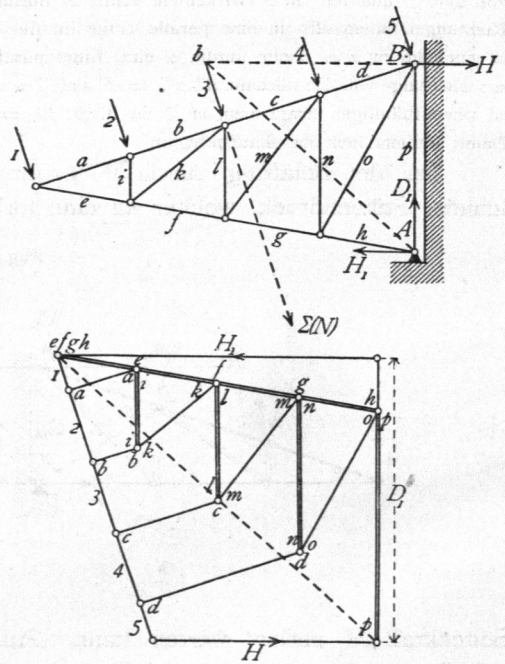
237.
Stab-
spannungen.

2) Stabspannungen. Um die Stabspannungen zu ermitteln, sind hier nur Belastung durch das Eigengewicht, durch volle Schnee- und volle Windbelastung in das Auge zu fassen.

Die Berechnung für die verschiedenen möglichen Formen ist nach der Momentenmethode ohne Schwierigkeit durchzuführen, und zwar sowohl wenn die Lasten lothrecht, als wenn sie senkrecht zur Dachfläche gerichtet sind; es braucht darauf hier nicht weiter eingegangen zu werden.

Das graphische Verfahren ist in Fig. 312 u. 313 für einen Console-Dachstuhl, und zwar für Belastung durch Eigengewicht und durch Winddruck, durchgeführt. Zuerst sind die äußeren Kräfte, wie oben gezeigt, ermittelt, in der Reihenfolge der Knotenpunkte an einander getragen und dann ist der Kräfteplan construirt, der ohne Weiteres verständlich ist.

Fig. 313.



5. Kapitel.

Kuppel-, Zelt- und Thurmdächer.

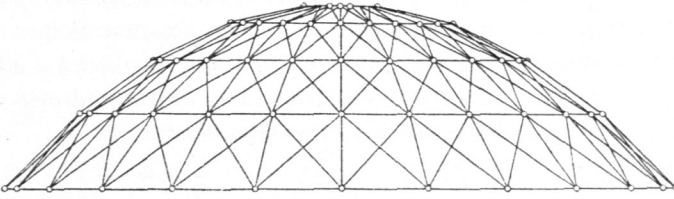
a) Kuppeldächer.

Die Kuppelfläche entsteht durch Drehung einer Curve um eine lothrechte Mittelaxe; sie ist also eine Umdrehungsfläche.

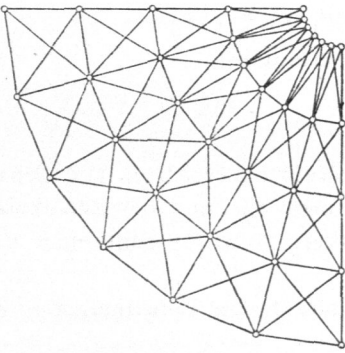
^{238.}
Allgemeines.

Während man früher die Kuppeldächer aus einer Anzahl radial gestellter

Fig. 314.



Binder construirte, sind bei den neueren, von *Schwedler* erfundenen und vielfach mit bestem Erfolg ausgeführten Kuppeldächern sämmtliche Constructions- theile in die Kuppelfläche verlegt. Eine



Anzahl von Sparren wird in der Richtung der Meridiane der Kuppelfläche angeordnet und in verschiedenen Höhen durch wagrechte Ringe mit einander verbunden; letztere sind den Parallelkreisen der Kuppelfläche eingeschriebene Vielecke. In den so entstehenden Vierecken sind alsdann, wegen der ungleichmäßigen Belastung, noch Diagonalen angeordnet, und zwar gekreuzte Zugdiagonalen. Gewöhnlich ist eine Belastung der Kuppelmitte durch eine fog. Laterne vorhanden. Die ganze Construction bildet demnach ein der Kuppelfläche

eingeschriebenes Polyeder; in Fig. 314 sind Ansicht und Grundriss derselben dargestellt.

1) Belastungen und Auflagerdrücke.

Die hier zu betrachtenden Kuppeln sind so flach, daß der Winddruck nur von geringer Bedeutung ist; derselbe soll deshalb, unter Zugrundelegung einer mittleren Dachneigung, in allen Theilen der Kuppel constant angenommen werden. Es genügt ferner, nur die lothrechte Seitenkraft v (vergl. Art. 28, S. 22) des Winddruckes zu berücksichtigen; die in die Dachfläche fallende Seitenkraft kann vernachlässigt werden. Endlich ist es empfehlenswerth, alle Belastungen auf das Quadratmeter der Grundfläche, also der wagrechten Projection des Daches, zu beziehen.

^{239.}
Belastungen.

Auch hier greifen die Lasten in den Knotenpunkten der Construction an; es sind demnach die auf die einzelnen Knotenpunkte entfallenden Flächen zu berechnen und mit diesen die Belastungen für die Einheit der Grundfläche zu multipliciren.

Wären keine Ringe angeordnet, so würden die einzelnen Sparren schiefe Drücke auf die Auflager ausüben und von diesen erleiden; durch einen Ring, gegen

^{240.}
Auflager-
drücke.

welchen sich sämtliche Sparrenfüße setzen, den fog. Mauerring, werden die wagrechten Seitenkräfte der in den untersten Sparrenstäben (S_4 in Fig. 315) vorhandenen Spannungen aufgehoben, so dafs als Auflagerdrücke nur lothrechte Kräfte wirken. Entsprechend den im folgenden Artikel vorzuführenden Annahmen braucht die Berechnung der Auflagerdrücke nur für Belastungen vorgenommen zu werden, bei welchen ganze Ringzonen belastet sind. Wenn der Grundriß der Kuppel ein regelmäfsiges n -Eck ist und demnach n Sparren vorhanden sind, so kann angenommen werden, dafs bei den erwähnten Belastungen alle Sparren gleiche Lasten tragen. Die Kuppel trage eine Laterne, deren Gewicht im Eigengewicht der ersten Ringzone mit enthalten sei. Die Eigengewichte der ganzen Ringzonen seien bezw. (Fig. 315) $G_1, G_2, G_3, G_4 \dots$, die zufälligen Lasten der ganzen Ringzonen $P_1, P_2, P_3, P_4 \dots$; alsdann ist, wenn der Stützdruck auf jeden Sparren D_0 beträgt, für volle Belastung der ganzen Dachfläche

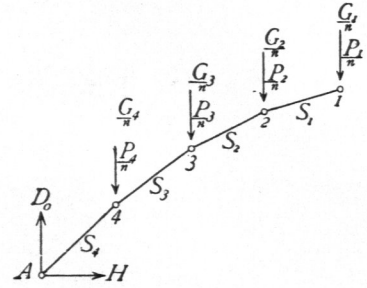


Fig. 315.

$$n D_0 = G_1 + G_2 + G_3 + G_4 + \dots + P_1 + P_2 + P_3 + P_4 + \dots = \Sigma(G) + \Sigma(P).$$

Wenn etwa nur die drei obersten Zonen voll belastet sind, so wird

$$n D_0 = G_1 + G_2 + G_3 + G_4 + \dots + P_1 + P_2 + P_3.$$

fein. Auf diese Art sind die Auflagerdrücke leicht zu ermitteln.

2) Stabspannungen.

241.
Berechnung
der Stab-
spannungen.

α) Ungünstigste Beanspruchung der einzelnen Stäbe. Die genaue Untersuchung der für jeden Stab ungünstigsten Belastungsweise und die Berechnung der dabei entstehenden Beanspruchungen ist sehr schwierig, da die elastischen Verschiebungen der einzelnen Punkte in Frage kommen.

Es sollen deshalb, nach *Schwedler*, für die Grenzen der Spannungen die folgenden vereinfachenden Annahmen gemacht werden:

a) die Sparren erhalten den Maximaldruck, wenn die ganze Kuppel voll belastet ist;

b) ein Ring erhält seinen Maximalzug, wenn der innerhalb desselben befindliche Kuppeltheil voll belastet, der Ring selbst mit seiner Zone aber unbelastet ist; bei der entgegengesetzten Belastungsart treten die entgegengesetzten Grenzen ein;

c) die Diagonalen zwischen zwei Sparren erhalten ihren grössten Zug, wenn die halbe Kuppel auf einer Seite des durch die Mitte der Diagonalen gehenden Durchmessers voll, die andere halbe Kuppel nur durch das Eigengewicht belastet ist.

β) Spannungen in den Sparren. Wir betrachten nur zwei Belastungsarten, nämlich die Belastung der ganzen Kuppel durch zufällige Last und die Belastung der Kuppel durch Eigengewicht. Die zweite Belastungsart ergibt die Minimalspannungen. Die Maximalspannungen der Sparren sind gleich den Summen der bei den beiden angeführten Belastungsarten sich ergebenden Spannungen. Die Formeln für beide Belastungsarten unterscheiden sich nur durch die Grösse der Lasten.

Was zunächst die zufällige Belastung betrifft, so sind im m -ten Knotenpunkte (vom Laternenringe an gerechnet) in E (Fig. 316 u. 317) folgende Kräfte

Fig. 316.

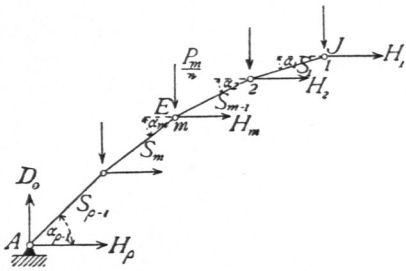
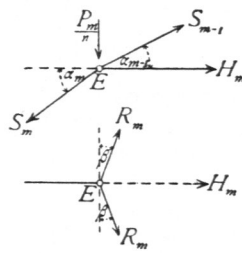


Fig. 317.



im Gleichwichte: die Spannungen der Sparren S_{m-1} und S_m , die Laft $\frac{1}{n} P_m$, endlich die beiden Ringspannungen R_m . Letztere sind einander, der Symmetrie wegen, gleich und haben in der wagrechten Ebene des m -ten

Ringes die Mittelkraft H_m . Die algebraische Summe der den Punkt E ist gleich Null; mithin

$$0 = \frac{1}{n} P_m + S_m \sin \alpha_m - S_{m-1} \sin \alpha_{m-1},$$

woraus

$$S_m = \frac{S_{m-1} \sin \alpha_{m-1}}{\sin \alpha_m} - \frac{1}{n} \frac{P_m}{\sin \alpha_m}.$$

Für den ersten Knotenpunkt, den Knotenpunkt am Laternenringe, für \mathcal{F} , ist $S_{m-1} = 0$; mithin folgt der Reihe nach für $m = 1, 2, 3 \dots$

$$S_1 = -\frac{1}{n} \frac{P_1}{\sin \alpha_1}; \quad S_2 = -\frac{1}{n} \frac{P_1 \sin \alpha_1}{\sin \alpha_1 \sin \alpha_2} - \frac{1}{n} \frac{P_2}{\sin \alpha_2} = -\frac{P_1 + P_2}{n \sin \alpha_2};$$

$$S_3 = -\frac{P_1 + P_2}{n \sin \alpha_2} \frac{\sin \alpha_2}{\sin \alpha_3} - \frac{1}{n} \frac{P_3}{\sin \alpha_3} = -\frac{P_1 + P_2 + P_3}{n \sin \alpha_3},$$

oder allgemein

$$S_m = -\frac{1}{n \sin \alpha_m} \sum_1^m (P) \dots \dots \dots 327.$$

Eben so ergibt sich die Spannung in den Sparren für eine Belaftung durch das Eigengewicht zu

$$S_1' = -\frac{G_1}{n \sin \alpha_1}; \quad S_2' = -\frac{(G_1 + G_2)}{n \sin \alpha_2}; \dots S_m' = -\frac{\sum_1^m (G)}{n \sin \alpha_m} \dots 328.$$

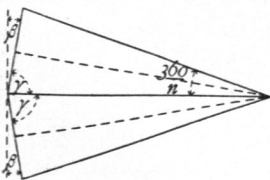
γ) Spannungen in den Ringen. Die Gleichgewichtsbedingung, nach welcher die algebraische Summe der wagrechten Kräfte im Punkte E gleich Null ist, lautet (Fig. 317):

$$0 = H_m + S_{m-1} \cos \alpha_{m-1} - S_m \cos \alpha_m, \text{ woraus } H_m = S_m \cos \alpha_m - S_{m-1} \cos \alpha_{m-1}.$$

Da H_m die Mittelkraft der beiden Ringspannungen R_m ist, so ergibt sich

$$H_m = 2 R_m \sin \beta, \text{ woraus } R_m = \frac{H_m}{2 \sin \beta}. \text{ Nun ist (Fig. 318) } \beta = \frac{360}{2n} = \frac{\pi}{n},$$

Fig. 318.



sonach $R_m = \frac{H_m}{2 \sin \frac{\pi}{n}}$. Wird in diese Gleichung der

für H_m gefundene Werth eingesetzt, so folgt

$$R_m = \frac{S_m \cos \alpha_m - S_{m-1} \cos \alpha_{m-1}}{2 \sin \frac{\pi}{n}} \dots \dots 329.$$

Wir bestimmen nach Gleichung 329 die Ringspannung durch das Eigengewicht und die Maximal- und Minimal-Ringspannung durch zufällige Belaftung.

Durch das Eigengewicht wird

$$R_m^g = \frac{-\frac{\sum_1^m (G) \cos \alpha_m}{n \sin \alpha_m} + \frac{\sum_1^{m-1} (G) \cos \alpha_{m-1}}{n \sin \alpha_{m-1}}}{2 \sin \frac{\pi}{n}},$$

$$R_m^g = -\frac{\sum_1^m (G) \cotg \alpha_m - \sum_1^{m-1} (G) \cotg \alpha_{m-1}}{2 n \sin \frac{\pi}{n}} \dots \dots \dots 330.$$

Man erhält

$$\left. \begin{aligned} \text{für den Laternenring } (m = 1): R_1^g &= -\frac{G_1 \cotg \alpha_1}{2 n \sin \frac{\pi}{n}}; \\ \text{für den Ring 2 } (m = 2): R_2^g &= -\frac{(G_1 + G_2) \cotg \alpha_2 - G_1 \cotg \alpha_1}{2 n \sin \frac{\pi}{n}}; \\ \text{für den Ring 3 } (m = 3): R_3^g &= -\frac{(G_1 + G_2 + G_3) \cotg \alpha_3 - (G_1 + G_2) \cotg \alpha_2}{2 n \sin \frac{\pi}{n}}, \\ &\text{etc.} \end{aligned} \right\} 331.$$

Für den Mauerring ist S_m , also das erste Glied im Zähler gleich Null; mithin, wenn für den Auflagerpunkt $m = \rho$ ist,

$$R_\rho^g = \frac{\sum_1^{\rho-1} (G) \cotg \alpha_{\rho-1}}{2 n \sin \frac{\pi}{n}} = \frac{(G_1 + G_2 + \dots + G_{\rho-1}) \cotg \alpha_{\rho-1}}{2 n \sin \frac{\pi}{n}} \dots \dots \dots 332.$$

Um die durch zufällige Belaftung erzeugten Ringspannungen zu ermitteln, setzen wir in die Gleichung 329 die Werthe für S_m und S_{m-1} ein. Es soll $\mathfrak{S}_1^m (P)$ die zwischen den Knotenpunkten 1 und m befindlichen zufälligen Lasten bezeichnen, wobei \mathfrak{S} ausdrückt, dass nicht alle Knotenpunkte 1 — m belaftet zu sein brauchen; im Gegenfatz dazu soll $\sum_1^m (P)$ andeuten, dass alle Knotenpunkte von 1 bis m belaftet sind. Man erhält demnach allgemein für zufällige Belaftung aus Gleichung 329

$$R_m = -\frac{\mathfrak{S}_1^m (P) \cotg \alpha_m - \mathfrak{S}_1^{m-1} (P) \cotg \alpha_{m-1}}{2 n \sin \frac{\pi}{n}} \dots \dots \dots 333.$$

Diese Gleichung ermöglicht die Feststellung der für die einzelnen Ringe ungünstigsten Belaftungen (unter Voraussetzung der Belaftung ganzer Zonen) und die Ermittlung der grössten Druck- und Zugspannungen in den Ringen. Der grösste Druck wird stattfinden, wenn im Zähler das erste Glied möglichst groß, das zweite Glied möglichst klein ist. Jede Belaftung eines der Knotenpunkte 1 bis $(m - 1)$ hat fowohl ein Wachsen des ersten, wie des zweiten Gliedes zur Folge; da aber $\cotg \alpha_{m-1}$ stets grösser ist, als $\cotg \alpha_m$, so wächst das zweite Glied mehr, als das erste, d. h. jede Belaftung des Knotenpunktes 1 bis $(m - 1)$ verringert den Druck,

vergrößert also den Zug. Die Belastung des Knotenpunktes m vergrößert nur das erste Glied, also den Druck. Die Belastung der außerhalb des m -ten Ringes liegenden Ringe ist nach der Gleichung ohne Einfluss auf die Spannung im m -ten Ringe. Daraus folgt, dass in den Stäben eines Ringes (des m -ten) der größte Druck stattfindet, wenn die Knotenpunkte 1 bis $(m - 1)$ unbelastet, die zum Ringe gehörigen Knotenpunkte dagegen belastet sind. Da die Belastung der äußeren Ringe ohne Einfluss ist, so kann man sagen: Größter Druck findet statt, wenn der innere Kuppeltheil unbelastet, der äußere Kuppeltheil, einschließlich des betrachteten Ringes, belastet ist. Daraus folgt dann weiter, dass größter Zug in den Stäben des m -ten Ringes auftritt, wenn nur der innere Kuppeltheil, ausschließlich der Zone, zu welcher der m -te Ring gehört, belastet ist. Die hier gefundenen Ergebnisse stimmen demnach mit den in Art. 241 (S. 226) gemachten Annahmen über die ungünstigsten Belastungen überein. Man erhält

$$R_m^{\phi \min} = -\frac{P_m \cotg \alpha_m}{2 n \sin \frac{\pi}{n}} \quad \text{und} \quad R_m^{\phi \max} = \frac{\sum_1^{m-1} (P) (\cotg \alpha_{m-1} - \cotg \alpha_m)}{2 n \sin \frac{\pi}{n}} \quad . \quad . \quad 334.$$

Es ergibt sich

$$\left. \begin{aligned} \text{für den Laternenring } (m = 1): \quad R_1^{\phi \min} &= -\frac{P_1 \cotg \alpha_1}{2 n \sin \frac{\pi}{n}} \quad \text{und} \quad R_1^{\phi \max} = 0; \\ \text{für } m = 2: \quad R_2^{\phi \min} &= -\frac{P_2 \cotg \alpha_2}{2 n \sin \frac{\pi}{n}} \quad \text{und} \quad R_2^{\phi \max} = \frac{P_1 (\cotg \alpha_1 - \cotg \alpha_2)}{2 n \sin \frac{\pi}{n}}, \\ \text{für } m = 3: \quad R_3^{\phi \min} &= -\frac{P_3 \cotg \alpha_3}{2 n \sin \frac{\pi}{n}} \quad \text{und} \quad R_3^{\phi \max} = \frac{(P_1 + P_2) (\cotg \alpha_2 - \cotg \alpha_3)}{2 n \sin \frac{\pi}{n}}, \\ &\text{etc.} \end{aligned} \right\} 335.$$

$$\text{für den Mauerring: } R_{\rho}^{\phi \min} = 0 \quad \text{und} \quad R_{\rho}^{\phi \max} = \frac{(P_1 + P_2 + \dots + P_{\rho-1}) \cotg \alpha_{\rho-1}}{2 n \sin \frac{\pi}{n}} \quad . \quad 336.$$

δ) Spannungen in den Diagonalen. Neben dem Durchmesser, welcher für die ungünstigste Diagonalenbelastung die belastete und unbelastete Kuppelhälfte trennt, liegt ein belasteter und ein unbelasteter Sparren. Nehmen wir nun an, dass die Spannung im ersteren so groß ist, als wenn die ganze Kuppel voll belastet wäre, im zweiten so groß, als wenn die ganze Kuppel nur durch das Eigengewicht belastet wäre, und machen wir die im Knotenpunkte anschließende Diagonale stark genug, um den ganzen Spannungsunterschied zu übertragen, so wird dieselbe jedenfalls zu stark, ist also als ausreichend zu betrachten.

Im obersten Sparrenstück sind die größten und kleinsten Druckspannungen bezw.

$$S_{1 \max} = -\frac{P_1 + G_1}{n \sin \alpha_1} \quad \text{und} \quad S_{1 \min} = -\frac{G_1}{n \sin \alpha_1}.$$

Die Differenz beider Spannungen ist $\Delta_1 = -\frac{P_1}{n \sin \alpha_1}$. Dieselbe soll durch die Diagonale übertragen werden; es ist also nahezu, wenn der Winkel zwischen Diagonale und belastetem Sparren γ_1 genannt wird, $Y_1 \cos \gamma_1 = -\Delta$, daher

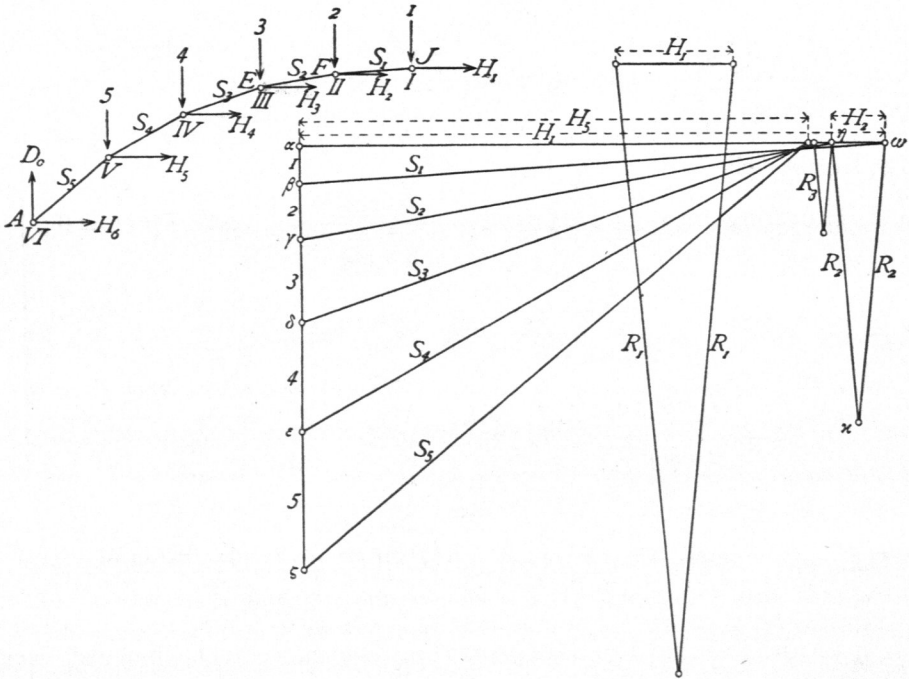
$$\left. \begin{aligned} Y_1 &= \frac{P_1}{n \sin \alpha_1 \cos \gamma_1}, & Y_2 &= \frac{P_1 + P_2}{n \sin \alpha_2 \cos \gamma_2} \\ Y_3 &= \frac{P_1 + P_2 + P_3}{n \sin \alpha_3 \cos \gamma_3}, & Y_4 &= \frac{P_1 + P_2 + P_3 + P_4}{n \sin \alpha_4 \cos \gamma_4} \end{aligned} \right\} \dots \dots 337.$$

242.
Graphische
Ermittlung
der Stab-
spannungen.

Auf graphischem Wege lassen sich die Spannungen in den einzelnen Stäben einer Kuppel in folgender Weise ermitteln.

α) Sparrenspannungen durch das Eigengewicht. Die Lasten in den einzelnen Knotenpunkten seien 1, 2, 3, 4, 5 (Fig. 319); man trage dieselben zu einem Kraftpolygon $\alpha \beta \gamma \delta \epsilon \zeta$ an einander. Im Knotenpunkte F wirkt 1 , die Sparrenspannung S_1 und die Mittelkraft H_1 der Ringspannungen R_1 . Die Zerlegung der Kraft 1 nach den beiden Richtungen von S_1 und H_1 ergibt $\beta \omega = S_1$, $\omega \alpha = H_1$. Am Knotenpunkt F wirken nun 2, S_1 , S_2 und H_2 ; bekannt sind jetzt 2 und S_1 ; man erhält $\gamma \eta = S_2$, $\eta \omega = H_2$. Eben so ergeben sich die übrigen Sparrenspannungen.

Fig. 319.



β) Spannungen in den Sparren durch zufällige Belastung. Die Construction ist in gleicher Weise, wie unter α vorzunehmen, nachdem die in den einzelnen Knotenpunkten wirkenden zufälligen Lasten genau wie oben aufgetragen und behandelt sind.

γ) Ringspannungen durch das Eigengewicht. Die Zerlegung der für diese Belastung gefundenen Werthe von H ergibt ohne Schwierigkeit die Werthe für R_1^g, R_2^g, \dots , wie in Fig. 319 gezeichnet. Die Construction empfiehlt sich für die vorliegende Ermittlung nicht sehr, weil sie der spitzen Schnittwinkel wegen nur ungenaue Resultate giebt, die Schnittpunkte vielfach nicht mehr auf die Zeichensfläche fallen. So ist H_1 in Fig. 319 im fünffach verkleinerten Maßstabe aufgetragen, um R_1 zu construiren.

δ) Ringspannungen durch zufällige Belastung. Maximalspannung im Ringe II findet statt, wenn nur die Ringzone I belastet ist. Es sei (Fig. 320a) $a b = \frac{P_1}{n}$; alsdann wird $b f = S_1$, $f a = H_1$.

Im Knotenpunkt F (Fig. 321) sind S_1, S_2 und H_2 im Gleichgewicht, d. h. das Kräfte-dreieck für Punkt F wird $b g f$. Darin ist $H_2 = g f$ und $g i = i f = R_2^g_{max}$.

Fig. 320.

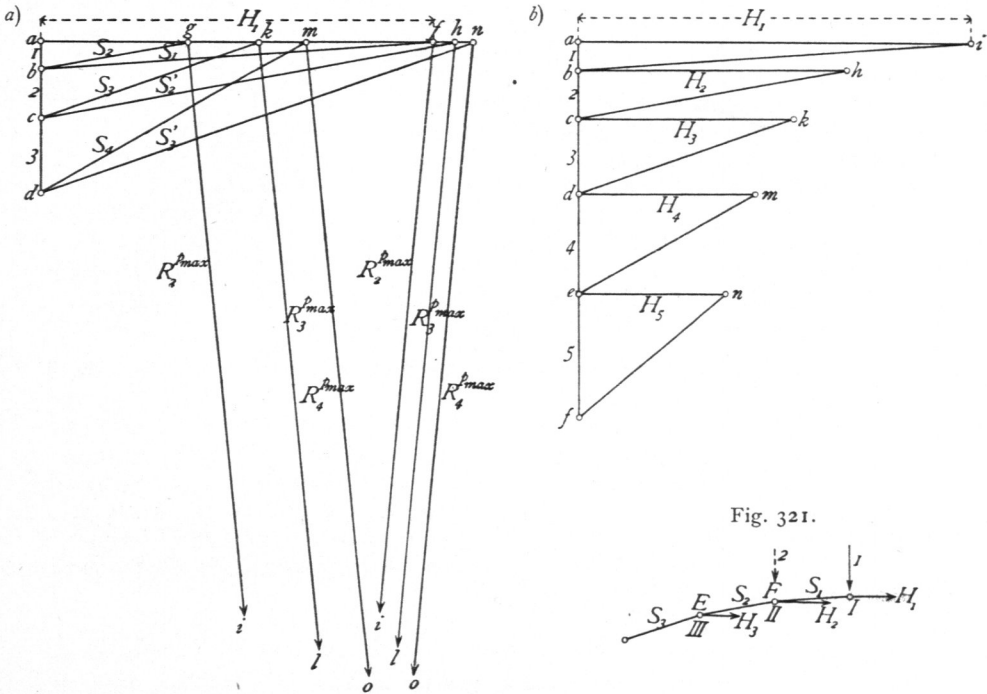
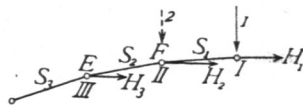


Fig. 321.



Im Ringe III ist Maximalspannung, wenn die Zonen zu den Ringen I und II belaftet sind; alsdann wirken in F die Kräfte $S_1 = fb$, $z = bc = \frac{P_2}{n}$, S_2' und H_2' . Man erhält leicht $H_2' = hf$, $S_2' = ch$. In E findet dann S_2' , S_3 und H_3 im Gleichgewicht und $H_3 = kh$, woraus $R_3^P \max = kl = lh$. Eben so wird $R_4^P \max = on = mo$ etc.

Minimalspannung im Ringe I findet bei voller Kuppelbelaftung statt; alsdann wirkt in F die Kraft $I = \frac{P_1}{n}$, und es wird, wenn (Fig. 320b) $ab = I$ ist, $ia = H_1$. Die Zerlegung in die beiden Ringspannungen ist dann in gleicher Weise wie oben vorzunehmen. Für Ring II findet Minimalspannung bei einer Belaftung der Zonen II, III, IV statt; I ist unbelaftet; mithin ist S_1 alsdann gleich Null (siehe Gleichung 327). Ist $bc = \frac{P_2}{n} = z$, so wird $hb = H_2$. Eben so wird weiter für die Minimalbelaftungen der einzelnen Ringe $H_3 = kc$, $H_4 = md$, $H_5 = ne$.

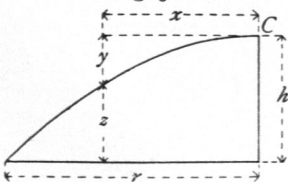
ε) Die Construction der Spannungen in den Diagonalen ist so einfach, das dieselbe nicht weiter gezeigt zu werden braucht.

3) Erzeugende Kuppelcurve.

Die erzeugende Curve ist in den meisten Fällen eine Parabel (Fig. 322) der Gleichung $y = \frac{hx^2}{r^2}$, bei welcher der Anfangspunkt der Coordinaten im Scheitel C

243.
Parabel-
Kuppel.

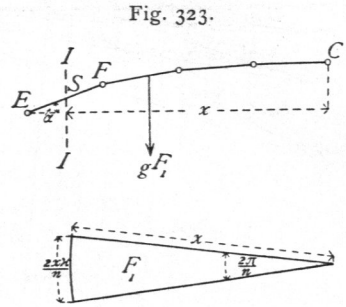
Fig. 322.



liegt, die halbe Spannweite gleich r , die Pfeilhöhe gleich h gesetzt ist, oder eine cubische Parabel der Gleichung $y = \frac{hx^3}{r^3}$. Letztere Curvenform hat den Vortheil, das in den Zwischenringen bei gleichmäßig verteilter Belaftung die Spannung Null herrscht und das

die Spannungen in den Sparren nahezu constant find, was sich folgendermassen ergibt.

Die Spannung im Sparrenstab EF (Fig. 323) ist durch Betrachtung des Theiles zwischen dem Scheitel C und dem durch die Sparrenmitte gelegten Schnitte II zu ermitteln. Die algebraische Summe der auf dieses Stück wirkenden lothrechten Kräfte ist gleich Null, daher, wenn die belastende Grundfläche mit F_1 , die Belastung für 1qm der Grundfläche mit g bezeichnet wird, $S \sin \alpha = g F_1$. Nun ist $F_1 = \frac{x^2 \pi}{n}$, mithin $S \sin \alpha = \frac{g x^2 \pi}{n} = S \cos \alpha \operatorname{tg} \alpha$.



Wird statt des Vieleckes die stetig gekrümmte Curve der Berechnung zu Grunde gelegt, so ist $y = \frac{h x^3}{r^3}$ und $\operatorname{tg} \alpha = \frac{dy}{dx} = \frac{3 h x^2}{r^3}$; mithin

$$S \cos \alpha \frac{3 h x^2}{r^3} = \frac{g x^2 \pi}{n}, \text{ woraus } S \cos \alpha = \frac{g \pi r^3}{3 n h}, \dots \dots \dots 338.$$

d. h. $S \cos \alpha$ ist constant. Da aber wegen der flachen Neigung der Kuppel der Winkel α sehr klein ist, so ändert sich auch $\cos \alpha$ sehr wenig; die Spannung ist daher im ganzen Sparren nahezu constant.

Betrachtet man nun einen Knotenpunkt E (Fig. 317) und setzt die algebraische Summe der in ihm wirkenden wagrechten Kräfte gleich Null, so wird

$$0 = S_m \cos \alpha_m - S_{m-1} \cos \alpha_{m-1} - H_m, \text{ woraus } H_m = S_m \cos \alpha_m - S_{m-1} \cos \alpha_{m-1} = 0, \text{ da nach Gleichung 338 } S \cos \alpha \text{ constant ist. Die Ringspannung ist dann}$$

$$R = \frac{H}{2 \sin \frac{\pi}{n}} = 0 \dots \dots \dots 339.$$

Die obigen Angaben sind damit bewiesen.

Es möge noch bemerkt werden, dass der theoretische Materialaufwand bei einer nach der cubischen Parabel gekrümmten Kuppel nur $\frac{2}{3}$ desjenigen Materialaufwandes beträgt, der sich bei einer nach der gemeinen Parabel gekrümmten Kuppel ergibt.

244.
Beispiel.

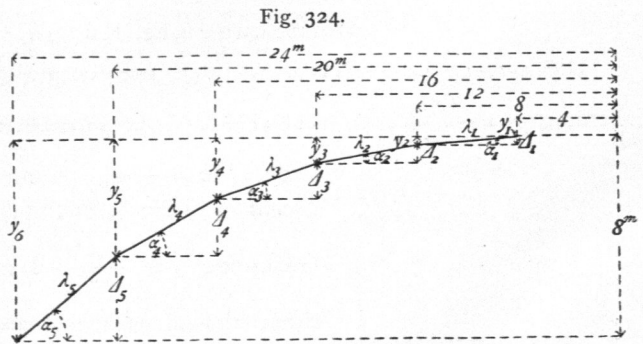
Beispiel. Es ist ein Kuppeldach von nachfolgenden Hauptmassen und Belastungen zu construiren: Durchmesser des zu überdachenden kreisförmigen Raumes gleich 47m, demnach der Durchmesser des dem Mauerring umschriebenen Parallelkreises $2L = 48\text{m}$; Scheitelhöhe der Kuppel $h = 8\text{m}$; es sind 6 Ringe mit den Halbmessern 4, 8, 12, 16, 20 und 24m und $n = 32$ Sparren anzuordnen; das Eigengewicht ist zu 70 kg für 1qm Grundfläche anzunehmen; als mittlere Dachneigung ist $\frac{h}{2L} = \frac{8}{48}$

$= \frac{1}{6}$ einzuführen, und es ergibt sich hieraus nach Art. 26 (S. 20 ff.) als Belastung durch Schnee für 1qm Grundfläche 75 kg, als Belastung durch Winddruck (siehe Art. 28, S. 22) für 1qm Grundfläche $v = 64\text{kg}$, so dass die gesammte zufällige Belastung für 1qm Grundfläche abgerundet 140 kg beträgt; die Laterne wiegt 2000 kg.

Die Kuppelfläche sei durch Umdrehung einer cubischen Parabel der Gleichung

$$y = \frac{h x^3}{r^3} = \frac{8}{24^3} x^3 = 0,00058 x^3$$

entstanden. Man erhält für die verschiedenen, durch die Ringe vorgeschriebenen Eckpunkte des Vieleckes (Fig. 324)



| | | | | | | |
|---------------|------|------|------|------|------|-------|
| $x =$ | 4 | 8 | 12 | 16 | 20 | 24 m |
| $y =$ | 0,04 | 0,30 | 1,00 | 2,38 | 4,64 | 8,0 " |
| $h - y = z =$ | 7,96 | 7,70 | 7,00 | 5,62 | 3,36 | 0 " |

Ferner ist

$$\Delta_1 = y_2 - y_1 = 0,26 \text{ m}; \Delta_2 = y_3 - y_2 = 0,7 \text{ m}; \Delta_3 = y_4 - y_3 = 1,38 \text{ m}; \Delta_4 = y_5 - y_4 = 2,26 \text{ m}; \\ \Delta_5 = y_6 - y_5 = 3,36 \text{ m}.$$

$$\lambda_1 = \sqrt{4^2 + \Delta_1^2} = 4,01 \text{ m}; \lambda_2 = 4,06 \text{ m}; \lambda_3 = 4,23 \text{ m}; \lambda_4 = 4,59 \text{ m}; \lambda_5 = 5,22 \text{ m}.$$

$$\sin \alpha_1 = \frac{\Delta_1}{\lambda_1} = 0,0648; \sin \alpha_2 = 0,1724; \sin \alpha_3 = 0,32; \sin \alpha_4 = 0,492; \sin \alpha_5 = 0,644.$$

$$\cotg \alpha_1 = \frac{4}{\Delta_1} = 15,38; \cotg \alpha_2 = 5,7; \cotg \alpha_3 = 2,9; \cotg \alpha_4 = 1,77; \cotg \alpha_5 = 1,19.$$

$$\frac{\pi}{n} = \frac{180}{32} = 5^\circ 37,5'; \sin \frac{\pi}{n} = \sin 5^\circ 37,5' = 0,098; \frac{1}{2n \sin \frac{\pi}{n}} = \frac{1}{64 \cdot 0,098} = 0,16.$$

Die Eigengewichte, bzw. zufälligen Belastungen der einzelnen Ringe sind:

$$\text{Laternenring: } G_1 = 2000 + 6^2 \pi \cdot 70 = 9913 \text{ kg}, P_1 = 6^2 \pi \cdot 140 = 15826 \text{ kg};$$

$$2. \text{ Ring: } G_2 = (10^2 - 6^2) \pi \cdot 70 = 14067 \text{ kg}, P_2 = (10^2 - 6^2) \pi \cdot 140 = 28122 \text{ kg};$$

$$3. \text{ Ring: } G_3 = (14^2 - 10^2) \pi \cdot 70 = 21100 \text{ kg}, P_3 = (14^2 - 10^2) \pi \cdot 140 = 42182 \text{ kg};$$

$$4. \text{ Ring: } G_4 = (18^2 - 14^2) \pi \cdot 70 = 28133 \text{ kg}, P_4 = (18^2 - 14^2) \pi \cdot 140 = 56243 \text{ kg};$$

$$5. \text{ Ring: } G_5 = (22^2 - 18^2) \pi \cdot 70 = 35168 \text{ kg}, P_5 = (22^2 - 18^2) \pi \cdot 140 = 70304 \text{ kg}.$$

Die Spannungen in den Sparren, welche durch das Eigengewicht hervorgerufen werden, sind nach

Gleichung 328:

$$S_1^g = - \frac{G_1}{n \sin \alpha_1} = - \frac{9913}{32 \cdot 0,065} = - 4766 \text{ kg};$$

$$S_2^g = - \frac{G_1 + G_2}{n \sin \alpha_2} = - \frac{23980}{32 \cdot 0,1724} = - 4346 \text{ kg};$$

$$S_3^g = - \frac{G_1 + G_2 + G_3}{n \sin \alpha_3} = - \frac{45080}{32 \cdot 0,32} = - 4402 \text{ kg};$$

$$S_4^g = - \frac{G_1 + G_2 + G_3 + G_4}{n \sin \alpha_4} = - \frac{73213}{32 \cdot 0,492} = - 4651 \text{ kg};$$

$$S_5^g = - \frac{G_1 + G_2 + G_3 + G_4 + G_5}{n \sin \alpha_5} = - \frac{108381}{32 \cdot 0,644} = - 5258 \text{ kg}.$$

Die durch zufällige Belastung erzeugten Sparrenspannungen betragen:

$$S_1^p = - \frac{P_1}{n \sin \alpha_1} = - \frac{15826}{2,08} = - 7608 \text{ kg};$$

$$S_2^p = - \frac{P_1 + P_2}{n \sin \alpha_2} = - \frac{43948}{5,517} = - 7966 \text{ kg};$$

$$S_3^p = - \frac{P_1 + P_2 + P_3}{n \sin \alpha_3} = - \frac{86130}{10,24} = - 8400 \text{ kg};$$

$$S_4^p = - \frac{P_1 + P_2 + P_3 + P_4}{n \sin \alpha_4} = - \frac{142373}{15,74} = - 9045 \text{ kg};$$

$$S_5^p = - \frac{P_1 + P_2 + P_3 + P_4 + P_5}{n \sin \alpha_5} = - \frac{212677}{20,61} = - 10319 \text{ kg}.$$

Die Ringspannungen, welche durch das Eigengewicht hervorgerufen werden, sind nach Gleichung 331:

$$\text{Laternenring: } R_1^g = - 9913 \cdot 15,38 \cdot 0,16 = - 24396 \text{ kg};$$

$$2. \text{ Ring: } R_2^g = - (23980 \cdot 5,7 - 9913 \cdot 15,38) \cdot 0,16 = + 2524 \text{ kg};$$

$$3. \text{ Ring: } R_3^g = - (45080 \cdot 2,9 - 23980 \cdot 5,7) \cdot 0,16 = + 953 \text{ kg};$$

$$4. \text{ Ring: } R_4^g = - (73213 \cdot 1,77 - 45080 \cdot 2,9) \cdot 0,16 = + 183 \text{ kg};$$

$$5. \text{ Ring: } R_5^g = - (108381 \cdot 1,19 - 73213 \cdot 1,77) \cdot 0,16 = + 98 \text{ kg};$$

$$\text{Mauerring: } R_6^g = 108381 \cdot 1,19 \cdot 0,16 = 20636 \text{ kg}.$$

Die Maximal- und Minimalspannungen in den Ringen, durch zufällige Belaftung erzeugt, betragen nach Gleichung 335:

Laternenring: $R_1^{min} = -15826 \cdot 15,38 \cdot 0,16 = -38932 \text{ kg}$ und $R_1^{max} = 0$;

2. Ring: $R_2^{min} = -28122 \cdot 5,7 \cdot 0,16 = -25647 \text{ kg}$,
 $R_2^{max} = 15826 (15,38 - 5,7) \cdot 0,16 = +24514 \text{ kg}$;

3. Ring: $R_3^{min} = -42182 \cdot 2,9 \cdot 0,16 = -19572 \text{ kg}$,
 $R_3^{max} = 43948 \cdot 2,8 \cdot 0,16 = +19689 \text{ kg}$;

4. Ring: $R_4^{min} = -56243 \cdot 1,77 \cdot 0,16 = -15926 \text{ kg}$,
 $R_4^{max} = 86130 \cdot 1,13 \cdot 0,16 = +15589 \text{ kg}$;

5. Ring: $R_5^{min} = -70304 \cdot 1,19 \cdot 0,16 = -13386 \text{ kg}$,
 $R_5^{max} = 142373 \cdot 0,58 \cdot 0,16 = +13212 \text{ kg}$;

Mauerring: $R_6^{min} = 0$ und $R_6^{max} = 212677 \cdot 1,19 \cdot 0,16 = +40494 \text{ kg}$.

Was schliesslich die Spannungen in den Diagonalen betrifft, so braucht nur die am stärksten beanspruchte Diagonale berechnet zu werden, weil selbst diese noch sehr schwach wird. Gewöhnlich macht man dann alle Diagonalen gleich stark.

Die grösste durch zufällige Belaftung erzeugte Sparrenspannung ist durch die Diagonale zu übertragen (siehe Art. 241, S. 226); dieselbe ist $S_5^b = -10319 \text{ kg}$, und es hat demnach eine Diagonale höchstens diese Kraft aufzunehmen. Die Spannung in der Diagonalen wird demnach kleiner sein, als $\frac{10319}{\cos \gamma}$; da nun nahezu (Fig. 325) $\cos \gamma = \frac{5,22}{7,02} = 0,744$ ist, wird $Y < \frac{10319}{0,744}$ oder $Y < 13870 \text{ kg}$ sein.

Man könnte noch für einige der oberen Diagonalen die Spannungen aufsuchen, was nach dem Vorstehenden keine Schwierigkeit macht. Für die Querschnittsbestimmungen kann nun, wie bei den früheren Beispielen, eine Tabelle aufgestellt werden.

| Bezeichnung des Stabes | P_0 | P_1 | Bezeichnung des Stabes | P_0 | P_1 | P_2 |
|------------------------|-----------|----------|------------------------|-----------|----------|----------|
| Sparren: | | | Ringe: | | | |
| S_1 | - 4766 | - 7 608 | R_1 | - 24 396 | - 38 932 | 0 |
| S_2 | - 4346 | - 7 966 | R_2 | + 2 524 | + 24 514 | - 25 647 |
| S_3 | - 4402 | - 8 400 | R_3 | + 953 | + 19 689 | - 19 572 |
| S_4 | - 4651 | - 9 045 | R_4 | + 183 | + 15 589 | - 15 926 |
| S_5 | - 5258 | - 10 319 | R_5 | + 98 | + 13 212 | - 13 386 |
| Diagonalen: | | | R_6 | + 20 636 | + 40 494 | 0 |
| Y | 0 | 13 870 | | | | |
| | Kilogramm | | | Kilogramm | | |

b) Flache Zeltedächer.

Die Zeltedächer bilden Pyramiden, und zwar in den allermeisten Fällen regelmässige Pyramiden. Man kann sie aus einer Anzahl radial gestellter Binder, die unter die fog. Grate kommen, construieren, in welchem Falle die Berechnung eines jeden Binders unter Zugrundelegung der auf ihn entfallenden Belaftungen vorzunehmen ist, wie bei den Balkendächern gezeigt wurde, oder man legt auch hier, wie bei den Kuppeln, alle Constructionstheile in die Dachflächen, so dass sich eine

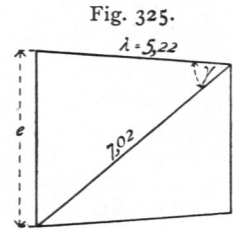
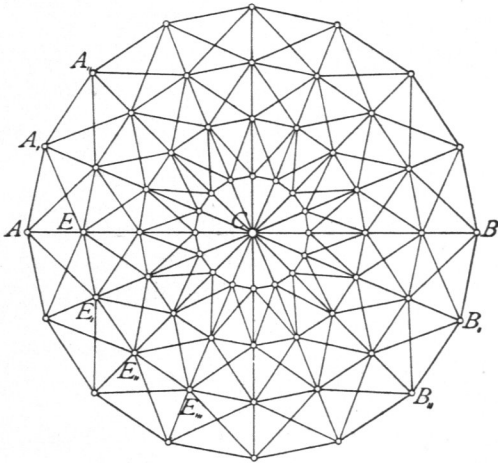


Fig. 325.

Fig. 326.



der dortigen entsprechende Construction ergibt. In diesem Falle (Fig. 326) werden eine Anzahl Bindersparren $A C$, A, C , A'', C , $B C$, B, C , $B'', C \dots$ angeordnet; zwischen denselben befinden sich wagrechte Ringe E , E'' , E''' , $E'''' \dots$ und in den viereckigen Feldern der Dachflächen, wegen der ungleichmäßigen Belastungen, Diagonalen. Auch hier wird oft in der Dachmitte eine Laterne angeordnet, welche sich auf einen Laternenring stützt, gegen den sich die oberen Sparrenenden lehnen. Wir werden hier nur die der Kuppelconstruction entsprechende Anordnung betrachten, da die erstere keine be-

sonderen Schwierigkeiten bietet. Obgleich die grössere oder geringere Neigung der Dachflächen keinen grundlegenden Unterschied bedingt, wollen wir die Zeltdächer dennoch in flache und steile Zeltdächer eintheilen, weil bei den ersteren die Belastung durch Schnee, bei den letzteren diejenige durch Wind die maßgebende zufällige Belastung ist.

Zu den flachen Zeltdächern gehören die Circus- und Theaterdächer, die Dächer über Panoramen, Locomotivschuppen etc., zu den steilen hauptsächlich die Thurmdächer.

1) Belastungen und Auflagerdrücke.

Ueber die Belastung der flachen Zeltdächer gilt dasselbe, was von den Belastungen der Kuppeldächer in Art. 239 (S. 225) gesagt ist; wir bestimmen also auch hier das Eigengewicht, den Schnee- und den Winddruck für 1 m^2 der Grundfläche, berücksichtigen aber vom Winddruck nur die lothrechten Seitenkräfte v , für welche die Werthe in Art. 28 (S. 22) angegeben sind. Die Knotenpunktbelastungen sind den Grundflächen proportional, welche auf die einzelnen Knotenpunkte entfallen, demnach leicht zu ermitteln.

Auch hier betrachten wir nur volle Belastung des ganzen Zeltdaches und solche theilweise Belastungsarten, bei denen ganze Ringzonen zufällig belastet sind.

Von den Auflagerdrücken gilt gleichfalls dasselbe, was bei den Kuppeldächern gesagt wurde. Da auch hier ein fog. Mauerring die wagrechten Seitenkräfte der Spannungen in den untersten Sparrentheilen aufhebt, so sind für die in Aussicht zu nehmenden Belastungsarten die Auflagerdrücke bei den einzelnen Sparren gleich den auf dieselben entfallenden Lasten.

2) Stabspannungen.

α) Ungünstigste Beanspruchungen der einzelnen Stäbe. Die genaue Bestimmung der ungünstigsten Belastungsarten und der bei ungleichmäßig vertheilter Belastung entstehenden Spannungen ist auch hier sehr schwierig. Werden nur volle Belastung des ganzen Daches und die Belastungen ganzer Ringzonen zu Grunde gelegt, so ergibt sich aus den aufzustellenden Gleichungen leicht, daß die ungünstigste Belastungsart für die Sparren, so wie für alle Ringe bei voller Belastung des ganzen

246.
Belastungen.

247.
Auflagerdrücke.

248.
Berechnung
der Stabspannungen.

Daches stattfindet. Bezüglich der Diagonalen verfahren wir genau, wie bei den Kuppeldächern (siehe Art. 241, S. 226).

β) Spannungen in den Sparren. Es mögen wiederum $G_1, G_2 \dots G_m \dots$ die Eigengewichte der ganzen Ringzonen, $P_1, P_2, \dots P_m \dots$ die zufälligen Belastungen derselben sein; alsdann sind, falls n Sparren vorhanden sind, die Belastungen der einzelnen Knotenpunkte bezw. $\frac{G_1}{n}, \frac{G_2}{n} \dots \frac{G_m}{n} \dots$ und $\frac{P_1}{n}, \frac{P_2}{n} \dots \frac{P_m}{n} \dots$

Allgemein wirke in einem Knotenpunkte (Fig. 327) die Last Q ; alsdann sind die in dem m -ten Knotenpunkte E (von der Laterne, bezw. der Mitte an gerechnet) wirkenden Kräfte S_{m-1}, S_m, Q_m und die Mittelkraft H_m der beiden Ringspannungen R_m im Gleichgewicht. Demnach ist (Fig. 328)

$$0 = Q_m + S_m \sin \alpha - S_{m-1} \sin \alpha, \text{ woraus } S_m = -\frac{Q_m}{\sin \alpha} + S_{m-1}.$$

Für den ersten Sparrentheil, für $m = 1$, wird, falls eine Laterne vorhanden ist, $S_{m-1} = 0$; daher

$$S_1 = -\frac{Q_1}{\sin \alpha}; \quad S_2 = -\frac{Q_2}{\sin \alpha} - \frac{Q_1}{\sin \alpha} = -\frac{Q_2 + Q_1}{\sin \alpha};$$

$$S_3 = -\frac{Q_3}{\sin \alpha} - \frac{Q_2 + Q_1}{\sin \alpha} = -\frac{Q_3 + Q_2 + Q_1}{\sin \alpha} \text{ etc.}$$

Fig. 327.

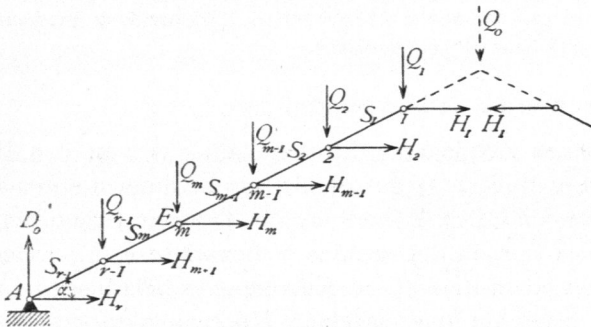
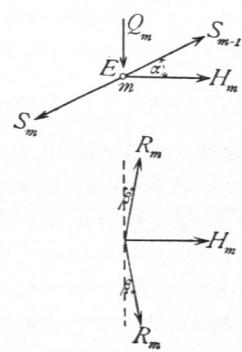


Fig. 328.



Allgemein wird

$$S_m = -\frac{\sum_1^m (Q)}{\sin \alpha} \dots \dots \dots 340.$$

Die Sparrenspannungen durch das Eigengewicht werden erhalten, indem der Reihe nach für $Q_1, Q_2, Q_3 \dots$ bezw. $\frac{G_1}{n}, \frac{G_2}{n}, \frac{G_3}{n} \dots$ eingesetzt wird. Man erhält

$$S_m^g = -\frac{\sum_1^m (G)}{n \sin \alpha} \dots \dots \dots 341.$$

Für $m = 1, 2, 3 \dots$ wird

$$S_1^g = -\frac{G_1}{n \sin \alpha}; \quad S_2^g = -\frac{G_1 + G_2}{n \sin \alpha}; \quad S_3^g = -\frac{G_1 + G_2 + G_3}{n \sin \alpha} \text{ etc.} \quad 342.$$

Aus der Gleichung 340 ergibt sich, dass die Sparrenspannungen durch zufällige Last am größten bei voller Belastung sind, und zwar wird

$$S_m^{\phi \max} = - \frac{\sum_1^m (P)}{n \sin \alpha} \dots \dots \dots 343.$$

und für $m = 1, 2, 3 \dots$

$$S_1^{\phi \max} = - \frac{P_1}{n \sin \alpha}; \quad S_2^{\phi \max} = - \frac{P_1 + P_2}{n \sin \alpha}; \quad S_3^{\phi \max} = - \frac{P_1 + P_2 + P_3}{n \sin \alpha} \text{ etc. } 344.$$

Falls keine Laterne vorhanden ist, gelten die Gleichungen 340 bis 344 ebenfalls; nur ist überall in die Summen auch Q_0 aufzunehmen, d. h. der Theil der Firftbelastung, welcher auf den Sparren entfällt.

γ) Spannungen in den Ringen. Die algebraische Summe der in E (Fig. 328) wirkenden wagrechten Kräfte ist gleich Null, d. h.

$$0 = H_m + S_{m-1} \cos \alpha - S_m \cos \alpha,$$

woraus

$$H_m = (S_m - S_{m-1}) \cos \alpha = - \frac{\sum_1^m (Q) - \sum_1^{m-1} (Q)}{\sin \alpha} \cos \alpha = - Q_m \cotg \alpha.$$

Nun ist $H_m = 2 R_m \sin \beta$ und, da nach Art. 241 (S. 226) $\beta = \frac{\pi}{n}$ ist,

$$R_m = - \frac{H_m}{2 \sin \frac{\pi}{n}} = - \frac{Q_m \cotg \alpha}{2 \sin \frac{\pi}{n}} \dots \dots \dots 345.$$

Die Belastung durch das Eigengewicht erzeugt demnach eine Spannung

$$R_m^g = - \frac{G_m \cotg \alpha}{2 n \sin \frac{\pi}{n}} \dots \dots \dots 346.$$

Falls ein Laternenring vorhanden ist, so gilt die Gleichung 346 auch für diesen. Für denselben ist $m = 1$ und $\sum_1^{m-1} (Q) = 0$, so wie $\sum_1^m (Q) = Q_1$. Wir erhalten demnach für $m = 1, 2, 3 \dots$

$$R_1^g = - \frac{G_1 \cotg \alpha}{2 n \sin \frac{\pi}{n}}; \quad R_2^g = - \frac{G_2 \cotg \alpha}{2 n \sin \frac{\pi}{n}} \text{ etc. } \dots \dots \dots 347.$$

Die Gleichungen 346 u. 347 ergeben, daß in sämtlichen Ringen durch das Eigengewicht Druck erzeugt wird; die Gleichung 345 gilt aber nicht für den Mauerring. Am Knotenpunkt A (Fig. 327) wirken die Kräfte $D_0 = \sum (Q)$, H_r und S_{r-1} ; mithin ist $S_{r-1} \cos \alpha + H_r = 0$, woraus $H_r = - S_{r-1} \cos \alpha$. Ferner ist

$$D_0 + S_{r-1} \sin \alpha = 0, \text{ woraus } S_{r-1} = - \frac{\sum_1^{r-1} (Q)}{\sin \alpha}. \text{ Es wird demnach } H_r = \sum_1^{r-1} (Q) \cotg \alpha$$

und, da $R_r = \frac{H_r}{2 \sin \frac{\pi}{n}}$ ist, wird

$$R_r = \frac{\sum_1^{r-1} (Q) \cotg \alpha}{2 \sin \frac{\pi}{n}} \dots \dots \dots 348.$$

Der Mauerring erhält also Zug.

Das Eigengewicht erzeugt in demselben die Spannung

$$R_r^g = \frac{(G_1 + G_2 + \dots + G_{r-1}) \cotg \alpha}{2 n \sin \frac{\pi}{n}} \dots \dots \dots 349.$$

Die größte durch zufällige Belaftung erzeugte Spannung findet in einem Ringe nach Gleichung 345 statt, wenn Q_m seinen größten Werth hat. Da Q , ausser beim Mauerring, nie negativ wird, so ist die Ringspannung durch zufällige Belaftung, abgesehen vom Mauerring, stets Druck. Es wird demnach

$$R_1^{\phi \text{ min}} = - \frac{P_1 \cotg \alpha}{2 n \sin \frac{\pi}{n}}; \quad R_2^{\phi \text{ min}} = - \frac{P_2 \cotg \alpha}{2 n \sin \frac{\pi}{n}} \text{ etc.};$$

allgemein

$$R_m^{\phi \text{ min}} = - \frac{P_m \cotg \alpha}{2 n \sin \frac{\pi}{n}} \dots \dots \dots 350.$$

Weiters ist $R_1^{\phi \text{ max}} = R_2^{\phi \text{ max}} = R_m^{\phi \text{ max}} = 0$. Die größte Druckspannung in einem Ringe findet also schon statt, wenn nur die betreffende Zone belaftet ist; die Belaftung der übrigen Zonen ist auf die Ringspannung ohne Einfluss. Man kann demnach auch sagen, dass die größte Ringspannung in allen Ringen bei zufälliger Belaftung des ganzen Daches stattfindet.

Im Mauerring findet der größte Zug durch zufällige Belaftung bei voller Belaftung statt, und es ist derselbe

$$R_r^{\phi \text{ max}} = \frac{(P_1 + P_2 \dots + P_{r-1}) \cotg \alpha}{2 n \sin \frac{\pi}{n}} \dots \dots \dots 351.$$

Druck findet in demselben nicht statt.

δ) Spannungen in den Diagonalen.

Für dieselbe Belaftungsart, welche bei den Kuppeln zu Grunde gelegt ist, ergibt sich der Spannungsunterschied in zwei benachbarten Sparren, zwischen denen die Belaftungsgrenze liegt, zu

$$\Delta = \frac{\sum_1^m (P)}{n \sin \alpha}$$

und die Spannung in der Diagonalen, welche dieselbe übertragen soll, höchstens zu

$$Y = \frac{\sum_1^m (P)}{n \sin \alpha \cos \gamma},$$

wenn γ der Winkel zwischen der Diagonalen und dem Sparren ist. Demnach wird

Fig. 329.

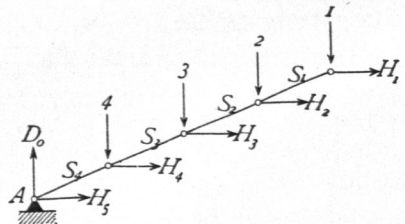
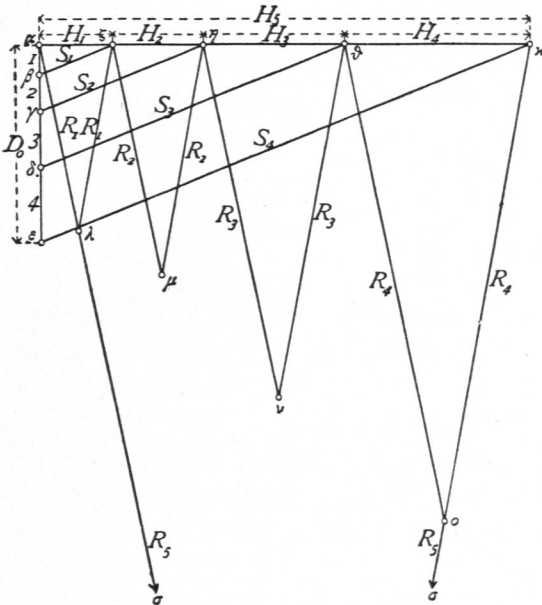


Fig. 330.



$$Y_1 \leq \frac{P_1}{n \sin \alpha \cos \gamma_1};$$

$$Y_2 \leq \frac{P_1 + P_2}{n \sin \alpha \cos \gamma_2} \text{ etc. . 352.}$$

Um die Stabspannungen mittels Zeichnung (Fig. 329 u. 330) zu ermitteln, seien die Belastungen der einzelnen Knotenpunkte 1, 2, 3, 4; alsdann ergibt sich leicht, wenn $\alpha \beta = 1$, $\beta \gamma = 2$, $\gamma \delta = 3$, $\delta \epsilon = 4$ gemacht wird, $\beta \zeta = S_1$, $\zeta \alpha = H_1$, $\gamma \eta = S_2$, $\eta \zeta = H_2$, $\delta \theta = S_3$, $\theta \eta = H_3$, $\epsilon \kappa = S_4$, $\kappa \vartheta = H_4$; ferner $\epsilon \alpha = D_0$, $\alpha \lambda = H_5$, $\zeta \lambda = \lambda \alpha = R_1$, $\eta \mu = \mu \zeta = R_2$, $\vartheta \nu = \nu \eta = R_3$, $\kappa \sigma = \sigma \vartheta = R_4$ und $\alpha \tau = \sigma \kappa = R_5$ (= Mauerringfpannung).

249.
Graphische
Ermittlung
der Stab-
spannungen.

Je nachdem nun die Kräfte 1, 2, 3, 4 die Eigengewichte oder die zufälligen Lasten bedeuten, erhält man die durch die eine oder andere Belastung erzeugten Spannungen. Die Spannungen in den Diagonalen sind leicht zu construieren.

c) Steile Zeldächer oder Thurmdächer.

Als lothrechte Belastung ist hier nur das Eigengewicht einzuführen. Eine Belastung durch Schnee findet nicht statt, weil wegen der großen Steilheit des Daches der Schnee nicht liegen bleibt. Diese lothrechte Belastung erzeugt, da die Construction genau so, wie bei den flachen Zeldächern, aus Sparren und Ringen zusammengefasst wird, Spannungen, welche genau, wie dort gezeigt wurde, zu berechnen sind. Auf diese Berechnung soll deshalb hier nicht weiter eingegangen werden. Dagegen spielt der Winddruck hier eine große Rolle, und es sollen die durch diesen erzeugten Spannungen berechnet werden. Zunächst soll die Berechnung für ein vierseitiges Pyramidendach gezeigt werden, für welches eine genaue Berechnung möglich ist.

1) Vierseitiges Pyramidendach.

Der Winddruck auf eine Pyramidenseite ist am größten, wenn die Windrichtung im Grundriß senkrecht zu der betreffenden Rechteckseite steht. Alsdann ist der Winddruck für 1 qm schräger Dachfläche (Fig. 331 u. 333) nach Gleichung 7: $v = 120 \sin(\alpha + 10^\circ)$; die vom Winde getroffene schräge Dachfläche ist

250.
Belastung.

$$F = \frac{a \lambda}{2} = \frac{a h}{2 \sin \alpha},$$

mithin der Gesamtdruck gegen eine Pyramidenseite

$$N = \frac{a h v}{2 \sin \alpha} \dots \dots \dots 353.$$

Wir denken uns nun in der Symmetrie-Ebene II einen ideellen Binder ACB (Fig. 332) und bestimmen die darin durch den Winddruck entstehenden Spannungen; wir nehmen vorläufig die Wagrechten und Diagonalen, wie in Fig. 331 gezeichnet, an. Auf ein oben befindliches Kreuz wirke ein Winddruck W in der Höhe e_0 über

dem Firstpunkt C ; außerdem wirken in den Knotenpunkten $C, E, F, G \dots$ die Kräfte $N_0, N_1, N_2, N_3 \dots$ senkrecht zur Dachfläche; die Größe dieser Kräfte ist leicht aus den auf die bezüglichen Knotenpunkte entfallenden Dachflächen zu ermitteln.

251.
Berechnung
d. Spannungen
im ideellen
Binder.

a) Berechnung der Spannungen im ideellen Binder. Um die Sparrenspannung S_1 (Fig. 332) an der Windseite zu erhalten, lege man einen beliebigen Schnitt durch CE , etwa nach $II-III$, und betrachte das Bruchstück oberhalb des Schnittes. Wählt man \mathcal{F} als Momentenpunkt, so heißt die Gleichung der statischen Momente (Fig. 334):

$$0 = S_1 c_1 \sin \alpha - W(e_0 + e_1) - N_0 n_0.$$

Nun ist

$$\overline{C\mathcal{F}} = \frac{e_1}{\sin \alpha} \quad \text{und} \quad \cos(180 - 2\alpha) = \frac{n_0}{\overline{C\mathcal{F}}} = -\cos 2\alpha, \quad \text{daher}$$

$$n_0 = -\overline{C\mathcal{F}} \cos 2\alpha = -\frac{e_1}{\sin \alpha} (\cos^2 \alpha - \sin^2 \alpha) = \frac{e_1 (\sin^2 \alpha - \cos^2 \alpha)}{\sin \alpha}.$$

Man erhält hiernach

$$S_1 = \frac{W(e_0 + e_1)}{c_1 \sin \alpha} + \frac{N_0 e_1 (\sin^2 \alpha - \cos^2 \alpha)}{c_1 \sin^2 \alpha}.$$

Für irgend einen Sparren FG ist K der Momentenpunkt, und es ergibt sich für S_3 der Werth

$$S_3 = \frac{1}{c_2 \sin \alpha} \left[W(e_0 + e_1 + e_2) + N_0(n_0 + n_1) + N_1 n_1 \right] - N_2 \cotg \alpha.$$

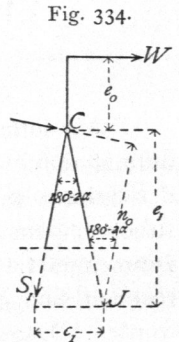
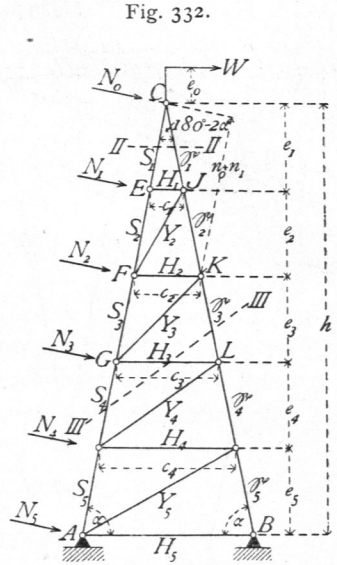
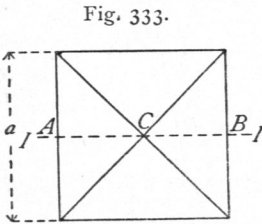
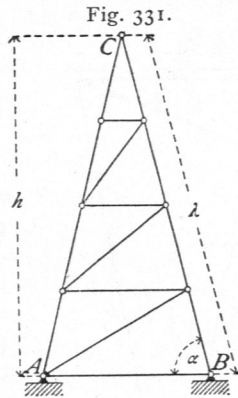
Für irgend einen Sparren KL auf der Unterwindseite ist G der Momentenpunkt und

$$\mathcal{S}_3 = -\frac{1}{c_3 \sin \alpha} \left[W(e_0 + e_1 + e_2 + e_3) + \frac{N_0(e_1 + e_2 + e_3) + N_1(e_2 + e_3) + N_2 e_3}{\sin \alpha} \right].$$

Eben so ergeben sich leicht alle Sparrenspannungen, sowohl auf der Windseite, wie auf der Unterwindseite.

Die Sparren auf der Windseite werden gezogen, diejenigen auf der Unterwindseite werden gedrückt.

Die Spannungen in den Wagrechten und Diagonalen werden gleichfalls mittels der Momentenmethode ermittelt. Um die Spannung H_3 in GL zu finden, schneide man schräg nach $III-III'$; alsdann ist C der Momentenpunkt, und es wird



$$H_3 = - \frac{N_1 e_1 + N_2 (e_1 + e_2) + N_3 (e_1 + e_2 + e_3)}{(e_1 + e_2 + e_3) \sin \alpha} + \frac{W e_0}{e_1 + e_2 + e_3}$$

Die Spannung Y_3 endlich in der Diagonalen GK wird, da für GK wiederum C der conjugirte Punkt ist, durch die Momentengleichung für C gefunden. Man erhält, wenn y_3 der Hebelsarm von Y_3 für den Momentenpunkt C ist,

$$Y_3 = \frac{1}{y_3} \frac{N_1 e_1 + N_2 (e_1 + e_2)}{\sin \alpha} - \frac{W e_0}{y_3}$$

Ob die Diagonalen und Wagrechten Druck oder Zug erhalten, hängt wesentlich von der Größe des Momentes $W e_0$ ab. Ist $W = 0$, so werden bei der gezeichneten Richtung der Diagonalen die Wagrechten gedrückt, die Diagonalen gezogen. Bei der entgegengesetzten Windrichtung findet entgegengesetzte Beanspruchung statt.

β) Graphische Ermittlung der Spannungen im ideellen Binder. Wird zunächst von der Kraft W abgesehen, so ergibt sich ohne Schwierigkeit der in Fig. 335 gezeichnete Kräfteplan, worin alle Stabspannungen, welche durch Winddruck erzeugt werden, enthalten sind.

252.
Graphische Ermittlung d. Spannungen im ideellen Binder.

Fig. 335.

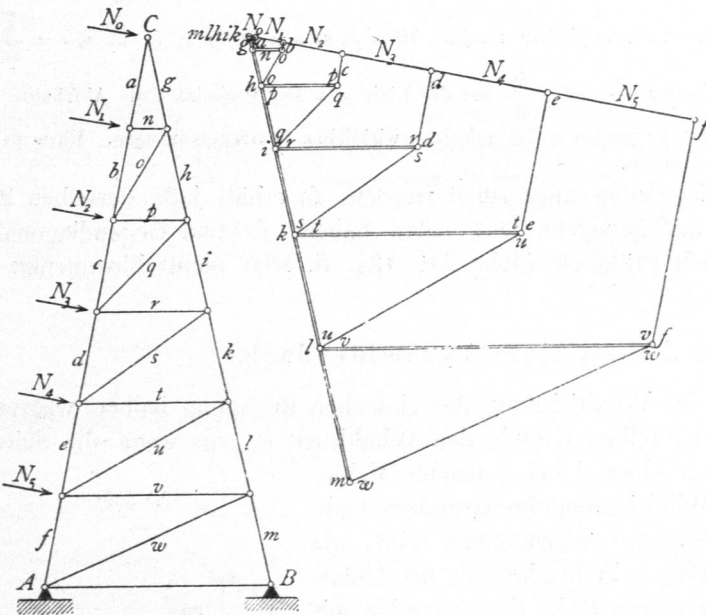
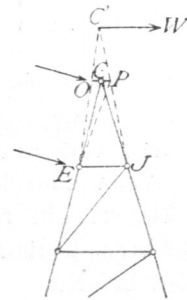


Fig. 336.



Falls noch ein Winddruck W vorhanden ist, so empfiehlt es sich, für die graphische Bestimmung der Spannungen statt der wirklich vorhandenen Stäbe EC und JC zwei Stäbe EC' und $J'C'$ einzuführen, wobei C' der Schnittpunkt der Kraft W mit der Mittel-Lothrechten (Fig. 336) ist; die Ermittlung kann dann

für den Thurm mit der Spitze $EOC'PJ'$ nach der *Cremona'schen* Methode erfolgen. Die Spannungen in EC und $J'C$ können mit geringem Fehler denjenigen, welche sich für EO und PJ' ergeben haben, gleich gesetzt werden.

γ) Zurückführung der Spannungen im ideellen Binder auf die wirklichen Stabspannungen. Die bisher berechneten Spannungen finden im ideellen Binder ACB (Fig. 337) statt. Jede Spannung in einem Stabe des ideellen Binders wird nun durch zwei Stabspannungen der beiden wirklichen Binder geleistet, deren Ebenen mit derjenigen des ideellen Binders den Winkel $(90 - \alpha)$ einschließen.

253.
Wirkliche Stabspannungen.

Die Spannung S in irgend einem Sparren des ideellen Binders wird durch zwei Spannungen S' ersetzt; demnach ist

$S = 2 S' \cos (90 - \delta) = 2 S' \sin \delta$,
woraus

$$S' = \frac{S}{2 \sin \delta}; \dots 354.$$

eben so

$$\mathcal{E}' = \frac{\mathcal{E}}{2 \sin \delta} \dots 355.$$

Ferner wird $H = 2 H'$, woraus

$$H' = \frac{H}{2}; \dots 356.$$

$$Y = 2 Y' \cos \varepsilon,$$

woraus

$$Y' = \frac{Y}{2 \cos \varepsilon} \dots 357.$$

Auch auf graphischem Wege ist die Zurückführung leicht. Man construire (Fig. 338) den Winkel $(90 - \delta)$, bzw. ε , was keine Schwierigkeiten macht. Ist $\sphericalangle r m n = 90 - \delta$, so ist $\overline{m r} = \frac{\overline{m n}}{\sin \delta}$.

Man trage demnach die Werthe für $\frac{S}{2}$ und $\frac{\mathcal{E}}{2}$ auf der Linie $m n$ ab, projicire diese Abschnitte auf $m r$; alsdann erhält man in den Projectionen die gefuchten wirklichen Sparrenspannungen. Eben so ist die Division durch $\cos \varepsilon$ vorzunehmen.

Wenn einfache Diagonalen angeordnet werden, so erhält jede derselben Zug und Druck; will man nur gezogene Diagonalen haben, so sind Gegendiagonalen einzuführen, worüber nach Früherem (siehe Art. 184, S. 167) nichts hinzugefügt zu werden braucht.

2) Achtfeitiges Pyramidendach.

254.
Belastung.

Wir nehmen hier die Windrichtung, der einfachen Rechnung halber, wagrecht an und berechnen aus demselben Grunde den Winddruck so, als wenn die Seitenflächen lothrecht ständen. Der dabei gemachte Fehler ist gering. Wenn die Windrichtung im Grundriß senkrecht zur Seite $m n$ (Fig. 339) angenommen wird, die Seitenlänge des regelmäßigen Achteckes an der Unterkante der Pyramide mit a , die Höhe der Pyramide mit h und der Druck für die Flächeneinheit mit p bezeichnet wird, so ist der Druck gegen die Fläche F demnach

$$W = \frac{p a h}{2} \dots 358.$$

Der Winddruck auf die Fläche F_1 (Fig. 340) ergibt sich unter obigen vereinfachenden Annahmen folgendermaßen. Die (lothrecht gedachte) Fläche schließt mit der angenommenen Windrichtung (Fig. 339) einen Winkel $(90 - \gamma)$ ein; mithin ist der senkrechte Winddruck auf die Fläche für die Flächeneinheit nach Art. 27 (S. 21)

Fig. 337.

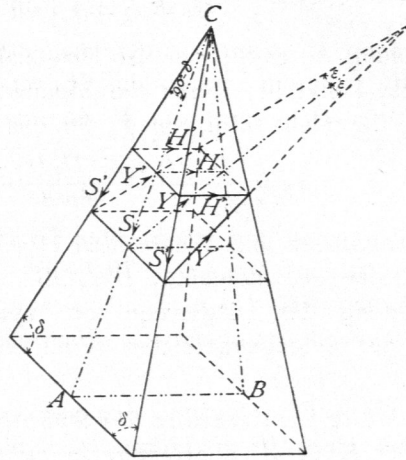


Fig. 338.

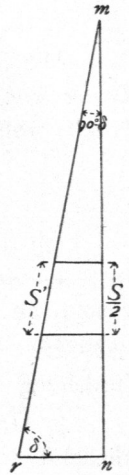


Fig. 339.

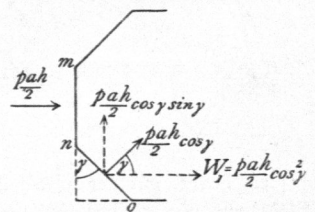
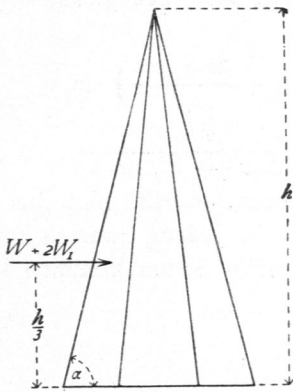


Fig. 340.



oder

$$n = p \sin(90 - \gamma)$$

$$n = p \cos \gamma,$$

und der Winddruck auf die ganze Fläche

$$\frac{p a h}{2} \cos \gamma.$$

Diese Kraft zerlegt sich nun in eine Seitenkraft, welche dieselbe Richtung hat, wie W , und in eine senkrecht hierzu stehende. Die erstere ist (Fig. 339)

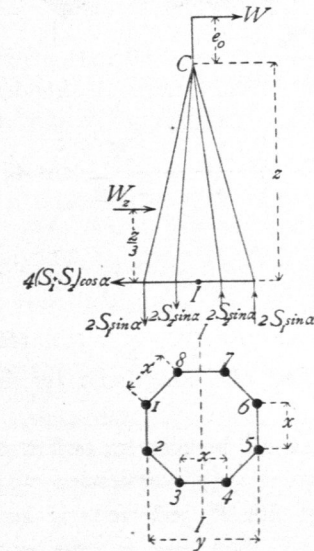
$$W_1 = \frac{p a h \cos^2 \gamma}{2} \dots 359.$$

Ein genau gleicher Winddruck wirkt (Fig. 340) auf die andere Fläche F_1 ; mithin ist der gesammte Winddruck auf die Pyramide

$$\begin{aligned} W + 2 W_1 &= \frac{p a h}{2} (1 + 2 \cos^2 45^\circ) \\ &= \frac{p a h}{2} \left(1 + \frac{2}{2}\right) = p a h \dots 360. \end{aligned}$$

Der Angriffspunkt dieser Kraft liegt in der Höhe $\frac{h}{3}$ über der Grundfläche der Pyramide.

Fig. 341.



Für irgend einen Pyramidenthail (Fig. 341) von der Höhe z erhält man, wenn die Seite des Achteckes, welches für diesen Theil die Grundfläche bildet, mit x und die ganze Breite der Grundfläche mit y bezeichnet wird,

$$W_z = p x z \dots 361.$$

W_z greift in der Höhe $\frac{z}{3}$ über dieser Grundfläche an.

Außer W_z wirke auf das Thurmkreuz (Fig. 341) noch ein Winddruck W in der Höhe e_0 über dem First; alsdann ist das Moment des Windes, bezogen auf die wagrechte, in der Grundfläche des betreffenden Thurmfückes gelegene Schwerpunktsaxe II des Querschnittes

$$M_z = W_z \frac{z}{3} + W(e_0 + z) \dots 362.$$

Dieses Moment muß durch die Spannung der Sparren an der betrachteten Stelle aufgehoben werden.

Sind die Spannungen in den vier Sparren $1, 2, 5, 6$, welche um $\frac{y}{2}$ von der

Axe II abstehen, S_1 , diejenigen in den vier um $\frac{x}{2}$ von der Axe II abstehenden Sparren $3, 4, 7, 8$ gleich S_2 , so ist, wenn mit geringem Fehler der Sparrenwinkel gegen die wagrechte Ebene gleich α gesetzt wird, das Moment der Sparren-

255.
Spannungen
in den
Sparren.

spannungen für die Axe II gleich $2 S_1 y \sin \alpha + 2 S_2 x \sin \alpha$; folglich muß $M_z = (2 S_1 y + 2 S_2 x) \sin \alpha$ sein. Man kann annehmen, daß bei gleicher Querschnittsfläche aller Sparren stattfindet

$$\frac{S_2}{S_1} = \frac{x}{y}, \text{ d. h. } S_2 = \frac{S_1 x}{y}, \text{ also } M_z = \left(2 S_1 y + \frac{2 S_1 x^2}{y} \right) \sin \alpha,$$

$$M_z = \frac{2 S_1}{y} (y^2 + x^2) \sin \alpha, \text{ woraus } S_1 = \frac{M_z y}{2 (x^2 + y^2) \sin \alpha} \dots 363.$$

Für M_z sind der Reihe nach die Werthe einzuführen, welche sich bei den verschiedenen Höhen z ergeben. Diese Spannung kann in jedem Sparren sowohl als Zug, wie als Druck stattfinden, weil der Wind von allen Seiten kommen kann. Man erhält demnach

$$S = \pm \frac{M_z y}{2 (x^2 + y^2) \sin \alpha} \dots \dots \dots 364.$$

256.
Spannungen
in den
Ringern.

Die genaue Berechnung der bei einseitiger Windbelastung in den Ringen und in den Diagonalen entstehenden Spannungen ist sehr schwierig. Wir machen, um eine einfache Rechnung zu erhalten, die Annahme, daß, wenn der Wind die Flächen EF , FO und EL (Fig. 342) belastet, die Punkte L und O als feste Stützpunkte betrachtet werden können. Alsdann wirkt auf EF die Kraft N_1 , auf EL und FO je

$N_1 \cos 45^\circ = \frac{N_1}{\sqrt{2}}$; in E und F wirken alsdann je $\frac{N_1}{2}$ und $\frac{N_1}{2\sqrt{2}}$, wie in Fig. 343

Fig. 342.

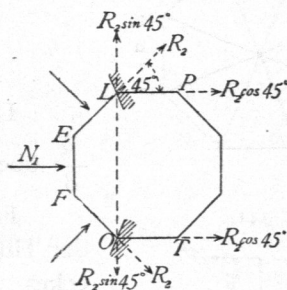
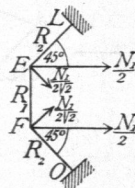


Fig. 343.



gezeichnet. Die Gleichgewichtsbedingungen für Punkt F lauten nun:

$$0 = R_1 + \frac{N_1}{2\sqrt{2}} \sin 45^\circ - R_2 \sin 45^\circ \text{ und } 0 = R_2 \cos 45^\circ + \frac{N_1}{2} + \frac{N_1}{2\sqrt{2}} \cos 45^\circ,$$

woraus

$$R_2 = -1,06 N_1; \dots \dots \dots 365.$$

ferner

$$R_1 = -N_1 \dots \dots \dots 366.$$

Da der Wind von allen Seiten kommen kann, so sind alle Ringtheile für die größere Spannung $R_2 = -1,06 N_1$ zu construiren.

257.
Spannungen
in den
Diagonalen.

Um die in den Dachflächen angebrachten Diagonalen zu berechnen, bestimme man die auf die einzelnen Punkte L , bzw. O (Fig. 342 u. 343) wirkenden wagrechten Kräfte. Auf L und O wirkt je R_2 , und es zerlegt sich R_2 jederseits in eine Seitenkraft $R_2 \cos 45^\circ$, welche in die Linie LP , bzw. OT fällt, und in eine senkrecht dazu gerichtete Seitenkraft $R_2 \sin 45^\circ$, welche in die Richtung LO fällt. Um die beiden letzteren Seitenkräfte aufzuheben, empfiehlt sich die Anbringung der Zugstäbe LO , wie in Fig. 342 punktirt; der in diesen herrschende Zug ist $R_2 \sin 45^\circ$. Die in die Ebene LPC , bzw. OTC fallenden Seitenkräfte sind nun durch das in diesen angeordnete Gitterwerk auf die festen Stützpunkte der Thurmpyramide zu übertragen. Um die Diagonalen zu berechnen, denke man wieder zunächst die beiden Dachflächen durch einen in der Symmetrie-Ebene liegenden, ideellen Binder ersetzt,

ermittle die unter dem Einflusse der Lasten $R_2 \cos 45^\circ$ in demselben entstehenden Diagonalspannungen auf bekannte Weise und aus diesen ideellen Diagonalspannungen die wirklichen Diagonalspannungen genau so, wie in Art. 253 (S. 241) angegeben ist. Als Belastung der einzelnen Knotenpunkte des ideellen Binders ist selbstverständlich überall $2 R_2 \cos 45^\circ$ einzuführen.

3) Standfestigkeit der Thurmdächer.

Durch die Windbelastung werden die Sparren an der Windseite auf Zug, diejenigen an der Unterwindseite auf Druck beansprucht; durch das Eigengewicht erhalten alle Sparren Druck. Wenn der im Sparren mögliche grösste Zug in Folge des Winddruckes grösser ist, als der durch das Eigengewicht erzeugte Druck, so ist Gleichgewicht nur möglich, wenn auf den Sparren Seitens des Auflagers ein Zug ausgeübt wird, welcher wenigstens so gross ist, wie der grösste im Sparren herrschende Zug. Dieser Zug Seitens des Auflagers wird durch Verankerung der Sparren mit dem Thurmmauerwerk erzeugt, und es muss das Gewicht des an den Anker gehängten Mauerwerkes, welches als Zug auf den Sparren wirkt, wenigstens so gross sein, wie der grösstmögliche Zug in demselben. Es empfiehlt sich, die Verankerung weiter hinabzuführen, etwa so weit, dass das Mauergewicht doppelt so gross ist, als der grösste Zug im Sparren.

258.
Verankerung.

Literatur.

Bücher über »Statik der Dachstühle«.

- UNWIN, W. *Wrought-iron bridges and roofs etc.* London 1870.
 CORDIER, E. *Equilibre stable des charpentes en fer, bois et fonte.* Paris 1872.
 RITTER, Dr. A. *Elementare Theorie und Berechnung eiserner Dach- und Brücken-Constructionen.* 3. Aufl. Hannover 1873.
 FABRÉ, V. *Théorie des charpentes, donnant des règles pratiques pour la construction des fermes et autres appareils en bois et en fonte.* Paris 1873.
 CARGILL, Th. *The strains upon bridge girders and roof trusses etc.* London 1873.
 SCHREVE, S. *A treatise on the strength of bridges and roofs etc.* New-York 1873.
 TETMAJER, L. *Die äusseren und inneren Kräfte an statisch bestimmten Brücken- und Dachstuhl-Constructionen.* Zürich 1875.
 NICOUR, Ch. *Calcul d'un comble en fer du système Polonceau.* Paris 1875.
 SCHWEDLER, W. *Die Construction der Kuppeldächer.* 2. Aufl. Berlin 1878.
 TRÉLAT, E. *La rigidité dans les combles.* Paris 1878.
 Deutsche bautechnische Taschenbibliothek. Heft 10: Berechnung der Dachwerke. Von W. Jeep. Leipzig 1876.
 WEYRAUCH, J. J. *Beispiele und Aufgaben zur Berechnung der statisch bestimmten Träger für Brücken und Dächer.* Leipzig 1888.
-